MITSUBISHI DENKI GIHO 三菱電機技報



Vol.57 No.2

照明特集





三菱電機技報 Vol. 57 No. 2 1983

照明特集

目	次
Ħ	ス

特集論文	
高効率 3 波長域発光形蛍光ランプ・・・・・・・・・・・・・・・・・・・・・・・・・・・・・・・・・・・・	1
屋内照明におけるHIDランプの活用・・・・・・・・・・・・・・・・・・・・・・・・・・・・・・・・・・・・	5
最近の住宅照明・・・・・・・・・・・・・・・・・・・・・・・・・・・・・・・・・・・・	9
照明器具反射板のCADシステム····································	13
照明自動制御システム・・・・・・・・・・・・・・・・・・・・・・・・・・・・・・・・・・・・	17
マイクロ波放電光源装置とその応用・・・・・・・・・・・・・・・・・・・・・・・・・・・・・・・・・・・・	23
普通論文	
古 週 編 又 大規模燃料基地の電気設備・・・・・・・・・・・・・・・・・・・・・・・・・・・・・・・・・・・・	29
新日本製鐵(株)八幡製鐵所納め 新熱延設備用電機品 小藪俊昭・小笠原昭宣・三原 誠・志田邦明・川崎宗男・今道周男	34
赤熱鋼板クロップ形状認識装置・・・・・・・・・・・・・・・・・・・・・・・・・・・・・・・・・・・・	40
石炭ヤード自動化システム····································	44
新宿NSビル向けエレベーター監視システム・・・・・・・・・・・・・・・・・・・・・・・・・・・・・・・・・・・・	50
パトカー動態表示システム・・・・・・・・・・・・・・・・・・・・・・・・・・・・・・・・・・・・	53
16KビットCMOSスタティックRAM···· 有田 豊・河野芳雄・浅井外寿・茅野晋平・舟越也寿宏	58
特許と新案 27, 蛍光放電灯	64
高圧水銀ランプ用電極体の製造方法	
蛍光ランプ	
金属ハロゲン化物入り水銀ランプ	
スポットライト	
核融合実験用高性能トカマク開発試験装置	63
CMOSワンチップマイクロコンピュータシリーズ(表	3)

表紙

たまプラーザ東急ショッピングセンター 東急百貨店たまプラーザ店1階売場の照明 東急電鉄田園都市線たまプラーザ駅と歩 道橋で結ばれた東急ショッピングセンター は、東急百貨店たまプラーザ店を中心に、 有名店舗70店と地下大駐車場を備えた地 上5階、地下3階延べ面積約62,000㎡の 大ショッピングビルで、昭和57年10月に オープンした。

表紙写真は東急百貨店1階売場で, 照 明はFLR40SW×6灯埋込み鏡面アルミ 大形ルーバ付き器具を主に,100W電球下 面開放形ダウンライトを併用した全般照 明である。蛍光灯器具は、店舗照明に理 想的な配光が得られるように設計した高 純度アルミ材使用のルーバと本体からな っている。このため、あらゆる方向への まぶ(眩)しさを防ぐとともに,効率よく 水平面照度と鉛直面照度が得られ、商品 や人の顔を明るく照明し、しかも器具が 目立たず落着いた高級感ある優れた店舗 照明になっている。蛍光灯器具は1スパ ン (8.5m×8.5m) に 4 台, 電球器具は 16台配置し、設計照度は450lxである。な お蛍光ランプ及び安定器は、すべて省電 力形を使用し一般形に比べて約15%の省 電力が図られている。



アブストラクト

高効率3波長域発光形蛍光ランプ《ルピカエース》 村上勝男・山崎 均・田中紀彦・明道 成・狩野雅夫

三菱電機技報 Vol.57·No.2·P1~4

新しく製品化した3波長域発光形蛍光ランプ《ルビカエース》の設計内容とその性能について紹介する。青、緑、赤の狭帯域発光希土類蛍光体の開発改良、新しい水性塗布方法によるランプ製造中の蛍光体の劣化防止、官能試験に基づく新光色設定などの検討によって、従来の白色蛍光ランプ比で17%の発光効率の向上と平均演色評価数84が得られた。このランプ1本に対し白色蛍光ランプを約1.7本点灯したとき同じ明るさに感じられることが確認された。

照明自動制御システム

大塚洋俟・石井重行・小泉登夫・水原博久・河野教人

三菱電機技報 Vol.57·No.2·P17~22

照明の省エネルギー化が進むにつれて、照明自動制御システムが事務所、店舗、体育館などを中心に急速に採用されるようになってきた。このシステムはあらかじめ設定したプログラムに従って自動的に照明の制御を行う制御装置、制御装置からの信号によって照明の点滅、及び調光を行う負荷制御盤、端末器及び昼光センサ、点灯装置などの周辺機器の組合せによって構成している。

ここでは、主として中形及び大形のシステムについて述べる。

屋内照明におけるHIDランプの活用

田中民雄·馬場景一·土橋理博

三菱電機技報 Vol.57·No.2·P5~8

HIDランプの性能向上は近年著しいものがあり、特に効率、光色並びに 演色性の改善は屋内照明における活用を急速化させる勢いが見られる。 屋内照明におけるHIDランプの利点は、電球(点光源) と蛍光ランプ(拡 散光源) の特長を併せもつ点にあり、今後の照明の質的改善と省エネル ギー化に大きな期待がもたれている。

ここではHIDランプの性能改善の動向と、それによる屋内照明の事例について紹介する。

マイクロ波放電光源装置とその応用

児玉仁史·吉沢憲治·正田 勲·大貫一志·伴 和生

三菱電機技報 Vol.57·No.2·P23~26

マイクロ波の共振空胴の中で球形の無電極放電ランプを放電,発送させるマイクロ波放電光源装置を開発し、製品化した。

この装置は、始動所要時間、再始動時間が短い、寿命、特に点滅寿命が 長い、寿命中の光出力の低下が少ない、所望の発光スペクトルが得やす いなどの優れた特長を有している。

本稿ではこの光源装置の動作原理,基本構成,ランプ特性などについて述べる。

最近の住宅照明

藤田敏春

三菱電機技報 Vol.57·No.2·P9~12

最近の住宅用照明器具は、人々の住生活、住環境に対する関心の高まりが背景となって、多種多様なタイプが市場に現れている。しかし、住生活、住環境の質的向上に即し、需要者が満足する器具は非常に少ない。

本稿では、最近の住宅照明の傾向と背景を概説し、現在かかえている 問題点と解決策について述べ、それに基づいて開発した当社照明器具《ル ミテリアシリーズ》を紹介する。

大規模燃料基地の電気設備

戸田 忠·戸川隆司·谷口政弘·植田 哲

三菱電機技報 Vol.57·No.2·P29~33

政府のエネルギー政策により、例えば火力発電プラントでは使用燃料が 従来の重油からLNG、石炭、COMなどへと多様化され、また発電プラントの大容量化に伴って発電所の近くに大規模な燃料基地が数多く計画 されてきている。ここでは、上記大規模燃料基地の所内電源回路構成及 び事故時の所内電源切換方式の信頼性設計について、日本海エル・エヌ・ ジー(株)新潟基地を例にとり紹介する。

照明器具反射板のCADシステム

明道 成・狩野雅夫・山ノ下真理・深川雅敏・関 哲明

三菱電機技報 Vol.57·No.2·P13~16

照明器具反射板をCADにより設計することは既に行われているが、いずれも設計者が反射板形状を入力し、照明器具の配光予測により最適化を図る方法がとられている。

このたび開発したCADシステムは反射板形状の自動設計を行う機能をもち、反射板形状設計プログラム(LURD-2)及び配光予測プログラム(LIP-2)から成り立っている。これにより、照明器具の高効率化及び開発期間の大幅な短縮が可能になった。

新日本製鐵(株)八幡製鐵所納め新熱延設備用電機品小薮俊昭・小笠原昭宣・三原 誠・志田邦明・川崎宗男・今道周男三菱電機技報 Vol.57·No.2·P34~39

世界最新鋭の新日本製鐵(株)八幡製鐵所向け新ホットストリップミル用 電機品は、省エネルギー、省保守を指向した電気設備各ハードウェアや 光データウェイ、センサベース方式を採用した大規模分散形制御システ ムなど、設備機器、制御監視システムの多面にわたって、まさしく時代 を画する設備となっている。

本稿では、この新ホットにおける主駆動装置、及び制御監視システム の特長、設計思想、実績などについて概要を紹介する。

Abstracts

Mitsubishi Denki Giho: Vol. 57, No. 2, pp. 17~22 (1983)

An Automatic Lighting-Control System

by Hiroshi Otsuka, Shigeyuki Ishii, Nobuo Koizumi, Hirohisa Mizuhara & Norito Kono

To reduce the energy consummed for illumination, automatic lighting-control systems are rapidly being installed in offices, stores, gymnasiums, and similar locations. In the medium- and large-scale systems described in the article, a master controller automatically sends control signals to a load-control panel and terminal-control device in accordance with a predetermined program. These units, together with a daylight sensor, then provide on/off and dimming control of lighting equipment and other external devices.

Mitsubishi Denki Giho: Vol. 57, No. 2, pp. 1~4 (1983)

LUPICA-ACE: Three-Band Fluorescent Lamps with a Very High Luminous Efficacy

by Katsuo Murakami, Hitoshi Yamazaki, Norihiko Tanaka, Osamu Myodo & Masao Karino

The article reports on the new internal design and performance characteristics of our redesigned three-band LUPICA-ACE fluorescent lamps. Improved blue, green, and red narrow-band rare-earth phosphors are used in a new production process that employs a water-lacquer coating method to prevent phosphor degradation. These advances, together with organic testing of the light-source color and other factors, have enabled the development of a fluorescent tube with a general color-rendering index value of 84 that is 17% more efficient than our existing Cool-White fluorescent lamps. One of the new tubes was found to produce a subjective illumination level approximately 1.7 times that of comparable Cool-White tubes.

Mitsubishi Denki Giho: Vol. 57, No. 2, pp. 23~26 (1983)

A Microwave-Discharge Light-Source Apparatus and Its Application

by Hitoshi Kodama, Kenji Yoshizawa, Isao Shoda, Kazushi Onuki & Kazuo Ban

A microwave-discharge light-source apparatus has been developed and commercialized, in which a round electrodeless discharge lamp produces light by electrical discharge in a microwave-resonance cavity. Along with ease in emission-frequency selection, this apparatus offers the advantages of short warm-up and restriking times and an extended on/off cycle life during which luminosity decreases only slightly. The article describes the construction, basic operating principles, and lamp characteristics of this light source.

Mitsubishi Denki Giho: Vol. 57, No. 2, pp. 5∼8 (1983)

Practical Uses of HID Lamps for Indoor Lighting

by Tamio Tanaka, Keiichi Baba & Michihiro Tsuchihashi

Remarkable improvement in the efficiency, lamp color, and color-rendering properties of HID lamps over the past few years has lead to rapid growth in their use for indoor lighting applications. HID lamps combine the best features of incandescent and fluorescent lamps, and improvements are expected in both their illumination quality and energy efficiency. The article introduces performance improvements in Mitsubishi HID lamps and describes some of the indoor lighting applications that have become possible.

Mitsubishi Denki Giho: Vol. 57, No. 2, pp. 29~33 (1983)

An Electrical System for a Large-Scale LNG Receiving Terminal

by Tadashi Toda, Takashi Togawa, Masahiro Taniguchi & Akira Ueda

In accordance with the Japanese government's energy policies, thermal-power plants have been shifting from heavy fuel-oil to LNG, coal, coal-oil mixtures, and other fuels. In addition, power-plant capacity is being increased, and plans have been made for the construction of many large-scale fuel depots in the vicinity of power plants. The article discusses the optimal configuration of the electrical-supply circuitry and 6.6kV switchgear bus-transfer system for these depots, introducing the electrical system built for the Nihonkai L.N.G. Company's Niigata receiving terminal as an example.

Mitsubishi Denki Giho: Vol. 57, No. 2, pp. 9~12 (1983)

A New Concept of Home Lighting

by Toshiharu Fujita

Rising popular concern about lifestyles and the living environment has found expression in the diversity of types and forms of home lighting fixtures now available. Of these, however, only a few truly satisfy consumers' demands. The article describes recent trends in the home lighting field in the general context, discusses current problems and solutions, and introduces the Lumiterior series of lighting fixtures designed by Mitsubishi Electric on the basis of these considerations.

Mitsubishi Denki Giho: Vol. 57, No. 2, pp. 34~39 (1983)

Electrical Equipment for the New Hot-Strip Mill at Nippon Steel's Yawata Works

by Toshiaki Koyabu, Akinori Ogasawara, Makoto Mihara, Kuniaki Shida, Muneo Kawasaki & Chikao Imamichi

Designed to save energy and reduce maintenance, Nippon Steel's Yawata Works new hot-strip mill employs the world's most advanced electrical equipment. Ranging from all types of electrical hardware and machinery to a large-scale, distributed supervisory-control system incorporating a fiber-optics transmission dataway and sensor database, the new equipment affects all aspects of plant operation, clearly marking the beginning of a new era. The article describes the distinctive features of the main drive equipment and supervisory-control system and includes a discussion of design theory and practical results.

Mitsubishi Denki Giho: Vol. 57, No. 2, pp. 13~16 (1983)

A CAD System for Luminaire Reflectors

by Osamu Myodo, Masao Karino, Makoto Yamanoshita, Masatoshi Fukagawa & Tetsuaki Seki

Mitsubishi CAD-based luminaire reflectors have already been developed, but until now, it was necessary for the designer to suggest an initial reflector configuration after which the luminaire's overall performance could be maximized using luminosity distribution studies. In the newly developed CAD system discussed in the article, the luminaire-reflector design program (LURD-2) and the luminous intensity predicting program (LIP-2) enable reflector design to be performed automatically. As a result, luminaire efficiency can be improved and development times reduced.

アブストラクト

赤熱鋼板クロップ形状認識装置

三宮静悦・白石 彊・植木勝也・高嶋和夫・田中 実

三菱電機技報 Vol.57·No.2·P40~43

製鉄所のホットストリップミルにおいては、クロップロスを最小にするために、クロップシヤーの高性能化とクロップ形状認識装置の採用が必要となる。三菱電機(株)は、クロップの二次元形状認識と低温検出ができ、最近のミル条件に適した新形クロップ形状認識装置を開発したので紹介する。この装置は、リニアアレーカメラの採用と画像処理技術の適用による高性能の実現と、補助光源不要による既設ラインへの設置と保守が容易であるなどの特長を持っている。

パトカー動態表示システム

桜山 享·阿部 悟·林 信喜·永田良茂·田辺一郎

三菱電機技報 Vol.57·No.2·P53~57

警察の通信指令業務の近代化の一環として、このたび経費的にも周波数利用面でも経済的なパトカー動態表示システムを開発した。このシステムは、パトカーの現在の位置と任務の情報を自動的に通信指令センターの計算機に集めて処理し、指令台にパトカーの動態情報として表示する。これにより、パトカーへの指示が迅速正確となり通信指令業務が効率的に運用、管理できる。昭和57年3月千葉県警察本部に導入し順調に稼働中である。

石炭ヤード自動化システム

小沢史郎,真篠幸雄,山口克樹,片桐正夫

三菱電機技報 Vol.57·No.2·P44~49

石油代替エネルギーとして注目されている石炭を受入れ、貯蔵し、出荷する石炭ヤード自動化の現状と最新のシステムについて述べる。最新のシステムは中央にヤード計算機を配し、これを中核として全自動運転を行う。全自動システムを実施する上での問題点などにふれるとともに、全体のシステム構成及び各作業機械の最新の制御方式について紹介する。

16KビットCMOSスタティックRAM

有田 豊・河野芳雄・浅井外寿・茅野晋平・舟越也寿宏

三菱電機技報 Vol.57·No.2·P58~62

 3μ m系の設計基準、アルミの二層配線技術など最新のCMOSプロセス技術を用いて、2,048語×8ピット構成の16,384ピット完全CMOSスタティックRAMの開発を行った。微細化プロセスの採用と回路設計の工夫により、5000円で、大力では500円で、高速の50円で、高速の50円で、高速の50円で、高速の50円で、高速の50円で、

新宿NSビル向けエレベーター監視システム 橋浦良介・岩地康正・安倍 勉・深沢 豊・鈴木 修 三菱電機技報 Vol.57·No.2·P50~52

近年ビルが大形化するにつれ、エレベーター監視システムに対し、監視の信頼性・オペレータの誤操作による2次災害防止、システムの信頼性などが強く要請されるようになった。この要請にこたえるよう開発されたエレベーター監視システムを新宿NSビルに納入した。本稿では要請の背景、エレベーター監視システムの動向、システムの構成、機能、特長などにつきその概要を紹介する。

Abstracts

Mitsubishi Denki Giho: Vol. 57, No. 2, pp. 53~57 (1983)

A Patrol-Car Monitoring System

by Kyo Sakurayama, Satoru Abe, Nobuki Hayashi, Yoshishige Nagata & Ichiro Tanabe

As one link in the modernization of police communications, a patrol-car monitoring system, economical in both cost and frequency-band utilization, has been developed. In this system, patrol car location and assignment information is held in the communications center computer and is displayed at the instruction desk as patrol-car movement information. This enables directions to be given swiftly and accurately, allowing the communications center to be used to its fullest extent. This system has been working smoothly since its installation at the Chiba Prefecture Police Headquarters in March 1982.

Mitsubishi Denki Giho: Vol. 57, No. 2, pp. 40~43 (1983)

A Crop-Profile Gauge for Hot-Strip Mills

by Seietsu Sanmiya, Tsuyoshi Shiraishi, Katsuya Ueki Kazuo Takashima & Minoru Tanaka

To minimize cropping losses in hot-strip steel mills, improved cropshear performance and the use of a profile gauge have become necessary. Designed to meet the requirements of the new generation of hot-strip mills, a new crop-profile gauge developed by Mitsubishi Electric provides two-dimensional crop-profile measurement and low-temperature strip detection. A high level of performance is achieved by using a linear-array camera in conjunction with image processing. This has also eliminated the need for an auxiliary light source, simplifying both maintenance and installation in existing lines.

Mitsubishi Denki Giho: Vol. 57. No. 2, pp. 58~62 (1983)

A 16,384-Bit CMOS Static RAM

by Yutaka Arita, Yoshio Kono, Sotoju Asai, Shimpei Kayano & Yasuhiro Funakoshi

Using the newest two-level aluminum metalization CMOS processes, a 16,384-bit (2,048 word \times 8 bit) full CMOS static RAM based entirely on $3\mu m$ CMOS technology has been developed. Circuit-design improvements and fine-pattern processes have enabled chip size to be reduced to $4.80\times6.49 \mathrm{mm}^2$, while typical values of power dissipation and access time have fallen to 25mA and 100ns. This circuit demonstrates the achievement of a fast, low-power-dissipation, 16K CMOS RAM.

Mitsubishi Denki Giho: Vol. 57, No. 2, pp. 44~49 (1983)

Automation of Coal-Handling Yards

by Shiro Ozawa, Yukio Mashino, Katsuki Yamaguchi & Masao Katagiri

Coal has received much attention as an alternative to oil. The article discusses the current level of receiving, stocking, and delivering automation in coal-handling yards and describes the newest coal-handling system available. This system uses a yard computer placed in the central control room as a nucleus for fully automatic operation. Along with a description of the system configuration, conveyer belts, and hoists, the article also touches on problems arising in the construction of this type of system.

Mitsubishi Denki Giho: Vol. 57, No. 2, pp. 50~52 (1983)

An Elevator-Monitoring System for the Shinjuku NS Building

by Ryosuke Hashiura, Yasumasa Iwachi, Tsutomu Abe, Yutaka Fukazawa & Osamu Suzuki

Following the growth of building sizes in recent years, demand has arisen for elevator-monitoring systems possessing a level of reliability that insures monitoring accuracy and prevents secondary disasters caused by operator errors. An elevator-monitoring system designed to meet this need has been installed in the Shinjuku NS Building. The article discusses how the demand for elevator-monitoring systems developed, describes current design trends, and summarizes the configuration, functions, and features of this newly developed system.

高効率3波長域発光形蛍光ランプ《ルピカエース》

村 上 勝 男*·山 崎 均*·田 中 紀 彦*·明 道 成**·狩 野 雅 夫**

1. まえがき

照明の経済性及び質の観点から,照明用光源に求められる基本的性能として,明るさと演色性がある。このため実用光源,特に蛍光 ラップにおいては,ラップ入力当たりの光出力を増加させる,いわゆる高効率化の技術と演色性の改善技術が盛んに研究され,製品性能の向上が図られてきた。

蛍光ランプの高効率化に関する主要な技術開発として、蛍光体の開発改良があり、それが果たす役割は大きなものがあった。特に、1942年 A. H. Mackeag と P. W. Ranby によって発明された ハ□りん酸 カルシウム 蛍光体は、飛躍的な効率向上をもたらし、その後の効率向上の基礎となった。この蛍光体は、効率が高いこと、その原材料が資源的に豊富なことなどから急速に蛍光ランプ用蛍光体の主体を占めるようになり、現在最も多く使用されている白色や昼光色の蛍光ランプもこれを用いている。しかしながら、この ハ□ りん酸 カルシウム 蛍光体には唯一ともいえる欠点がある。それは、その発光スペクトルにおいて赤色部のエネルギーが不足していることであり、このために演色性が十分ではなく、これを使用した白色や昼光色の蛍光ランプで照明された人の顔色が悪く見えたり、物の色が自然光で照らされた場合と比べて大きく違って見えたりする。

このような欠点を改善するため、赤色に発光する蛍光体を no りん酸 カルシウム 蛍光体と混合し、演色性を改善しようとすることが行われてきた。しかし、赤色の発光は視感効率が低く、赤色蛍光体の添加は必然的に効率の低下を招く。このことから、従来の演色性を改善した蛍光 ランプの効率は、白色蛍光 ランプより 約 10~30 %(当社比)低く、明るさと演色性の両立は困難であるとされていた。

近時,蛍光ランプの分光分布を電子計算機を用いてシミュレートし,効率と演色性を予測する方法で,ある水準の演色性を保ちながら効率を高める手法が研究された。そして Thornton により 450 nm (青),540 nm (緑),610 nm (赤) だけに発光エネルギーを持つランプが高演色性を示すことが明らかにされい,この波長に合致した発光ピーク波長を有する狭帯域発光希土類蛍光体の開発が推進された。その結果、これらの3波長域に発光を集中した3波長域発光形蛍光ランプが発表され(2)(3),白色蛍光ランプと同等の高効率を持ちながら高演色性を両立して得られることが明らかとなった。

当社においても、昭和53年に3波長域発光形蛍光ランプを開発し、白色蛍光ランプと同等の高効率と平均演色評価数86の高演色性を有する蛍光ランプ《ルピか》を製品化した(4)(5)。その後、当社では引き続き3波長域発光形蛍光ランプの高効率化について検討を重ねてきたが、3波長域発光形蛍光ランプ用希土類蛍光体の開発とその製造技術開発、蛍光膜の形成技術開発及び好ましい光色の検討を加えた総合的開発成果として、3波長域発光形蛍光ランプの効率を大幅(17%)に向上させることに成功し、昭和57年9月から《ルピカエース》として製品化したのでことに紹介する。

2. 《ルピカエース》の設計

2.1 光色の検討

好ましい光色を,照明された物体の色や照明環境の評価によって求めた研究がいくつか報告されている(⁶⁾。 ところが,照明器具をインテリアの一部としてとらえるような場所(住宅や店舗など)では,照明器具自身の見え方の好ましさも必要条件と考えられている。一般に,物体色の評価は分光分布によって強く影響され,また同一の光色を得る分光分布は無数に存在するという観点から,分光分布の詳細な設計を行う前に,照明器具が好ましく見える光色について,主観評価実験によってこれを求めることとした。

実験の対象とする光色の範囲を、一般の照明に使用されている光源と一致させることとしたが、色温度 2,800 K の白熱電球から 6,500 K の昼光色蛍光 ランプに至る、光色としては橙色から青白色までの広い範囲のため、試料数が増加し実験が複雑となることが予想された。このため主観評価実験は、およその光色範囲を把握する予備的性格の第 1 実験と、その結果から目的とする好ましい光色を定める第 2 実験の 2 段階の手順によって行った。

第1実験は、3,000 K から 6,500 K の色温度範囲で 5 種類、その色温度それぞれにつき色度図上の黒体あるいは合成昼光軌跡からの変位で 2 種類。計 10 種類の蛍光 ランプを用いて、乳白 アクリル 板の透過光に対し一対比較によって計 45 回の主観評価を行った。この第1 実験の結果、好ましい光色のおよその範囲は、色温度 4,900~5,400 K、黒体(合成昼光)軌跡からの変位 $\pm 0 \sim +0.01~\text{Δuv}$ の光色であった(Δuv は黒体又は合成昼光からのずれの度合を表したもので、 $\Delta uv = \sqrt{\Delta u^2 + \Delta v^2}$)。

実際の照明器具に ランプ を取付けた状態での評価が必要な ことから,第 2 実験は色温度 4,950~5,480 K, 黒体帆跡からの変位が 0~ $+0.011 \, \Delta uv$ の 8 種類の円形 ランプ 30 形 28 W の試作 ランプ を,各 2 本ずつ乳白 アクリルカバー 付 コードペンダント 器具に取付けて実施した。

第2実験の評価項目は7種類であり、一対比較によって照明器具を見た感じで項目ごとに評価し、実験回数は28回であった。なお、照明器具は幅約 $0.9 m \times$ 奥行約 $0.9 m \times$ 高さ約1.8 mの内面がN8つや消塗装された J-スに、1台ずつ吊り下げた状態とした。

図 1. に観察者の評価結果を各項目ごとに示す。図 1. の縦軸評価点は 1人の観察者が 2種類の光色の比較対について評価した時,評価項目に一致するとした光色に評価点 1点を加える方法で,すべての比較対の観察者全員の評価を累計し,その累計点をある光色について全員が他の光色よりも評価項目に一致していると答えた場合の累計点で除した相対値である。

この主観評価実験により好ましい光色は、5,200 K から 5,450 K の黒体軌跡と、5,050 K の等色温度線上においては +0.0075 Δuv,また 5,400 K の等色温度線上においては +0.01 Δuv の点を結ぶ 図 2. の斜線で示す範囲内であって、 明るく、さわやかで、 新鮮に感じる光色であるとの結論が得られた。

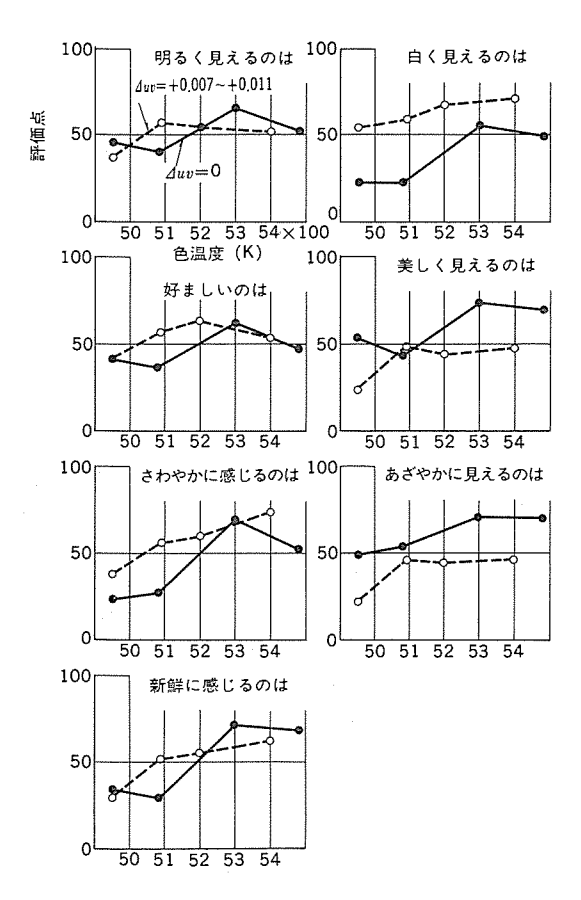


図 1. 第2実験による光色の評価結果

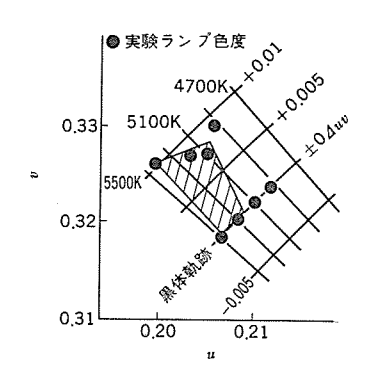


図 2. 好ましい光色の色度範囲

2.2 高効率化の検討

蛍光 ランプは、低圧水銀蒸気放電によって発生する紫外線放射を、ガラス管内壁に形成した蛍光膜(蛍光体の層)によって、可視光線に変換して外部に放射するようにしたものである。したがって、蛍光ランプの効率を向上させるためには、①電力を効率よく紫外線に変換し蛍光膜に到達させること、②蛍光膜で紫外線を効率よく可視光線に変換し外部に出すこと、③発生した可視光線の分光分布を演色性が損なわれることなく視感効率の高い形状とすること、などが考えられる。①については、明るさを保ってランプ消費電力の低下を図る、いわゆる省電力タイプの蛍光ランプの設計として管径の縮小や封入ガスの変更などの形で既に主要機種においては実施されており、今回の開発にあたっては、主として②及び③に関する検討を行った。②及び③の検討に際してその内容は蛍光膜の性能改善に帰着するところとなり、必然的にその検討課題の中心となることは、蛍光体の開発改良及びランプ製造時の蛍光膜の性能劣化防止を目的とする蛍光膜形成方法となった。

2.2.1 蛍光体の開発,改良

3 波長域発光形蛍光 ランプ を高効率化するため、450 nm、540 nm,及び 610 nm の各波長付近に発光 ピーク を有し、 かつ幅の狭い発光スペクトル を持つ青、緑、赤の高輝度希土類蛍光体を開発した。

青色蛍光体としては、 安定した性能が得られる 1-0ピウム 付活 クロロ りん酸 ストロンチウム 蛍光体を基礎とし、蛍光体の母体組成を変更することで発光 スペクトル と紫外線の可視光変換効率の改善を検討した。1-0ピウム 付活 クロロ りん酸 ストロンチウム 蛍光体は、発光 ピーク 波長が 445 nm、発光 スペクトル の半値幅が狭い蛍光体であるため、490 nm 付近の青緑色波長域ではほとんど発光しない。 3 波長域発光形蛍光 ランプの演色性を、平均演色評価数がおよそ80以上の水準とするためには、490 nm 付近の発光がある程度必要とされているが「ハーロピウム 付活 クロロ りん酸 ストロンチウム を青色蛍光体として単独で用いると、高効率化には有効であるが演色性は十分でなく、2.1 節で求めた好ましい光色の色度範囲では平均演色評価数が80を下回るようになり、何らかの対策が必要とされた。

この対策として、既に報告した(5)と同様に、青緑色蛍光体を付加することが考えられたが、使用蛍光体の種類を増やすことは製造上得策ではなく、ユーロピウム付活クロロりん酸ストロンチウム蛍光体の母体結晶中のストロンチウムをパリウムをはじめとする他の元素で置換し、発光スペクトルを変化させることを検討した。その結果、図3.に示すような長波長側の発光が増大した非対称性の強い発光スペクトルを有する蛍光体が得られ、これにより演色性の向上に有効な490 nm付近の発光を付加することが可能となった。

以上の検討とあわせて, 蛍光体の製造法の改良を進めることにより, 紫外線の可視光変換効率が向上した青色蛍光体が最終的に得られた。

緑色蛍光体としては、従来当社が使用していた テルビウム 付活けい酸イットリウム 蛍光体に代え、新たに セリウム、テルビウム 共付活り ん酸 ランタン 蛍光体を使用した。国内において 3 波長域発光形蛍光 ランプが製品化される以前から、 当社では セリウム、テルビウム 共付活り ん酸 ランタン 蛍光体の開発研究を行っていたが⁽⁸⁾、 蛍光 ランプ に適用する上で最適な蛍光体組成及び実用性を考慮した新しい製造法の開発を行うととにより、 上記 テルビウム 付活けい酸 イットリウム 蛍光体を上回る発光効率を、量産 レベル で得るととに成功した。セリウム、テルビウム 共付活り ん酸 ランタン 蛍光体の発光 スペクトル を図 3. に示す。

当社が開発した セリウム、テルビウム 共付活り ん酸 ランタン 蛍光体は、比較的低い セリウム 濃度を採用している特徴がある。セリウム 濃度を高くした方が高輝度となるという報告もあるが⁽⁰⁾、 図 4. に示すように当社が行なった実験によれば、それは 253.7 nm 紫外線励起輝度の場合であって、253.7 nm 紫外線とともに蛍光 ランプの水銀蒸気放

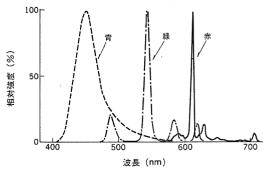


図 3. 蛍光体の発光 スペクトル

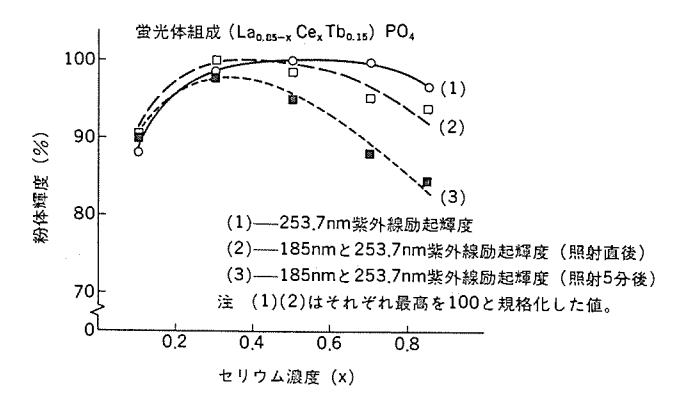


図 4. りん酸 ランタン 蛍光体の セリウム 濃度と輝度の関係

電によって発生する 185 nm の紫外線を照射した場合, セリウム 濃度の高い蛍光体は,より大きな輝度劣化を起こすため,最終的な蛍光ランプ適用時の明るさはセリウム濃度の比較的低い蛍光体の方が高くなる。

また、従来の テルピウム 付活けい酸 イットリウム 蛍光体は、比較的 253.7 nm 紫外線反射率が高く、大きな粒子径とすることで紫外線の吸収を高めていたが、 セリウム、テルピウム 共付活りん酸 ランタン 蛍光体は粒子径を小さくしても十分に紫外線を吸収する性質を有しているので、小さな粒子径の高輝度蛍光体を製造する方法について検討を加え、成果を得た。

赤色蛍光体としては、ユーロピウム 付活酸化 イットリウム 蛍光体を採用し、その製造法に検討を加え、発光効率を改善したものを使用した。 図 3. に ユーロピウム 付活酸化 イットリウム 蛍光体の発光 スペクトル を示す。

2.2.2 蛍光膜形成方法の開発

蛍光 ランプの製造工程において、ガラス 管内壁に塗布された蛍光体は、熱や種々の影響によって性能劣化(輝度劣化)を起こす。当社では以前より、 蛍光体を ガラス 管内壁に塗布する際に使用する蛍光体を含んだ スラリー を調合するための溶剤として、一般的に用いられている有機溶剤ではなく、水を使用していたが、今回はこの方法について更に詳細な検討を加え、 蛍光 ランプ 製造工程中に起こる輝度劣化率を従来の約4%から約2%に改善することに成功した。

3. 《ルピカエース》の特性

以上の検討により得られた新しい3波長域発光形蛍光 ランプ 《ルピカエース》の演色性は、平均演色評価数 (Ra) が84 と優れており、図5. に示すような約450 nm、約540 nm 及び約610 nm の3波長域にピークを有する分光分布を有している。

明るさは,円形 ランプ 30 形 28 W で 1,950 lm の全光束であり,

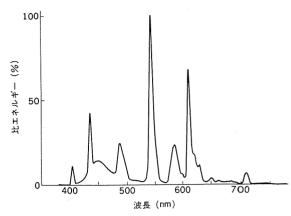


図 5. 《ルピカエース》の分光分布

同形の白色蛍光 ランプの 1,670 lm と 比べて 17 % の向上がなされた (効率も 17 %の向上となる)。表 1. に定格を示す。

4. 《ルピカエース》の主観評価

4.1 実験概要

2 章の ランプ 設計で述べた仕様に基づき製作した蛍光 ランプ (以下,供試 ランプ と称する) の物体色の見え方を把握するため,表 2. に示す供試 ランプ と白色蛍光 ランプ とを比較した主観評価実験を行った。

実験には供試 ランプ 4本を取付けた ブース と,白色蛍光 ランプ の点灯 ランプ 数を $3\sim 9$ 本まで 7 段階に変化させられるようにした ブースを用い,それぞれの内部には 10 種類の評価対象物を置いた。 評価対象物は,主な色相を網ら(羅)するように選定した花や果物(実験中の変化をなくすため,造花と プラスチック 製果物)と, 人の肌色評価用の女性 モデルの ポスター である。

観察者の評価は、白色蛍光 ランプの点灯 ランプ数を変化させるごとに、併置した 2 台の ブース 内の評価対象物を同時に観察し、 各々の見え方について、「明るく見えるのは」、「美しく見えるのは」、「色があざやかなのは」などの評価項目に関し、 該当する ブース 番号を選択させる方法で行った。

表 2. 物体色評価実験に用いた ランプ (円形 ランプ 30 形 28 W) の特性

項	Ħ	供試ランプ	白色蛍光ランプ
ランプ全光束	(lm)	1,946.5	1,686.1
色 温 度	(K)	5,122	4,325
Δuv		0.0065	0.0074
平均演色評	価 数	84	63

表 1. 《ルピカエース》 の定格

和		54		F3rd		Qu.		形名	定格ランプ	全光東	寸	法	ランプ電流	平均爽命
1 ¹ H			NP 45	電 カ (W)	100 時 間 後 (lm)	ランプ長さ (mm)	ランプ 径 (mm¢)	(A)	(h)					
				FCL 20 EX/18	18	1,300	204 (外径)	29.5	0.365	5,000				
		円 形	タ	FCL 30 EX/28	28	1,950	227 (外径)	29.5	0.600	5,000				
PS 形*	ļ ,		NO.	1 /	J /	11 /	1 10	1	FCL 32 EX/30	30	2,390	300 (外径)	29.5	0.425
			タ 形	FCL 40 EX/38	38	3,270	374 (外径)	29.5	0.425	5,000				
	直	管		FL 20 SSEX / 18	18	1,440	580	28	0.350	7,500				

注 *印省電力タイプ

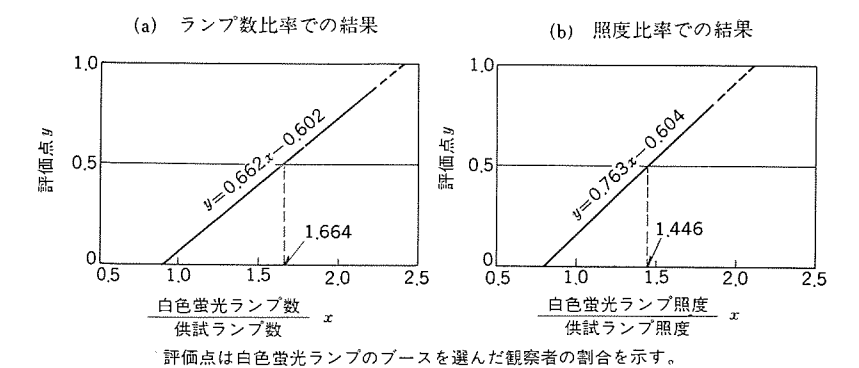


図 6. 明るさに関する主観評価結果

なお、各評価対象物の位置における単位光束当たりの照度は、両 ブースともほぼ同じであり、また白色蛍光 ランプの点灯 ランプ数を変化 させた場合でも、この照度が一定となるよう配慮した。

4.2 解析結果

解析には、白色蛍光 ランプの点灯 ランプ数を変化させるたびに、各評価項目及び各評価対象物との組合せについて白色蛍光 ランプの ブースを選んだ観察者数を累計し、全員が白色蛍光 ランプの ブースを選んだ場合の累計値が 1 となるように基準化した評価点を用いた。

4.2.1 明るさに関する評価

「明るく見えるのは」の評価項目に関して,目的変数yに評価点を,説明変数xに供試 =00 に対する白色蛍光 =00 =00 =00 を求めたとった y=ax+b の回帰分析 =00 式について,a 及び b を求めたところ。

 $y = 0.662 \ x - 0.602$

の式が得られた (図 6.)。

ここで供試 $5 \sim 7$ が白色蛍光 $5 \sim 7$ と同じ明るさに感じるという評価は、観察者の意見が二分される点、 つまり目的変数 y=0.5 となるx の値($5 \sim 7$ 数の比率)をとることにより求められるので、上記回帰式に y=0.5 を代入すると、

x = 1.664

が得られる。よって、観察者は供試 ランプ 1本で白色蛍光 ランプ 1.664 本と同じ明るさに感じられたと結論できる。

y = 0.763 x - 0.604

の式が得られた(図 6.)。上記と同様に y=0.5 を代入すると,

x = 1.446

が得られる。よって、観察者が供試 ランプと白色蛍光 ランプとを同じ明るさに感じたのは、白色蛍光 ランプの照度が供試 ランプの照度の1.446 倍のときであった。

ここで、この照度の比率 1.446 は、ランプから放射される光の量 (測光量)とは関係なく、分光分布、言い換えれば物体色の見え方によって一義的に決定されるものであり、供試 ランプ と白色蛍光 ランプの光の性質の違いを表すものと考えることができる。これに対し ラ ンプ数の比率 1.664 は、ランプから放射される光の量と光の性質の両方が関係しているもので、その内容は、全光束比あるいは効率比に上記の光の性質の違いを表す照度の比率を一種の補正係数として乗じて求められる値、すなわち金谷等の報告した「演色性の効果を補正した実効効率」(100 (11) と同じ概念のものである。ちなみに、表 2. に示すランプの全光束比(効率比も同じ)に照度の比率 1.446 を乗じてみると1.669 が得られ、実験によって直接的に求めたランプ数の比率 1.664 とよく一致する。

4.2.2 その他の評価

「美しく見えるのは」、「色があざやかなのは」などの評価項目に関し、供試 ランプが白色蛍光 ランプよりすべての評価項目で高い評価を受けることが確認された。解析結果全体からみた供試 ランプの印象は、「あざやかで、美しく、健康的に見える」ということであった。

5. む す び

3 波長域発光形蛍光 ランプの出現は, 演色性と明るさを両立させた ランプとして,高演色性蛍光 ランプの普及に大きく貢献しつつある。

今回の《ルピカエース》は、ラップ効率を白色蛍光 ラップ比で17%向上させた高効率で、かつ高演色性の蛍光 ラップであり、また有彩色物体を照明した場合、このラップ1本で白色蛍光 ラップ約1.7本分と同じ明るさに感じられるという効果を有している。実際の照明施設の場合、ほとんど有彩色の物体や人間が存在するので、このラップを白色蛍光 ラップに換えて使用すれば、照度が向上するばかりでなく、それ以上に明るく感じられるようになる。したがって、非常に多くの用途の要求に答えられるものであり、照明の質と量の両面から寄与できることが期待される。

最後に、この蛍光 ラレプの開発、製品化にあたり、 多くの御協力 をいただいた関係者各位に深謝の意を表する次第である。

(昭和 57-11-16 受付)

参考文献

- (1) W. A. Thornton: J. Opt,. Soc. Am., 61, p. 1,155 (1971)
- (2) H. H. Haft and W. A. Thornton: J. I. E. S. Oct p. 29 (1972)
- (3) J. M. P. J. Verstegen et al.: J. Electrochem. Soc. 121,p. 1,627 (1974)
- (4) 村上ほか:昭和54年照明学会全国大会論文集 No. 5
- (5) 村上ほか:光源関連装置研究会資料,LS-79-7(電気学会) (昭54)
- (6) 例えば 延々ほか: 照明学会誌, 63, No. 5, p. 260 (昭 54) J. E. Flynn et al.: J. I. E. S. 6, No. 3, p. 167
- (7) 淵田ほか: 照明学会誌, 63, No. 5, p. 247 (昭 54)
- (8) 特開昭 54-56086
- (9) 中島ほか:第186回蛍光体同学会講演予稿, p. 1 (昭 56)
- (10) 金谷, 吉瀬: National tech. Rep. 23, No. 4, p. 584 (昭 52)
- (11) 金谷ほか:昭和53年照明学会全国大会論文集 No. 53

田中民雄*・馬場景一*・土橋理博**

1. まえがき

昭和50年,東京の渋谷に竣工した超高層ビルには,玄関ホール,廊下並びに地下商店街の通路部分に,600灯を超える大量の蛍光水銀ランプが一挙に採用され非常に注目を浴びた。この蛍光水銀ランプは当時新製品として発売間もない当社の《ニューデラックスソフト》で、従来のものに比べて色温度は3,300 Kと,かなり低く,白熱電球に近い光色をもっている。100 W,200 Wの小形ランプを電球と混光によるダウンライト照明としたもので,快適で格調の高い照明環境をつくり上げている(図1.)。照明の歴史の中で,光源性能の向上がその発展に果たしてきた力は非常に大きいとされているが,この施設例も同様に評価できると思われる。

当時は、特に光色の点でHID ランプ(High Intensity Discharge Lamp)が屋内照明には不適とされ、採用例は極めて限られたものであっただけに、この施設例はその後のHID ランプの屋内利用に先べんをつけたものと考えられる。HID ランプには、高圧水銀ランプ(強光水銀ランプを含む)、メタルハライドランプ及び高圧ナトリウムランプがあるが、それぞれ最近の性能向上は著しく、したがって屋内照明用として使途は拡大されてきており、更に今後の展開に大きな期待がかけられている。HID ランプが屋内照明用として活用する積極的な理由としては、視環境改善と省エネルギー、保守省力化が大きく挙げられる。それは次のように考えることができる。

- (1) ダウンライトは効率面から省 エネルギー上, 電球を HID ランプへの 切換えが非常に有効となること。
- (2) 蛍光 ランプによる照明に比べ、特に高天井(天井高あるいは

照明器具の取付高さが5mを超える場合)においては照明率の向上 が期待できること。

- (3) 点光源として、配光制御が比較的容易で、視環境の適度な輝度分布の設計が可能なこと。
- (4) 1灯当たりの光出力が大きいことから,使用灯数が少なく,かつ長寿命で保守管理上有利なこと。
- (5) 室内の視環境づくりの上で,電球(輝きのある点光源)と蛍光 ランプ (やわらかい拡散光) の特長を併せもつという点で照明計画上自由度が高いこと。

またとりわけ メタルハライドランプは、これからの性能向上の可能性が高いと目されているだけに、利用面の拡大に大きな期待がもたれている。以下に HID ランプの発展動向と、屋内照明の利用例について紹介する。

2. 最近の HID ランプ

HID ランプの省電力化、 高性能化が強力に推進されている。特に、メタルハライドランプ 及び高圧 ナトリウムランプ においては進展が著しく、高効率化、高演色化及び水銀灯互換形化に成功し、 水銀 ランプ との置き換えが進むと同時に、とれらの新しい HID ランプは、適用分野を拡大している。

高効率 メタルハライドランプ《マルチスター》及び《マルチスター L》,高演色高効率 メタルハライドランプ《BOC ランプ》,演色性改善形高圧 ナトリウムランプ《ハイルックス DL》及び《ハイルックス HDL》,省電力形水銀 ランプ《ワットカッター》などの新しい HID ランプを次々に開発し,省電力を追求しながらも多様化する要求に対応できる機種の充実を図っている。

図 2. に、HID ランプの効率と演色性の関係及び ランプの色温度を示す。以下、新しい HID ランプの技術内容、特長などについて述べ

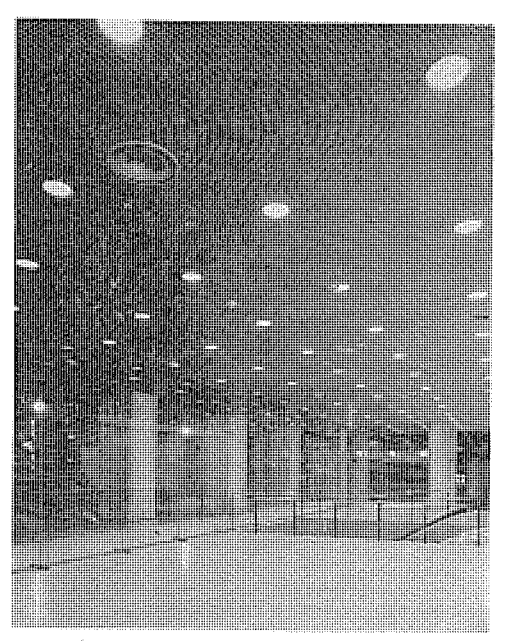


図 1. 東京・東邦生命本社 ビル の照明 (蛍光水銀 ランプ 《ニューデラックス ソフト》 と電球の 混光 ダウンライト 照明)

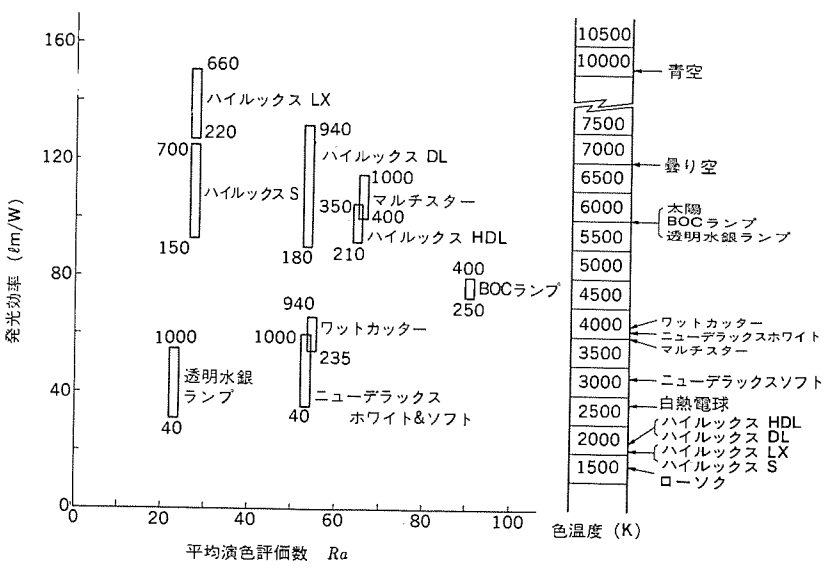


図 2. HID ランプの効率と演色性

る。

2. 1 高効率メタルハライドランプ《マルチスター》及び《マルチスター L》

メタルハライドランプの高効率化を図るために、最も好ましい メタルハライド(金属 ハロゲン 化物)の組合せは スカンジウム (Sc) と ナトリウム (Na) である。《マルチスター》は、Sc と Na の ハロゲン 化物を用いた メタルハライドランプで、メタルハライドの封入組成、 アーク の対流現象を積極的に利用して発光の均一化を可能にする発光管構造(1)(2)、長時間安定動作を可能にする電極、高純度石英製発光管、高純度 メタルハライド などの検討及び発光管内を高純度に保つ製造方法などの確立により、白色蛍光ランプなみの良好な演色性と暖か味のあるやわらかな白色光を示しながら、徒来の メタルハライドランプの約 1.2~1.5 倍(当社比)の高効率と安定した寿命特性を有する。

《マルチスター L》は、発光管内の主電極と隣接する補助電極の間に発生させた補助放電を、外管内に設置したバイメタルスイッチの動作により、主電極間の主放電に移行させるという、当社独自の新しい始動方式(3)(4)の採用により、始動電圧を著しく低下せしめて、安価な水銀灯安定器(一般形)で点灯可能にした水銀灯互換形 メタルハライドランプである。バイメタルスイッチの万一の溶着に対しても、外管内に設置したセーフティ機構が動作し、回路の安全を確保する。従来の水銀ランプの約1.8倍(当社比)の高効率を有し、水銀ランプとそのまま代替可能である。

2. 2 高演色高効率メタルハライドランプ 《BOC ランプ》

BOC (Best Output & Color) ランプは、ジスプロシウム (Dy) と タリウム (Tl) の ハロゲン 化物を 用い、Dy による可視域全体に広がる強力な連続 スペクトル と Tl による 535 nm の輝線 スペクトル の適切な組合せにより、演色性と効率を追求して完成した高演色高効率 メタルハライドランプである。高演色性を有しながら、比較的高い効率を実現するための メタルハライドの封入組成、発光管の構造、メタルハライド蒸気中で安定に動作する特殊構造の電極、などの検討及び高純度発光管製造方法の確立などにより (⑤)、太陽光に近い光色と平均演色評価数 Ra 90 という優れた演色性を有しながら、従来の水銀 ランプの約 1.5 倍(当社比)の高効率を有する。表 1. に《BOC ランプ》の演色性を示す。どの演色評価数も優れているが、特に日本人の膚色に対する演色性は 98 という理想に近い値を示す。

2.3 演色性改善形高圧ナトリウムランプ《ハイルックス DL》及び《ハイルックス HDL》

高圧 ナトリウムランプは、多結晶 アルミナ 製発光管内に Na-Hg アマルガムを封入し、高圧状態での Na の発光を利用した高圧放電 ランプである。 この ランプは HID ランプの中で最も効率が高く、優れた省電力性を示し、かつ外管内に バイメタル 始動器を内蔵しているために、安価な水銀灯安定器(一般形)で点灯可能であるが、従来のものは演色性が低く(Ra 27)、用途が限定されていた。《ハイルックス DL》は、アマルガムの封入組成、封入 Xe ガス の圧力、発光管径、発光管最冷部温度、電極などの検討及び頼信性の高い封着技術の確立などにより(の)の、効率の低下を最小限にとどめ、演色性を大幅に向上(Ra

表 1. 《BOC _{ランプ}》の演色性

Ra	R 9	R 10	R 11	R 12	R 13	R 14	R 15
平均演色評価数	赤	黄	緑	背	外人の膚色	木の葉	日本人の腐色
90	86	76	88	85	93	87	98

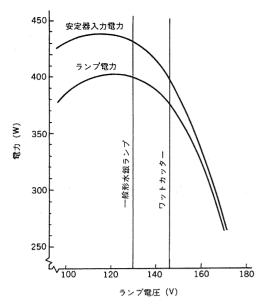


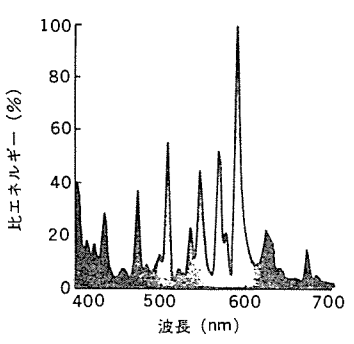
図 3. ランプ 電圧と電力の関係

表 2. HID ランプ の定格

種 類	形名	ランプ 電 力 (W)	ランプ 電 流 (A)	ランプ 電 圧 (V)	全 光 束 (lm)	効 率 (lm/W)
	M 400-U		3.3	130	38,000	95
マルチスター	M 700-U	700	3.1	250	73,500	105
	M 1000-U	1,000	4.5	250	115,000	115
マルチスターL	M 400 • L-J/BU	400	3.3	130	40,000	100
	MLBOC 250 C-U	250	2.45	120	18,200	73
D0.0	MLBOC 250 C-H	250	2.45	120	16,200	65
BOCランプ	MLBOC 400 C-U	400	3.85	120	32,000	80
	MLBOC 400 C-H	400	3.85	120	28,800	72
	NH 180 · LX/DL	180	1.9	120	16,200	90
	NH 220 · LX/DL-210	210	2.1	130	22,500	107
ハイルックス DL	NH 360 • LX/DL-350	350	3,3	130	42,000	120
	NH 660 • LX/DL-640	640	5.9	130	83,500	130
	NH 940 • LX/DL-910	910	8.3	130	120,000	132
ハイルックス	NH 220 • LX/HDL-210	210	2.1	130	19,300	92
HDL	NH 360 • LX/HDL-350	350	3.3	130	36,800	105
	HF 250 X • W-EW/235	235	1.8	146	12,600	54
	HF 300 X • W-EW/280	280	2.1	146	15,800	56
ワットカッター	HF 400 X • W-EW/375	375	2.8	146	22,000	59
	HF 700 X • W-EW/660	660	4.9	146	42,000	64
	HF 1000 X • W-EW/940	940	7.0	146	62,000	66

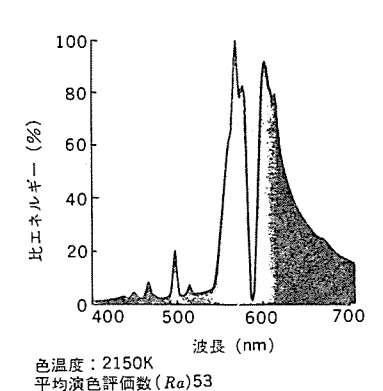
注 (1) 上記定格は標準値を示し、全光束、効率は100時間値を示す。

⁽²⁾ 上記は透明形 (ワットカッターは拡散形) について示したが、このほか拡 散形 (マルチスター、マルチスター L, BOC ランプ, ハイルックス DL, ハイルックス HDL) 及び反射形 (ハイルックス DL, ワットカッター) が ある。



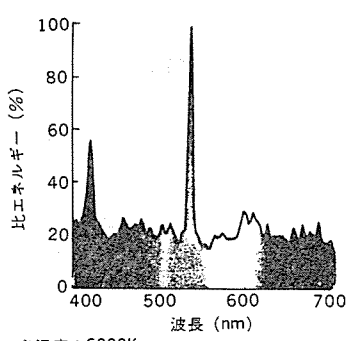
色温度:4000K 平均演色評価数(Ra)65 日本人の肌色(R15)36

(a) 高効率 メタルハライドランプ 《マルチスター》



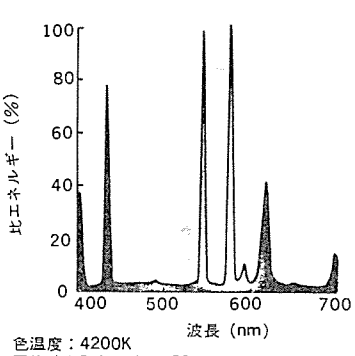
(d) 演色性改善形高圧 ナトリウムランプ 《ハイルックス DL》

日本人の肌色(R15)48



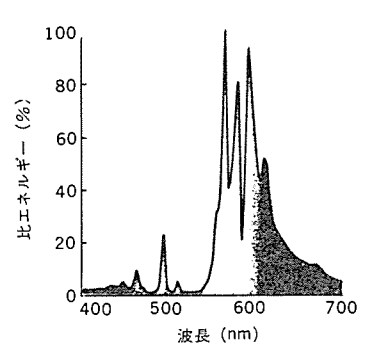
波長 色温度:6000K 平均演色評価数(Ra)90 日本人の肌色(R15)98

(b) 高演色高効率 メタルハライドランプ 《BOC ランプ》



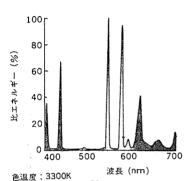
色温度:4200K 平均演色評価数 (Ra)53 日本人の肌色 (R15)45

(e) 省電力形水銀 ランプ 《ワットカッター》



色温度:2050K 平均演色評価数(Ra)27 日本人の肌色(R15)8

(c) 高圧 ナトリウムラップ 《ハイルックス LX》



巴温度 . 3300k 平均演色評価数(*Ra*)53 日本人の肌色(*R*15)55

(f) 白熱色水銀 ランプ 《ニューデラックスソフト》

図 4. HID ランプ の分光 エネルギー 分布

安定した寿命特性を有する演色性改善形高圧 ナトリウムランプ である。 《ハイルックス HDL》は,アマルガム 封入組成,発光管径,封着技術などに更に改良を加え,従来の水銀 ランプ の約1.8 倍の効率を得ながら 演色性を更に高め, Ra 65 という優れた演色性を有する演色性改善

形高圧 ナトリウムランプで、《ハイルックス DL》と同様に、水銀灯用安定

53) した ランプで、従来の水銀 ランプの約2倍(当社比)の高効率と

器(一般形)で点灯することができる。

2.4 省電力形水銀ランプ《ワットカッター》

異なる ランプ電圧を有する水銀 ランプを,一般形安定器(200 V 用)で点灯すると図 3. に示す特性が得られ,ランプ電圧が 120 V 付近を中心に,低くても高くても ランプ電力及び安定器入力電力が低下する。《ワットカッター》はこの原理を利用して,ランプ電圧を従来の 130 V から 146 V に上げて,安定器入力電力を約8%低下せしめ,外管に塗布する蛍光体の組成を改善することにより,ランプ電力の約6%の低下を補償して,全光束は従来と同じ水準に保ち,総合効率を9~13%向上させた省電力形水銀 ランプである (8)(8)。安定した特性を得るために,発光管構造,外管内の封入 ガスの圧力などに工夫が凝らされている。この ランプは従来の水銀灯施設に,そのまま利用して省電力ができるので,一般に広く採用されている。

図 4. に上述の HID ラップ の分光 エネルギー 分布を, 表 2. にそれぞれの ラップ の定格を示す。

3. HID ランプの屋内照明施設例

過去 HID ランプが、どのように屋内照明用として採用されてきたかについて、照明学会誌の年報号(10) (毎年7月号又は8月号)から概

観してみたい。 まず公共建築では、 小規模な採用例は昭和 40 年代 の後半から散見されるが、 急速な普及としては昭和 54 年頃からといえる。 使用 ランプ は主として メタルハライドランプ である。

次に大形店舗では、若干遅れて昭和55年から本格的に採用されてきたと判断できる。一方比較的古くから利用度が高かったのは産業施設と屋内スポーツ施設で、いずれも建屋構造が高天井という条件から、採用度が高いことはうなづける。しかし内容的な変化が見られ、前者は昭和53年頃からの傾向として、それまでの高圧水銀ランプ又は蛍光ランプによる照明から高圧ナトリウムランプへの切換えが急速に進められている。その理由は高圧ナトリウムランプが実用光源中もっとも高効率で、省エネルギー面で有効とされたこと、更には昭和55年に発売された演色性改善形ランプの出現が拍車をかけたものと考えられる。

屋内 スポーツ 施設では蛍光 ランプ と電球あるいは 高圧 ナトリウムランプ と高圧水銀 ランプ の混光照明が採用されてきたが、昭和 54 年を境にして、メタルハライドランプ 使用が主流を占めてきているのが注目される。以上いずれの施設でも、 時代的に ランプ 性能の向上、変せんが大きな影響を与えているように感じられる。次に HID ランプ の特長を生かして、優れた照明をつくり上げている事例を紹介する。

3.1 大形店舗の例

図 5. は東京の新宿の デパートで、都心という立地条件から、より洗練された イメージ をねらいとして照明計画が進められた。 結局、メタルハライドランプ 《BOC ランプ》と 電球の混光照明が採用され、色温度6,000 K の《BOC ランプ》と 2,900 K の電球の混光により、店内は約4,100 K の光で照明されている。 昼間の自然光の下で来店する顧客



図 5. 東京・小田急百貨店別館「ハルク」1階 売場の照明 (250 W 《BOC ランプ》, 200 W 電球の混光照明で, 初期平均照度 650 lx)

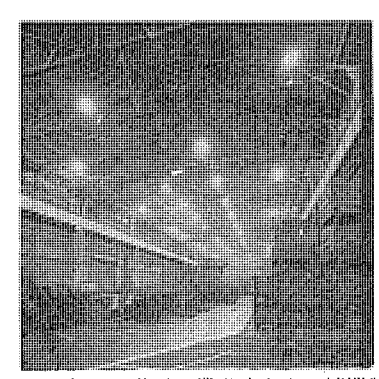


図 6. 愛知・三菱重工業(株)名古屋精機製作所鍛造工場の照明(360 W 演色性改善形高圧 ナトリウムランプ と 400 W高圧水銀 ランプの 混光照明で 初期照度 150~300 lx)

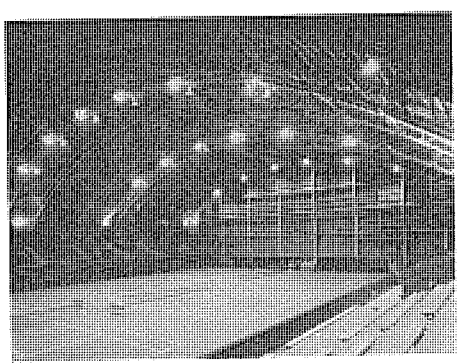


図 7. 福岡・九州国際 テニスクララ 屋内 コート の 照明 (1,000 W 《マルチスターランプ》 により 初期平均照度中央 コートで 1,200 lx)

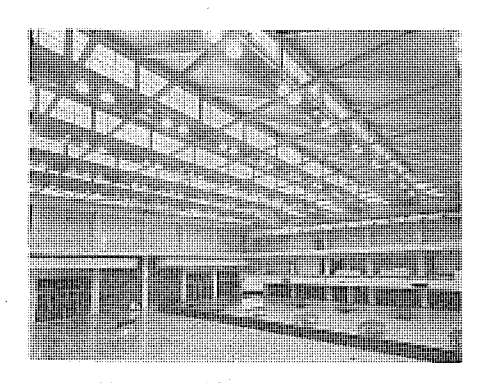


図 8. 神戸市立王子 スポーツセンター の アリーナ 照 明(700 W《BOC ランプ》94 灯, 200 W 雷球 24 灯)

ったという点は高く評価されるものとなっている。

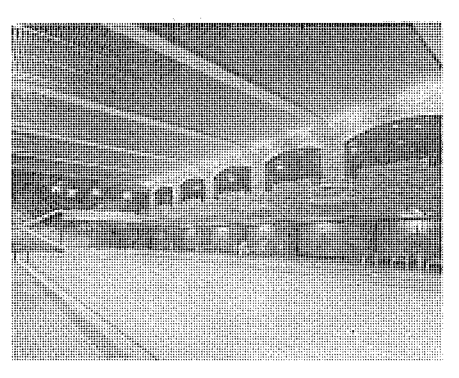


図 9. 神奈川・横浜 アスレチッククラブ「アヴァン ティ」温水 プール (400 W 《BOC ラップ》 により 770 lx)

OC ランプ》が用いられている。さわやかな雰囲気をつくり、プレーヤーの肌色を美しく見せて好評を得ている。また、図 9. は温水プールで《BOCランプ》を用い、グレアの低減と保守の容易化のために、投光器により建屋の両側壁上部から照明している。すっきりとした天井構造となり、側壁下方の電球によるブラケット照明とともに快適な視環境をつくり上げている。

4. む す び

上記のとおり, HID ランプの屋内照明への 利用度は高まりつつあるが,新しい照明技

3.2 産業施設の例

図 6. は鍛造工場で、高圧水銀 ランプから演色性改善形高圧 ナトリウム ランプへ切換えられた施設例である。旧施設の高圧水銀 ランプを半数 残して混光の形としているので、省電力率は特に高いとは言えないが、照度は約40%向上した。 海外の施設例でも高圧 ナトリウムランプへの切換え例が多いが、その照明データの一例によれば、46~75% の省電力率が示され、照度は2~2.7 倍に上昇していることが報告されている(11)。いずれも省電力化と同時に作業環境の改善を図った例である。

に対して, この人工光はほとんど異和感を与えず, 商品も効果的に

照明されている。一方店内全体は暖かい雰囲気を感じさせる努力が

払われ、暖色系の壁面構成とともに照明器具には金色ルーバを付け

て、6,000 K の光源色を感じさせないようにしたもので、その意図は十分に果たされている。暖かい雰囲気の中で、日中の昼光に近い光で商品を照明、点光源の特性による活気のある視環境の演出を図

3.3 スポーツ施設の例

図 7. は屋内 テニスコート で,高効率 メタルハライドランプ《マルチスター》 1,000 W を採用,中央部で 1,200 lx を得ている。特に大きな容量をもつ ランプを利用して,最大限に照明効率を高めた好例である。なお, この Sc-Na 系の ランプは今後の屋内 スポーツ施設用光源としては主流を占めていくものと考えられる。また,図 8. は スポーツセンター の アリーナで,特に高演色性をねらいとして設計されたもので,700 W の 《B

参考文献

- M. Saito, M. Tsuchihashi, K. Watanabe and K. Baba: Preprint of Annual IES Technical Conference No. 80 (1979)
- (2) 馬揚, 斉藤, 渡部, 土橋:電気学会光源・関連装置研究会資料 LS-79-10 (昭 54)
- (3) M. Tsuchihashi, K. Watanabe, M. Saito and R. Suzuki ; ECS Extended Abstract 80-2 (1980)
- (4) 斉藤, 馬場, 渡部, 土橋: 照明学会全国大会 20 (昭 54)
- (5) M. Tsuchihashi, K. Watanabe, K. Baba and M. Saito: E CS Proceedings 78-1 (1978)
- (6) K. Otani, K. Kawahara, K. Watanabe and M. Tsuchihashi : Preprint of Annual IES Technical Conference No. 15 (1981)
- (7) 大谷, 渡部, 土橋: 照明学会誌 65-10 (昭 56)
- (8) M. Tsuchihashi: Presented at TC-21, CIE Kyoto (1979)
- (9) 馬場, 児玉, 村上, 土橋: 照明学会全国大会 No. 14 (昭 55)
- (10) 例えば照明学会誌 66-8 (昭 57)
- (11) BUILDING SERVICES (1979-5)

藤田敏春*

1. まえがき

我が国の住宅事情は年々改善され、量から質の時代へ移行し、人々の関心は住生活、住環境の質的向上へと一層高まっている。そのことは住宅用設備機器、インテリア商品など住生活、住環境と密接な関係のある分野の製品に質的内容の変化をもたらした。照明分野においても、従来と比較にならないほどの早い テンポ で技術、機能、素材などの面で大きな変化があった。しかし、照明と人、照明と環境、人と環境のかかわりという観点から現状の照明市場をみつめると、まだ多くの問題点が残されている。

ことでは最近の住宅照明の傾向と背景を概説し、その問題点と解決策について述べる。そしてその方策に基づいて開発した当社照明器具《ルミテリアシリーズ》を一例として紹介する。

2. 最近の住宅用照明器具

これまで順調に伸びてきた新築住宅着工戸数もこと数年伸び悩み. かわって増改築が活発になってきている。しかし建設される住宅は 毎年大形化の傾向をみせ、工法・外観 デザイン・内外装・設備機器な ど設計仕様面において多様化され、住環境に対する著しい関心の高 まりによって需要者は シビア な選択眼を持つようになった。 豊富な 情報のなかから、自分たちのイメージに合った住環境の創造を目的と して、仕様はもちろん、素材、色、仕上げなど細かなチェックがなさ れだしたことは最近の需要者側の大きな変化の一つである。また、 社会全体に人々の住宅内で過ごす時間が増えたことにより、住生活 自体にも内容変化が現われ多様化が進んだ。これによって住生活に 基づいた空間の役割が見直され、間取りのレイアウト、部屋の広さ配 分など、従来やや画一的であった部分にも変化がでてきた。特に顕 著な変化は、 リビングルーム を中心とする パブリックスペース に現われてい る。この空間は、時には客を含めた家族全員が集まって使用する多 目的空間で、住宅の核としてとらえられるが、新築住宅の統計では 年々そのスペースは拡大される傾向にあり、家具、調度品にも多くの 費用がかけられている。

このような背景のなかで、住生活、住環境の質的向上に大きな役割を持つ照明が見直されてきている。ここ数年の住宅用照明器具市場の変化をみると、まず需要者の多種多様な要求に応じ、他の住宅関連分野の製品と同様に膨大な バリエーションの照明器具が送り出されている。このほか、技術的な面では社会背景を反映した省 エネルギー器具の出現、演色性と発光効率の両方を満足させた 3 波長域蛍光 ラップー 当社では 《ルピカエース》、白さを 追求した昼白色の蛍光 ラップー 当社では 《ルピカエース》、白さを 追求した昼白色の蛍光 ラップ の出現、新しい機能として IC 利用のすぐつく蛍光灯ー 当社の 《ルミクリック》、手で器具を上下させる機構の器具、光量を器具内で コットロール する調光器付器具、壁 スイッチ で光源の切換えや光量変化が出来る器具の出現などが挙げられる。また、製造技術的な面では少量多機種生産を 余儀なくされたことによって、プラスチック射出

成形による大量生産製品が少なくなり、かわって陶器・金属・木・竹・紙・布・ガラス・貝・プラスチック板材など少量生産向きの素材を使用した、いわばクラフト的な製品が増加した。更に、形状的には シップル で軽快な タイプ の製品が増加しつつあるが、様々な伝統、様式に沿った形状のイメージの製品開発も活発である。

以上最近の傾向について述べてきたが、残された大きな問題点として次の2点が挙げられる。一つは住生活の多様化に照明が対応しきれていないことであり、もう一つは住宅自体の多様化に照明が対応しきれていないことである。需要者にとって器具選択の幅が非常に広がったにもかかわらず、購入後の使用満足度が決して高くないという調査結果があり、これは需要者が住空間で行われる多様な生活行為を想定して器具選択を行っていないこともあるが、メーカー側の製品開発が売れ筋志向、単なる形のバリエーション志向に片寄り過ぎたため、照明本来の姿を見失い実生活での満足を与える器具の供給を怠ったことにも起因している。

これらの問題の解決策は、我々が「照明」の原点に戻り、照明の 果たさなければならない役割を明確にし、照明のあり方を追求した 開発を行うことである。

3. 住宅照明のあり方

この項では照明のあり方を求めるため、照明の要件を明確にするとともに、その具体的な内容を述べる。そしてこれに基づいて当社が最近開発した照明器具《ルミテリアシリーズ》を一例として紹介する。

3.1 照明の要件

照明の要件は、表1.のように基本的要件と付帯的要件に分けて考

表 1. 照明の要件

27								
	照明。	D 役 割	手 段	照明対応				
	良い視環境を作 り,生活行為の 快適性を向上さ せる	その時々の行為 に応じた適切な 照明	・生活行為の分析,考察 ・行為想定による照明実験 (詳細は 3.2 節)	・照 度・配 光・光 源・照明手法・取付位置・器具レイアウト				
基本的要件	住空間の環境を 形成する	空間のイメージ アップ空間の演 出	・住宅調査分析, 考察 (詳細は 3.2 節)	 ・照 度 ・光 色 ・器具レイアウト ・取付状態 ・深材・表面処理 ・器具色調 ・器具イメージ ・器具形状 ・器具様式 				
付帯的要件	器具価格,維持 取付性,清掃性	費,器具バリエー	ション,安全性,	製造性,操作性,				

えることができる。照明の果たす役割からみれば付帯的要件に比べ 基本的要件の方がはるかに ウェート が高く、基本的要件抜きにしての 良い照明はあり得ないと考えるべきである。前述の問題点が残され ている原因は、これまで メーカー は付帯的要件に傾注して開発を行っ たことにあるとも言える。

3.2 要件の明確化

ここでは、最も重要な基本的要件を明確化する手段について述べる。 表 1. のように照明の役割は、生活行為、住空間に対するものの二つに大別できる。前者には生活行為の分析など、後者には住宅調査 分析などが必要であり、これらを関連づけながら明確化する。

(1) 生活行為の分析

照明には、視環境を良くして生活行為の快適性を向上させるという 重要な役割があり、この分析は人間が住空間でどのような生活行為 を行っているのか、その行為のためにはどんな照明が適切なのかを 探るために行う。生活行為は歩く、話すなど用途空間(部屋)によ って変わらない共通の行為もあるが、多くは用途空間によって大き く変わり、特定の行為が行われている。 このことから表 2. には住 宅空間を用途別に分類し、それぞれに対応する主な生活行為を挙げ た。表 2. でみるとおり、同一空間内でも様々な生活行為が行われ ており、それぞれの行為に適切な照度、配光など照明条件の設定が 必要である。そして、同一空間内で行われる全く異質の生活行為 にどう対応するかが一つのポイントと言える。例えば、リビングルームで は団らん、憩ら、思索など情緒的な行為と、手芸、読書など機能的 な行為があり、当然それぞれの行為に対する適切な照度、配光など 照明条件は異なるはずである。また同一行為でも居住者の年令, 男 女の別、空間の広さなどによってもこの条件が変わってくることも 考慮する必要がある。現在の住宅照明のあり方をみると、多様化し た生活行為の快適性を向上させるという照明の最も基本的な役割の 充足が欠けており、この生活行為の分析による照明としての対応が

表 2. 住空間の分類と主な生活行為

	空	主 な 生 活 行 為
	プラ	子 供 部 屋, 個 室 手芸, 工作, 勉強, 身支度, 娯楽, 対談, 読書, 趣味, 思索, 音楽, やすむ
生	イスベ	寝 室 (洋 室) 就寝, 更衣, 身支度, 読書, 化粧
活	~ I 1 h	和室(寝室, 老人室) 就寝, 喫茶, 喫煙, 趣味, 娯楽, やすむ, 手芸
lä	ス	書 斎 読書,書籍整理,喫茶,喫煙,学習
空	バブ	リ ビ ン ケ だんらん,憩う,趣味,娯楽,飲食,手芸,対談,読書,思索,音楽,パーティ,喫茶,喫煙,招客,TV
問	スリペッ	和室(茶の間, 客間) 招客,雑談,喫茶,喫煙,憩5
	1クス	ダ イ ニ ン グ 食事,雑談,招客,喫茶、喫煙
Т		キッチン調理, 炊事, 配膳, 運搬、収納
	作	家 事 室 洗濯, アイロン, 裁縫, 家計記帳, 雑務
	葉生理	浴 室 脱衣,入浴,シャワー,洗体
	空間	洗 面 所 洗面,脱衣,化粧
	123	便 所 手洗,用便
補	181	玄 関 接客,靴,コート,かさ,身支度
тін	避絡空	廊下通行
助	間	路 段界降
空	収	押 入 れ 収納, 整理
	納空間	据付家具収納,整理
間	間	物 置 収納,整理,雜務
屋	エ	庭 通行,雜務,趣味,娯楽,飲食,工作,雜談,思索
屋外空間	ク テス リ	ベランダ, バルコニ ものほし, 趣味, 娯楽, 雑談, 飲食, 読書
間	ア	門 ~ 玄 関 通行,趣味

非常に重要である。

(2) 住宅調査

これは住空間の全容を知り、生活行為との関連とともに、どのような照明器具がインテリアの一要素として住空間の環境を高めるのに適切なのかを探るための調査である。このために必要な調査項目として、住宅規模、外観、用途空間別の広さ構成など住宅全体に関する事項と、空間形式、空間の内部色調、空間のイメージ、空間の様式、空間を構成しているインテリア用品など個々の空間に関する事項が挙げられる。それぞれの項目について、一定年月おきに継続的な調査を行い、時系列的な変化を知るとともに、地域別調査により地域特性を知るのも重要なことである。次に、住宅全体に関する事項について、当社が実施した調査結果の一部を紹介する。

表 3. は住宅の平均規模, 外観に関する事項を, 図 1. は用途空間別の広さ構成を示したものである。 これらから住宅の全体像が把握でき, 大局的な見方で照明をとらえることが可能になる。

3. 3 開発具体例

照明のあり方から照明の要件を明確にするための手段を述べてきたが、これに基づいて当社が最近開発した《ルミテリアシリーズ》を主な調査内容を示しながら、仕様とデザインの生まれた背景を紹介する。

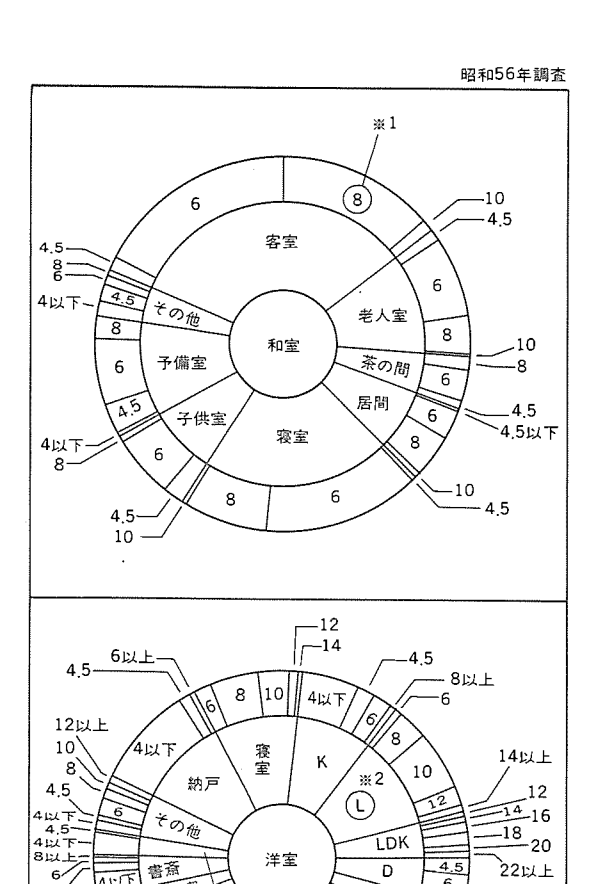
《ルミテリアシリーズ》は、パブリックスペースとして、また住生活の中心的な空間として存在するL(リビングルーム)、D(ダイニングルーム)、K(+ッチンルーム)を対象に開発したものであり、「需要者の住生活、住環境の質的向上に貢献する」ととを目的として開発した。

表 4. は生活行為に適切な照明を探るために行った分析で、 表中の主な行為に対する照明のポイントは、実際のL, D, K空間に種々のタイプの照明を幾通りか組合わせて設置し、 設定した行為を行いながら照明の効果を実体験してまとめたものである。《ルミテリアシリーズ》では、多様な生活行為に対応するため シーリング (蛍光灯) で空間の全般的な照度を確保し、ペンダント (白熱灯) と スタンド (白熱灯) で部分的な照度を確保することにした。同じ位置でも同じ行為ばかり

表 3. 住宅の平均規模,外観

昭和 56 年調査

	項			目		結 果 內 容
	平	均 20	£ 床	面	積	134 m²
本	平	均	I	非	費	40.8万円/3.3 m ² あたり
均	並	均加	主	年	齡	37.4 歲
規	同		居		率	32.7 %
模	येद	均 第	き 族	人	数	4.1 人
	様	和			風	52.0 %
	145	洋			風	45.0
	式	折			衷	3.0
	***************************************	y		シ	ν	79.7 %
	外	モ	ル	夕	ル	3.3
外	墾	L	2	<	И	1.3
		そ		の	他	15.7
		力	ラ	剱	板	12.7 %
	屋	ъ ż	, — =	п =	アル	42.0
	根	В		本	E	33.7
		そ		の	他	11.7
観		木	造	平	屋	5.7 %
	檘	木	造	2	階	83.3
	造	鉄			骨	6.3
		鉄角	あコン	クリ	– Ъ	4.7
	₹ F	開	き	ドア	• •••	65.8 %
	玄関ア	31	ŧ	遊 v	戶	34.3



注 ※1 数字は畳(洋室は畳相当)を示す。 ※2 Lはリビングルーム、Dはダイニングルーム Kはキッチンルームを示す。

応接塞

8

家事室

子供室

4.5 2以上 10

14以上

図 1. 住宅の用途空間別広さ構成

行われていないことから、特に スタンドには光源の移動ができる機能 とともに無段階に調光できる機能をもたせることにした。

DK

4.5

8 -10 -12

-14 16

18以上 6以下

-12以上 - 4以下

表 5. はL, D, Kの関連を明確にするために行った調査であり、空間形式はL+DKが最も多い。また今までの推移を調べるとL, D, Kそれぞれが分離し、独立する傾向にある。 表 6. は空間の広さを知るために行った調査である。それぞれの空間に広さのばらつきはあるが、ほとんどはある範囲の広さに集中している。 表 7. は室内環境を 1×10^{-5} でけするためその大きな要素となっている空間内部の色調と 1×10^{-5} 可用品について行った調査である。

てれらのことから《ルミテリアシリーズ》では、LとDと K だけの組合せによる空間を対象とし、広さをL は 8~12 畳大、LD は 12~16 畳大、LDK は 16~18 畳大、Dは 4.5~6 畳大、DK は 8~10 畳大、K は 3~6 畳大と設定した。広さの異なる空間への対応としては、器具の大きさと明るさの違う タイプ (蛍光灯 シーリングで150 W, 120 W, 70 W の 3 種)を用意し、器具 レイアウトで対応することとした。また、現状の空間 イメージに幅広く対応するねらいでモダーン、クリアー、エレガント、ナチュラルを器具 イメージ として設定した。これらのイメ

表 4. L. D. K における生活行為と照明のポイント

	生 活 行 為	L空間の主な行為に対する照明のポイント (例)
L D	TV を見る お茶、お酒を飲む 雑談をする 本、新聞を読む 接 客	TVを見る ・落着いた雰囲気にする ・やや照度を低くし、周囲とのコントラストを少なくする ・テレビに反射、グレアがないこと ・目にグレアを感じない、視野内 60° 以内に光源が見えないこと ・画面とテレビの周囲のコントラストが強くないこと ・光源は蛍光灯の方が見やすい ・静かで均一的な光、まぶしくない光 シ茶、お酒を飲む ・中心になる光が必要(集中するための光)・人の顔を明るくし、演出世の良い光 ・蛍光灯の場合は全体が明るくなる方が快適・白熱灯の場合は光のコントラストがあると快適・複数個の器具による組合せは光色が同一の方が好ましい ・天井方向へと下方向への配光を持ち、応接セット全体が明るくなる光 ・一人でお酒を飲む時はほのぼのとした光 ・標端なグレアがないこと ・光のアクセントがほしい
K	料理をつくる (洗う, 切る, 焼く) 書き物をする ラジオを聞く 後片付けをする	・勝気で楽しい場合の明るさ→220~250 lx ・落着いてゆったりした場合→170 lx 前度 ・直接目に光源が入らないこと ・他はお茶、お酒を飲む場合とほだ同じ 本、新聞を読む ・明るい光(目によい光)→300 lx 以上 ・中心となる光か、白熱灯の場合は手元を明るくする補助光が必要 ・グレアがないこと

表 5. L, D, K の空間形式

昭和 56 年調査

空 間 形 式	構 成 比			
LDK	21.9%			
LD+K	15.4			
茶の間+K	5.2			
L+DK	32.5			
和室+DK	10.2			
寝室+DK	0.2			
応接室+DK	0.2			
L+D+K	10.9			
和室+D+K	2.8			
L+茶の間+K	0.2			
子供室+K	0.5			

表 6. L, D, K の 広 さ

昭和 56 年調査 (単位:%)

面積 (畳数)	4.5 未 満	4.5	6	8	10	12	14	16	18	20	21 以上
L		0.4	2.9	23.9	48.7	17.3	4.3	1.4	0.4	0.7	
LD				1.0	14.7	16.8	21.1	25.3	12.6	4.2	4.2
LDK					0.7	6.7	10.4	24.4	26.7	19.3	11.9
D	2.4	30.1	55.4	9.6	2.4						
DK	0.4	0.8	13.2	30.6	40.4	10.9	2.6	0.8	0.4		
K	51.9	22.0	22.4	2.8	0.9						

	内部色調(代妻色アンダーライン)	主なインテリテ用品	空間イメージ	
L	天井—— <u>白</u> ,ベージュ,木目,遐茶 壁 —— <u>白</u> ,ベージュ,木目,遐茶 床 —— <u>退茶</u> , <u>木目</u> , <u>グレー</u> ,ベージュ	応接セット, リビングボード, サイドボード, 飾り樹, ジュウタン, カーペット, カーテン, アコーデオンカーテン, ルームアクセサリー, 絵画, 植物, 時計, 照 明器具, ピアノ, クーラー, ヒーター, TV, ステレオセット, ラジオ	空間イメージとして多かった順 1. モダーン 2. クリアー 3. ナチュラル	
D	天井—— <u>白</u> 、ベージュ,木目, 蒋茶 壁 ——白, ベージュ, 海茶, クリーム 床 —— <u>歳茶</u> , <u>木目</u> , <u>グレー</u> , <u>ベージュ</u>	食卓セット, サイドボード, 飾り棚, 照明器具, ワゴン, ルームアクセサリー, 時計, 絵画, 植物, ジュータン, カーペット, カーテン, アコーデオンカーテン, クーラー, ヒーター, TV, ラジオ, ハッチ	4. エレガント 5. ダンディー 6. ゴージャス 7. ロマンチック	
К	天井―― <u>白</u> ,ベージュ,緑 壁 ―― <u>白</u> ,多色柄,薄茶 床 ―― <u>狼茶,木目,黄土,ベージュ</u>	キッチンセット,レンジフード,水切傷,冷歳耶,潤理器具,電子レンジ,オー ブン,照明器具ワゴン,食器橱,羁蛛料柄,配ぜん棚	8. カジュアル 9. ダイナミック	

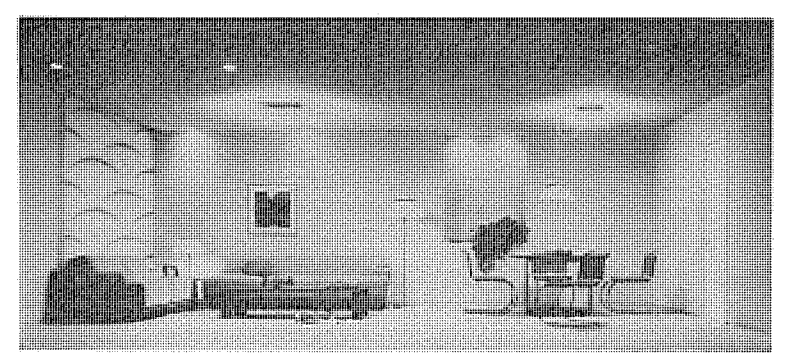


図 2. 《ルミテリア・モダーンシリーズ》 LD 空間で団らんを想定した場面

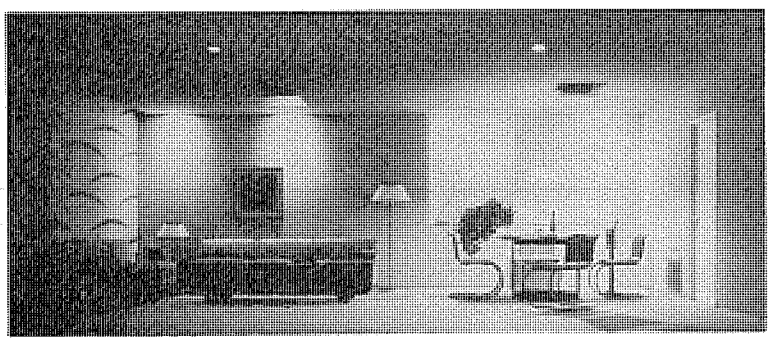


図 3. 《ルミテリア・モダーンシリーズ》 LD 空間で食事を想定した場面

ージを表現するとともに、空間内部の多様なインテリアに調和する手段として、メイン素材となる透光部には乳白ァクリル樹脂を主として使用し、あとは他の素材、パターンの組合せによって器具イメージをつく(創)りだすこととした。

図 2., 図 3. は以上に示した分析に基づいて開発した 《ルミテリア・モダーンシリーズ》の実施例写真である。 との シリーズ では他に、 都会的ですがすがしい イメージをもつ 《ルミテリア・クリアーシリーズ》, 優雅で しゃれた イメージをもつ 《ルミテリア・エレガントシリーズ》, プレーン でなじみやすい イメージをもつ 《ルミテリア・ナチュラルシリーズ》を同時に開発した。

4. t: す び

現状の住宅用照明器具をみつめ、その問題点と照明のあり方に基づいた対応策についてこれまで述べてきたが、住宅に関連するあらゆる面での多様化が進むなかで、照明が快適な生活を営むための重要な要素であることを再認識し、使用満足度の高い住宅用照明を創り出す必要を感じる。

今後も照明のあり方に基づいて、住生活、住環境の質的向上に貢献し得る照明を開発していきたいと考える。

照明器具反射板のCADシステム

明 道 成*・狩野雅夫*・山ノ下真理*・深川雅敏**・関 哲明**

1. まえがき

照明器具反射板の CAD システム については,既に多く発表されているが (1) (2) (3) (4),いずれも照明器具の配光予測に関するものである。その場合,照明器具の反射板形状は二次曲線,二次曲面などを主体として,人手により設計されるのが通例であった。しかし,このような設計方法では,照明器具で実現すべき配光(以下,所要配光と呼ぶ)が高効率となるように,当初与えた反射板形状の修正,及びそれに続く配光予測計算を,満足できる結果が得られるまで繰返す必要があった。このため,設計に多大な時間を要するとともに,設計過程においてランプの寸法・輝度分布を考慮して反射板形状の修正を行うためには,多くの経験を必要としていた。

我々は既に、蛍光灯器具のような直線状光源照明器具の反射板形状を自動的に設計し、配光予測計算及び反射板形状の修正により、反射板の最適化を進める CAD システム について報告している (5) (6) 。 しかし、この CAD システムを HID ランプを使用した投光器や屋内用反射笠のような回転体形状の反射板設計にそのまま適用することは、次に示す理由から困難であり、HID ランプ用照明器具反射板の CAD システム の開発が必要となってきた。

- (1) 光源の形状が大きく、 複雑であり、 ランプ 輝度分布も考慮する必要がある。
- (2) 反射板が回転体形状であり、直線状光源用反射板の形状設計 及び配光予測理論をそのまま使用できない。
- (3) HID ランプ用照明器具では、グレア防止などの理由により、ランプが反射板開口部より比較的奥の方に置かれる場合が多く、反射板設計上の寸法的制約が大きい。

本稿では、 新しく開発した回転体形状の HID ランプ 用照明器具鏡面反射板の CAD システム について、 その内容及び設計例について述べる。

2. CAD システムの概要

図 1. にこのたび開発した CAD システム による反射板設計手順 の 概略を,従来の方法による設計手順と比較して示す。この CAD システム は反射板形状自動設計 プログラム (LURD-2),及び配光予測 プログラム (LURD-2) の二つの プログラム から成り立っている。

反射板設計においては、一般に次に示す事項(要求仕様)があらかじめ明らかにされている必要があり、この CAD システム でも必要な情報である。

(1) 対象 ラップ

HID ラップは図 2. に示すように数多くの種類があり、 それぞれ ラップの定格消費電力・寸法・形状・光色・演色性・輝度分布などが異なるが、対象 ラップはこの中から使用目的、 所要配光、反射板寸法などを考慮して選定する。 更に、LURD-2 による反射板形状設計のために、対象 ラップの中から設計用 ラップを特定する必要がある。

(2) 所要配光

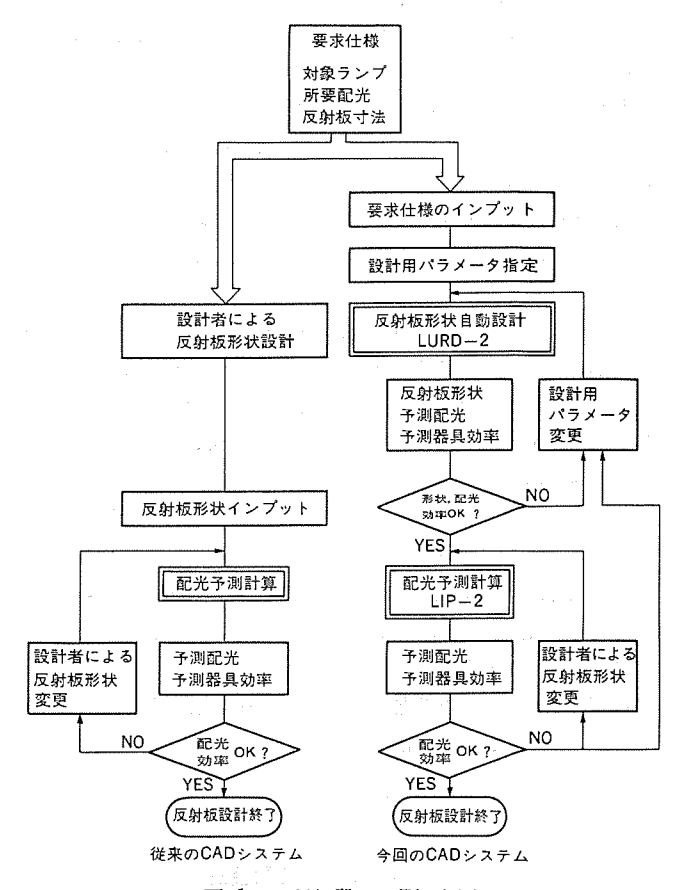


図 1. 反射板設計手順の概略

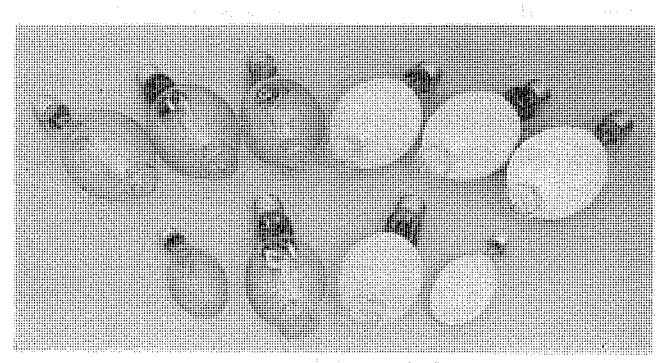


図 2. HID ランプの例

照明器具の使用目的や配光を規定した規格類(屋内用反射 笠 で は JIS C 8111⁽⁷⁾)を考慮して決定する。

(3) 反射板寸法

対象 ラップや寸法を規定した規格類 (屋内用反射笠では JIS C 8111), 及び意匠面を考慮して,反射板開口部直径,高さを決定する。

従来の反射板設計では、これらの要求仕様から設計者が経験により、放物面、だ円面などの二次曲面を主にして、所要配光を実現すると思われる反射板形状を設計していた。 このたびの CAD システムでは、この段階を電算機による自動設計により行う。このとき、反

反射板形状設計後,設計された反射板形状,予測配光及び予測器 具効率が出力される。器具効率は照明器具から発する光束の ランプ 光束に対する比を示し,値が大きければ大きいほど, ランプからの 光が有効に器具外に発することを意味するが,その配光形状も併せ て評価する必要がある。

しかし、この段階での主な計算処理は反射板形状設計であり、使用した設計用 ランプの形状、輝度分布は簡略化されたものであるため、出力された配光、器具効率の精度には問題がある。したがって、設計反射板による配光、器具効率の精密な予測及び設計用 ランプ以外の ランプでの配光予測は、配光予測 プログラム (LIP-2) により行われる。

LIP-2による配光予測計算は、LURD-2により設計した反射板の中から、配光、器具効率及び反射板の生産性まで考慮した反射板形状において、満足できるものについて行う。この段階での主な計算処理は、配光、器具効率の精密な予測であり、照明器具の光学特性の検証を行う。

配光予測は基本的には三次元的な光路追跡により、対象 ランプの形状、輝度分布、透過率分布を考慮して行う。ランプ輝度分布、透過率分布は、それによりランプの空間的な発光特性を表すとともに、ランプ形状も認識できるようになっているため、回転体形状のランプであればどのような形状も適用可能である。なお、反射板による反射は正反射成分のみを考慮している。設計者は配光予測プログラム(LIP-2)による予測配光、予測器具効率を検討し、反射板形状の修正を行ったり、あるいは設計用パラメータの変更を行ったりして反射板の最適化を図る。

3. 反射板形状自動設計

図 3. を使用して反射板形状自動設計の基本的な考え方を説明する。 反射板はその回転軸を含む平面における断面形状が直線である小反射面(以下,反射要素と呼ぶ)が連続した形で構成され,1個の反射要素は円すい台形状をしている。 反射要素は設計者により指定した反射板の開口端から,奥の方に向って逐次形成する。 ランプは円

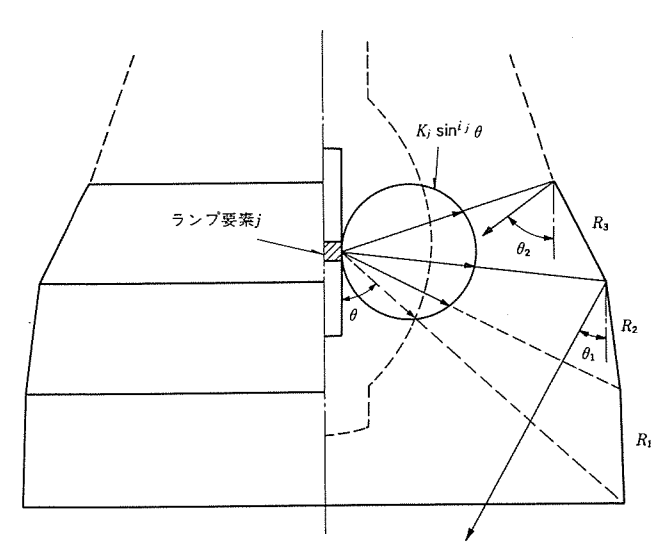


図 3. LURD-2における反射板形状設計

柱形であり、ランプ要素と呼ばれる小発光体がランプ軸(反射板の回転軸)に沿って構成していると考え、ランプ要素は図のように K_j $\sin^{i}\theta$ の配光をもつとして取扱う。ランプ要素j から発する光は直接器具外に出る部分と、各反射要素 (R_1, R_2, R_3) に入射する部分に分けられる。反射要素 R_3 に入射した光は図のように鉛直角 $\theta_1 \sim \theta_2$ の範囲の方向に反射する。ここで,反射要素 R_3 の傾きを変化させた場合,反射要素 R_3 に入射する光束は変化し,反射光の方向 $\theta_1 \sim \theta_2$ も変化する。場合によっては全反射光がランプに再入射したり,既に設計した反射要素 R_1 に再入射することもある。反射要素 R_3 による配光はすべての ランプ 要素について積分したものとなる。

反射要素 R_8 は,反射要素 R_3 による配光, ランプから直接器具外 に発する配光及び反射要素 R_1 , R_2 による配光の和が所要配光に近く,かつ器具効率が高くなるように,設計用 パラメータ に基づいて決定する。

4. 配 光 予 測

配光予測 プログラム (LIP-2) では三次元的な光路追跡を行っているため、ランプ、反射板も三次元的に取扱う必要がある。反射板は回転体であり、反射面の反射率を一様と仮定すれば容易に取扱うことができる。しかし、ランプは球形で完全拡散、輝度一様といったものは存在せず、図 2. に示すように形状は複雑で、輝度分布も考慮する必要がある。LIP-2 でのランプの取扱いはこうした必要に応じてなされたものである。

図 4. (a)において、ランプを①~④の方向から観測したとき、それぞれの視線に垂直な面 $A_1B_1 \sim A_4B_4$ に射影した ランプ形状は、図 4. (b)に示すようになる。ここで、これらの面 $A_1B_1 \sim A_4B_4$ (以下、格子面と呼ぶ)を図のように格子分割し、各格子からその格子面に垂直な方向(視線と逆方向)のみに光を発すると考える。いま、これら格子の 輝度を測定すると、ランプ形状に対応した輝度分布が格子面上に得られ、各鉛直角方向の格子面での輝度測定条件を同一にとると、格子面での平均輝度は ランプ配光に比例する値となる。 し

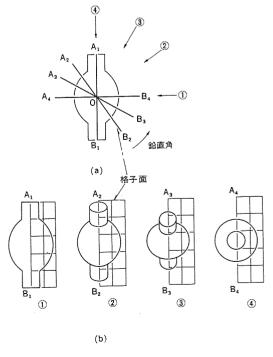


図 4. LIP-2 における ランプの取扱い

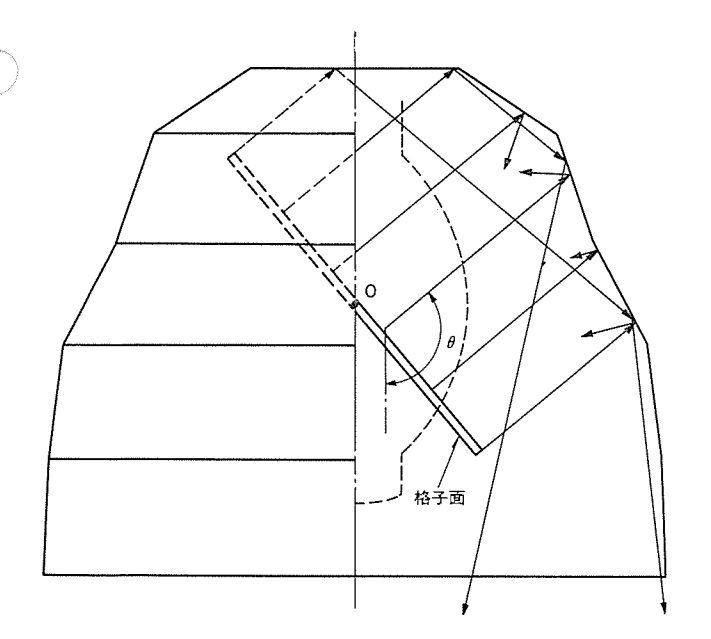


図 5. LIP-2における光路追跡

たがって、各格子からその輝度値に比例した光束が、格子面の法線方向のみに発せられる、と考えることができる。更に、格子での透過率も測定することにより、 ランプに再入射した光路の 光束滅衰も 求めることができる。ランプは図 4. (a) の ランプ光中心Oを通る、紙面に垂直な軸のまわりに格子面を回転した形になる。

図 5. は 5υ プから鉛直角 θ 方向に発せられた光路追跡例を示す。 図は単純化するため断面形状で示し、 光路 8υ プ 軸を含む平面に含まれるものだけを示しているが、実際には格子面は紙面に垂直な方向に伸び、光路追跡も格子面全体から発せられる光路すべてについて行う。

5. 設 計 例

本稿の CAD システム により設計し、試作した反射板について述べる。 5.1 屋内用 HID ランプ反射等

5. 1. 1 要求仕様

(1) 対象 ランプ

400 W タイプの HID ラップ とし、 反射板形状設計用 ラップ は透明形高 圧 ナトリウムラップ (NH 360・LX/DL) を使用する。

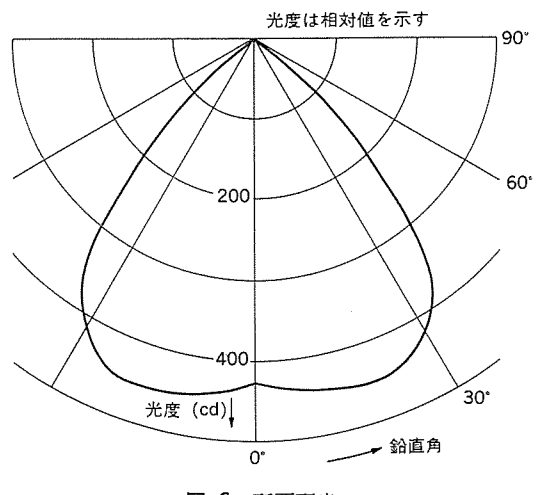


図 6. 所要配光

(2) 所要配光

図 6. に示す配光であり、JIS C 8111 4形(広照形) に準拠している。

(3) 反射板寸法

開口部直径 358 mm, 高さ 299 mm(いずれも内側寸法)とし, 対 象 ランプから ランプ光中心位置は開口部より 132 mm の位置となる。

5. 1. 2 設計結果

図 7. に設計反射板の断面形状を示し、試作した反射板を図 8. に示す。反射板形状設計 プログラム(LURD-2)では、図 7. の点 S から点 E までの反射要素を設計し、その他の反射要素は ランプ取付けなどを考慮し、配光予測プログラム(LIP-2)実行時に追加したものである。この反射板にアルミ素着を施し、拡散形高圧ナトリウムランプ(NH 360 F・LX/DL)を取付けたときの実測配光、及び LIP-2 による予測配光を図 9. に示す。 図より予測配光及び予測器具効率は実測値に、きわめて良好に近似しており、精度の高い配光予測が行われたことがわかる。

図 10. は透明形高圧 ナトリウムランプ (NH 360・LX/DL), 及び蛍

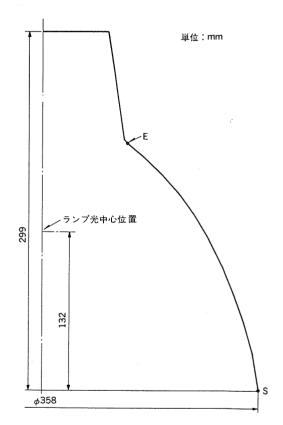


図 7. 屋内用 HID ランプ 反射笠断面形状

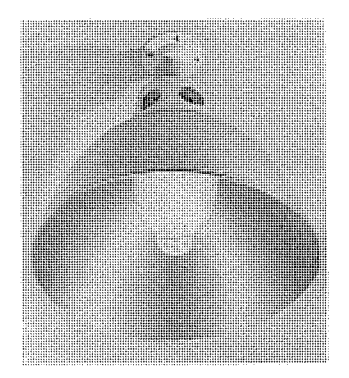


図 8. 試作屋内用 HID ランプ 反射笠

----: 実測配光 器具効率80% ----: 予測配光 器具効率79%

光度はランプ光束1000ℓm当たりの値を示す

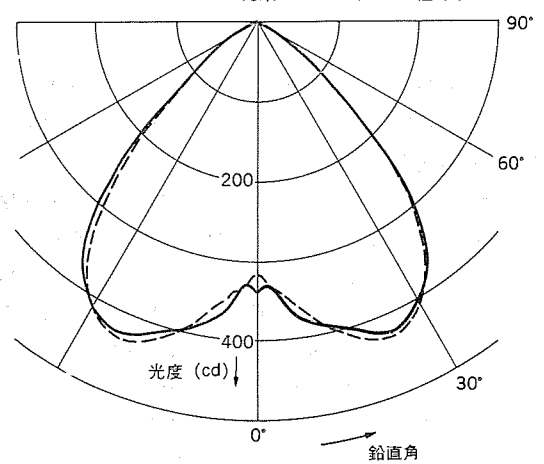


図 9. NH 360 F・LX/DL での予測配光・実測配光

: NH360-LX/DLによる実測配光 器具効率77%: HF400X・Wによる実測配光 器具効率72%

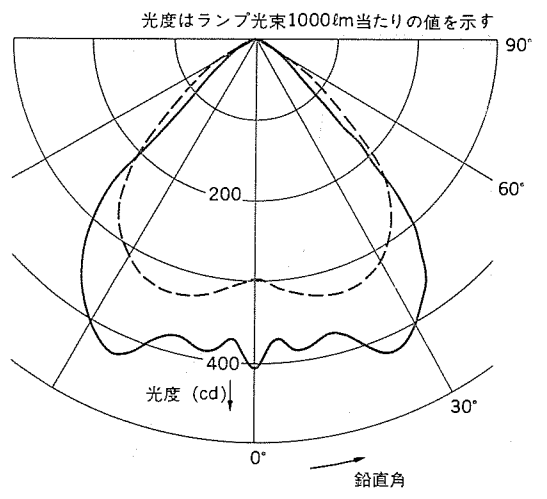


図 10. NH 360・LX/DL, HF 400 X・W での実測配光

反射板寸法(直径× 名 対象ランプ 参照図 高さ) (mm) HID ランプダウン 100 W HID ランプ $\phi 180 \times 100$ 図 11. ライトニ 6 V 10 W ₹=>>¤ $\phi 55 \times 30$ 図 12. ゲン電珠 400 W タイプ HID 投光器用反射板 $\phi 460 \times 230$ 🗵 13.

表 1. その他の反射板設計例

光水銀 ランプ (HF 400 X・W) を パフ 研磨・アルマイト 処理を施した反射板に取付けた場合の,実測配光及び器具効率を示す。両配光とも JIS C 8111 4形 (広照形) 配光に準拠しており,特に透明形 HID ランプ を使用した場合も満足できる配光が実現されていることは,注目すべきことと考えられる。

5.2 その他の反射板設計例

上記の反射板のほかに、表 1. の要求仕様に基づいて設計、 試作し

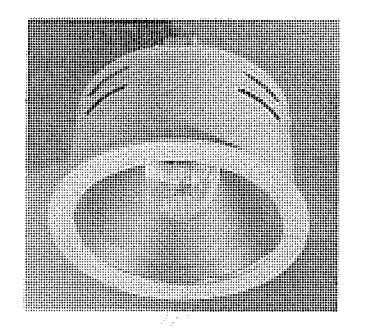


図 11. HID ラップダウンライト



図 12. ミニハロゲン 非常灯

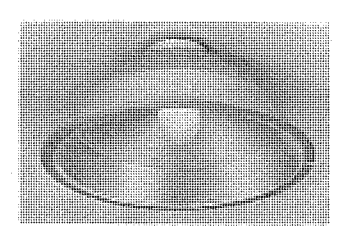


図 13. 投光器用反射板

た反射板を図 11., 図 12., 図 13. に示す。

6. む す び

このたび開発した CAD $\Im Z_{FL}$ は以上述べたように、 あらゆる種類 の回転対称形鏡面反射板に適用可能である。

近年の省ェネルギー意識の高まりの中で、照明器具の高効率化への要請はますます大きくなっていくものと考えられる。そこで、HIDランプの中でも効率の高い透明形ランプは、今後さまざまの方面で使用されることが予想されるが、発光部が小さいため、光を適正に制御することは比較的困難とされてきた。その中にあって、反射板形状設計を自動化し、光の適正制御を容易にしたことは、反射板の高効率化、設計の高速度化に大きく貢献できるものと期待される。

参考文献

- (1) 堀,松下,高橋:照明学会雑誌 61,259 (昭 52)
- (2) 堀,松下,高橋:照明学会雑誌 61,721 (昭 52)
- (3) 阪口,大八木,田淵:光源関連装置研究会資料 LS-78-18
- (4) 松下,堀,髙橋:光源関連装置研究会資料 LS-78-16
- (5) O. Myodo, M. Karino: J. Illum, Ergng, Soc. 11, 98 (1982)
- (6) 明道,山ノ下,狩野:昭55照明学会全国大会48
- (7) JIS C 8111-1971 照明用反射がさ
- (8) 明道, 狩野, 山ノ下, 深川:昭56照明学会全国大会52
- (9) 明道,狩野,山ノ下:昭57照明学会全国大会53

照明自動制御システム

大塚洋俟*・石井重行**・小泉登夫**・水原博久***・河野教人***

1. まえがき

照明分野における省エネルギー化は、光源、点灯装置、照明器具などの高効率化のほかに、これらの各機器を有効に組合せ、更に昼光制御、タイムスケジュール制御などの制御技術を導入した照明自動制御システムの採用により積極的に進められている。このたび、当社では事務所、店舗、体育館、工場などを対象として、建物の規模、目的、使用方法などに応じて適切に設置することにより総合的に省電力を図る"照明自動制御システム"の製品化、シリーズ化を行った。これらのシステムは、照明負荷を集中的に昼光制御、タイムスケジュール制御して点滅、調光させて照明環境を損なうことなく省電力化を実現するものである。

また、システムの端末となり照明負荷を点灯・消灯するリモコンリレーも電子化によって、小形化、省電力化された構造のものを開発した。 蛍光ランプの点灯装置では、電源配線2線式で20~100%の調光が可能な調光用半導体安定器、及び電源配線3線式で50%調光が可能な設調光安定器を製品化した。

2. 照明自動制御システムの概要

2.1 照明自動制御システムの機能

2.1.1 点滅制御と調光制御

点滅制御は、蛍光ランプ、白熱電球、HID ランプ (High Intensity Discharge Lamp) といずれの光源でも可能である。しかし、HID ランプは一度消灯すると再点灯するまでに数分かかるため昼光制御における動作 レベル の設定、タイムスケジュール 制御における時間設定に注意する必要がある。調光制御は、蛍光ランプ、白熱電球が対象となり、負荷制御盤、端末器、と点灯装置の組合せによって、4 段制御及び 3 段制御ができる。例えば、光源が蛍光ランプのとき、負荷制御盤を位相制御段調光制御盤とし、点灯装置に調光用半導体安定器を使用されば、全光-調光 $1 \cup 1 \cup 1$ 両光 $1 \cup 1 \cup 1$ 同光 $1 \cup 1 \cup 1$ 同素 $1 \cup 1 \cup 1$ の $1 \cup 1$

また、インピーダンス 段調光制御盤と段調光安定器の 組合せでは全 光 - 調光 (50 %) - 消灯の 3 段制御ができる。

2.1.2 パターン制御と個別回路制御

パターン 制御は全回路を対象として,各回路ごとに異なった照明制御状態(点滅又は調光)を記憶させておき,使用状況に応じてこれらを変更させるものである。すなわち店舗では,開店前,閉店後の作業,開店中の入場者数に対応して照明 ν^{\prime} ν^{\prime} を変化させ, また体育館では,競技内容,使用 ν^{\prime} ν^{\prime}

2.1.3 タイムスケジュール制御とマニュアル制御

一般的に照明を必要とする場所は、その照度を時間的なサイクルで繰返して変化させる場合が多い。この変化をあらかじめ プログラム で必要な照度が得られるようにしておけば、自動的に繰返し制御が行える。マニュアル 制御は、タイムスケジュール 制御されている照明状態を即時的に希望の照明状態に手動で切換制御するものであるが、タイムスケジュール 制御に 追加 して一時点に一部の回路を手動制御することもできる。

2. 1. 4 昼光利用制御

外部 センサ として昼光 センサを接続すれば、昼光量に応じてあらかじめ設定した窓際の照明を自動的に制御できる。この昼光利用制御も点滅だけでなく、全光、調光、消灯という制御も可能である。その結果、照度の急激な変化が無く、かつ照度むらも減少するので居住者には不快感を与えることが少なくなる。

2.2 照明自動制御システムの構成

システム の種類を表 1. に示す。 小形, 中形, 大形の 3 種類があり, 小形は小規模の店舗, 工場などを対象とした システム であるが, これ については既に発表したので説明を省略する。中形は中規模の店舗,

			表 1・ 照明目期制御 システム の種類		
種	類	制御回路	機能仕換	構 成 機 器	衛 考
小	形	4	・マニュアル制御 ・タイムスケジュール制御 ・昼光利用制御	・制御装置 ・負荷制御盤 ・昼光センサ	・4 ピットマイコン ・停電バックアップ 12 時間
中	形	16 (調光制御は8回路)	 ・マニュアル制御 (バターン8) ・タイムスケジュール制御 ・調光制御 ・外部センサ入力制御 (昼光センサなど) ・ 副操作盤による制御 (2台) ・ 回路状態表示, ほか 	・主操作盤 ・剛操作盤 ・負荷制御盤 ・昼光センサ	・8 ビットマイコン・停電パックアップ 100 時間
大	形	256 (調光制御は 128 回路)	 ・マニュアル制御 (バターン 10) ・タイムスケジュール制御 ・調光制御 ・外部センサ入力制御 (昼光センサなど) ・ 副操作盤による制御 (2台) ・各種リコール表示 ・ ほか 	主操作盤・ 到操作盤・ 端末器 (点談)・ 〃 (調光)・ 負荷表示盤	・8ビットマイコン・停電パックアップ 200 時間

表 1、昭明白動制御 ニュニムの種類

事務所、体育館などを対象としたシステムで、 照明負荷 16 回路を多様な機能により柔軟性に富んだ制御ができるので、質の高い照明が得られる。すなわち調光ユニット内蔵の負荷制御盤との組合せで4段制御、パターン制御などの機能の充実と操作性の向上を図っている。 大形は大規模の店舗、事務所、体育館などに対応できるように構成している。 照明負荷制御は、端末器を用いる分散方式で端末器を最大64 台接続でき、1 端末器で4 回路の制御ができるので制御回路数は256 回路となる。 主操作盤とは2 心の信号線で接続し、信号は時分割多重伝送で送・受信する。 主操作盤と端末器の間は最大2 kmまでの延長が可能である。

3. 中形照明自動制御システム

3.1 システム構成

システムの構成を図 1. に示す。このシステムは、主操作盤、これと二心の信号線で接続した遠隔操作で照明負荷を制御する副操作盤、及び直接に照明負荷を点滅、調光する負荷制御盤で構成している。このシステムの操作盤及び制御盤の外観を図 2. に示す。

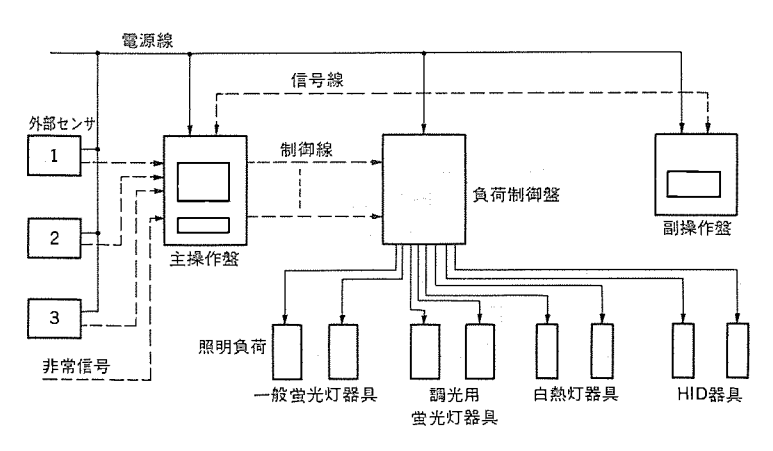
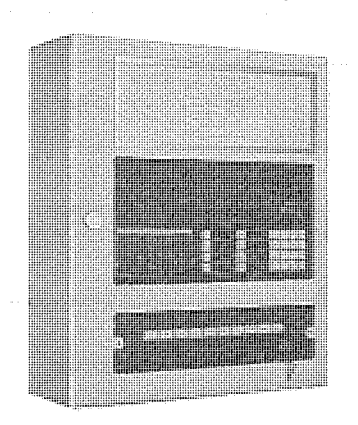
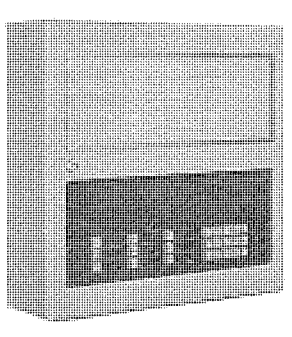


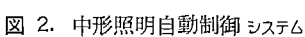
図 1. 中形照明自動制御 システム の構成



(a) 主操作盤



(b) 副操作盤



常時の照明を確保する。

主操作盤は、また副操作盤に、制御内容及び タイムスケジュール 制御、マニュアル 制御、いずれの制御状態であるかを シリアル な ディジタル 信号 に変換して送信する。副操作盤ではこの信号を受信し、16 回路の点 灯状態などを表示する。また副操作盤で操作したときは、その設定 内容を シリアル な ディジタル 信号に変換して主操作盤へ送信する。主操作盤と副操作盤は、3 路構成でいずれからでも同様の照明制御ができる。負荷制御盤には、点滅用 リレー、調光 ユニット を内蔵し主操作盤からの出力により照明負荷を制御する。

以上の構成により、①照明負荷の点減・調光制御、②個別回路・パターン 制御、 ③3種類の プログラム による タイムスケジュール 制御、 ④外部 センサ 入力による制御などができる。この システム の負荷制御は、負荷制御盤による集中方式のため負荷配線は既設のものを利用できる特長がある。

3.2 主操作盤

主操作盤は、システムの中心となるもので各種のデータ処理を受け持つ8ビットマイクロコンピュータ(以下、8ビットマイコンと称す)、データメモリ、プログラムメモリ、散定のためのキースイッチ、各表示のための発光ダイオード、時計用パルス発生器、カウンタ回路、送・受信回路で構成している。表示は16回路すべてに全光・調光表示発光ダイオードを設けているため、特に出力表示盤を必要としない。パターン制御時でもこれに関連する制御状態を一目で把握でき、照明負荷の一部を変更したい場合この表示を見ながら個別制御の設定ができる。タイムスケジュール制御時、消灯設定時刻の3分前から表示を点滅させる消灯予告も行う。副操作盤への信号送信は、制御操作があるごとに、またタイムスケジュ

ール 制御中は1分ごとに制御内容を送る。 停電時には, バッテリにより各種設定 データ, 時計 データを保護する。復 電時にはもとの制御状態に戻る。また時計は経過時間を カウンタから読込み停電時間を補償している。

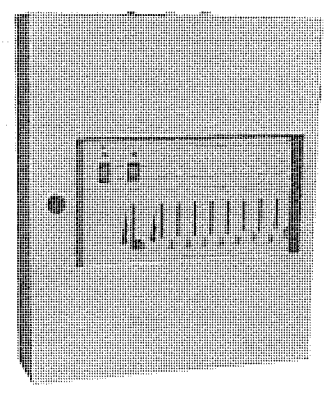
3.3 副操作盤

この副操作盤も、8 ビットマイコンを使用している。データメモリ、プログラムメモリは、主操作盤に比べ少なく全体の構成も簡単である。マイコンを中心として、パターン設定、個別回路設定のキースイッチ、16 回路の表示などの発光ダイオード及び送・受信回路で構成している。主操作盤からの信号を受け、パターン制御、各回路状態の表示、タイムスケジュール制御、マニュアル制御の表示を行う。 スイッチ 操作によるパターンの切換え、個別回路の制御設定、タイムスケジュール制御、マニュアル制御の切換えをシリアルなディジタル信号に変

換して主操作盤へ送信する。との副 操作盤でも、タイムスケジュール 制御時の 消灯予告表示を行っている。

3.4 負荷制御盤

負荷制御盤は、サイリスタ 位相制御回路を収納した調光ュニット、電磁開閉器を収納した MS ユニットの組合せにより表 2. に示す4種類が構成できる。調光ユニットは主操作盤からの点滅・調光信号によってサイリスタの導通角を制御し、照明負荷を全光、調光1レベル、調光2レベル、消灯の4段制御するものである。調光1、調光



(c) 負荷制御盤

表 2. 負荷制御盤の種類

仕 様	種	類	点 滅 制 御 盤	インピーダンス段調光制御盤	位相制御段調光制御盤	混用制 御盤
割		御	2 段 制 绚 (点 灯 消 灯)	3 段 制 绚 (全 光 100 % 調 光 50 % 消 灯	4 段 制 御 (全 光 100% (調光 1 レベル (調光 2 レベル 消 灯	2 股制 御 3 股制 御 4 股制 御 退用
ユニッ	トの定す	格 電 流	MS ユニット 負荷容量に合わせて電磁開 閉器を選択する。	MS ユニット 負荷容量に合わせて電磁開 閉器を選択する。	開光ユニット 20 A 30 A 60 A	MS ユ ニ ッ ト 翻光ユニ ッ トの組合せ
д = ;	ット収	納 数	任 意	任 意	任 意	任 意
	御 回格 電	路 圧	AC 100 V	AC 100 V	DC 10 V	AC 100 V DC 10 V
	荷 回 格 電	路 圧	AC 100 V AC 200 V 特殊電圧 50 Hz/60 Hz	AC 100 V AC 200 V 50 Hz/60 Hz	AC 100 V AC 200 V 50 Hz/60 Hz	AC 100 V AC 200 V 50 Hz/60 Hz
適	用 器	具	蛍光灯器具 HID 器 具 白熱灯器具	段調光専用器具 (3線式)	「調光用半導体安定器」 内蔵器具 (2線式)	左配器具の組合せ

2 の $_{
m L}$ の $_{
m L}$ 設定は負荷制御盤に取付けられた設定 $_{
m UV}$ で行う。

また、複数の調光ユニットで構成する制御盤には、これらの調光ユニットを一括して制御できる主調光設定器もついているため、まとめて全調光ユニットの調光レベルを変化させることもできる。負荷制御盤には配線用遮断器も組込めるので分電盤を兼ねることもできる。また操作は主操作盤からの自動制御のほかに、スイッチ操作により手動で点滅及び調光制御ができる。

4. 大形照明自動制御システム

4.1 システム構成

システム の構成を図 3. に、主な仕様を表 3. に示す。このシステム は、主操作盤にあらかじめ プログラム を設定し、これに基づき制御信号を2 心の信号線に乗せて伝送し、端末器によって照明負荷を制御する タイムスケジュール 制御,及び主操作盤、副操作盤(図 4.)で操作 スイッチ を手動操作し、この信号を伝送して 照明負荷を制御する マニュアル制御を行うことができる。主操作盤からの制御信号を伝送する信号

線は、端末器及び出力表示盤に、また副操作盤及び外部 センサ(昼光 センサ など)は直接主操作盤に接続している。

端末器は主操作盤から送信される タイムスケジュール 制御信号,又は マニュアル 制御信号に基づき,これに接続された照明負荷回路を制御する。出力表示盤は,端末器の制御状態を監視するために全回路の状態を表示することができる。この表示は双方向伝送方式により,主操作盤、副操作盤及び壁 スイッチ のいずれで制御しても,その制御状態を示すように構成している。副操作盤は最大2台まで接続可能である。照明負荷回路の制御操作を行うと信号を主操作盤に伝送し,主操作盤からあらためて該当する端末器に信号を送信してこれを制御する。

壁 スイーッチ は端末器に接続されており, 現場 側で端末器を制御するようになっている。壁

表 3. 大形照明自動制御 システム の主な仕様

-1-	信号	主操作盤 →端 末 器 →出力表示盤	伝伝信 骨 別 財 報 式 離 線 式 数	最 大 2km 2心1対 シールド線 AM 変調		
主	伝	主操作盤 →副操作盤	伝送方式 伝送距離	サイクリック双方向伝送 最 大 200 m		
操	送		信号線	4 心 1 対シールド線 (各副操作盤ごと)		
作			信 号 方 式 最大接続台数	ベースバンド 2 台		
盤	タイムスケジュール 制御		制御バターン 制 御 回 数 プログラム数 設調光 制 御	10 パターン 128 回/10 パターン 3 全光,調光 1 レベル,調光 2 レベル,消灯		
	₹	ニュアル制御	バターン制御 個別制御			
	停 電 補 償 200 時間					
作副 盤操						
示出 盤力 表	五 小 Pi 石 点级前间认证人			スは段調光制御状態		

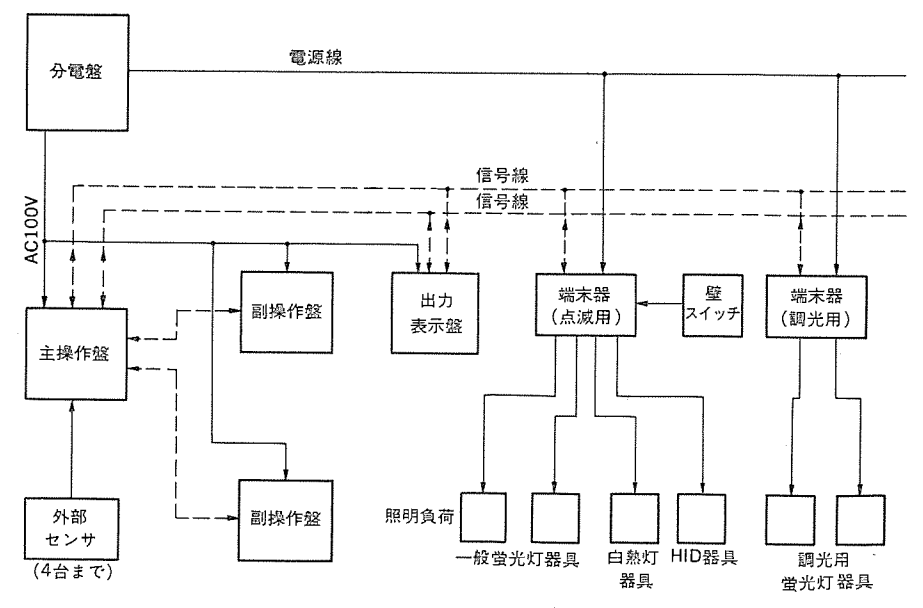
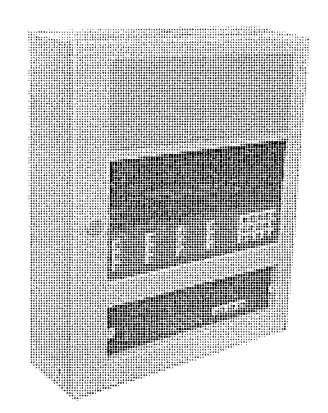
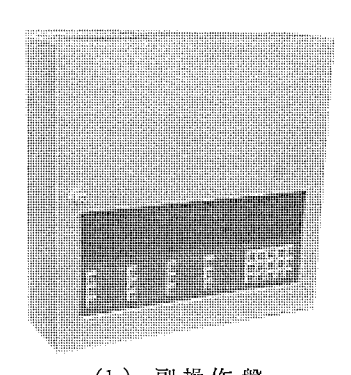


図 3. 大形照明自動制御 システム の構成



(a) 主操作盤



(b) 副操作盤 図 4. 大形照明自動制御 システム

スイッチによる制御状態は信号線を介して主操作盤に伝送する。外部セッサ(昼光セッサなど)は、主操作盤と最大4台まで接続することができる。昼光セッサを使用した場合、照度の制御レベルをあらかじめ設定しておけば、照度がこのレベルに達すると、窓側の照明を消灯、調光する信号を主操作盤から該当する端末器に送信し、照明負荷を制御することができる。

4.2 主操作盤

主操作盤の処理は、8 ビットマイコンで行っている。パターン 設定、タイムスケジュール 設定、個別回路制御、パターン 制御などを指定する キースイッチ の操作及び外部 センサ、壁スイッチ、副操作盤からの指定などを読込んで内部 プログラム 処理により照明回路の制御信号を作り端末器へ送信する。主操作盤には、制御停止端子を設けており、この入力により、システムの制御を停止し外部のホストコンピュータ などの上位 コントローラによる制御モードに対応できるようにしている。制御の優先順位は、①制御停止、②外部 センサ 制御、③マニュアル 制御、④タイムスケジュール 制御である。一時的な外部 センサ 制御の停止用として専用の スイッチ を操作パネルに設けている。表示系は、発光ダイオードで構成し時計及びパターンなどの制御状態を表示する。また、設定された各種メモリ、個別回路の状態も呼び出し表示できるなど、豊富な表示機能をもち操作をしやすくしている。

4.3 副操作盤

副操作盤は,通常主操作盤とは別の場所に設置し使用されるもので, これもマイコンを使用している。操作パネルは,パターン,個別回路設 定のキースイッチ,パターン,回路表示の発光ダイオードで構成している。 副操作盤ではマニュアル制御だけが可能で操作スイッチにより希望する 回路の点滅,段調光及びパターン制御が行える。この制御指定は,ベースバンド伝送信号に変換され主操作盤に送られる。操作した内容は 一定時間表示し,その設定内容を示し,またパターン制御状態は常時 表示している。

4. 4 信号伝送

4.4.1 主操作盤と端末器及び出力表示盤

主操作盤と端末器及び出力表示盤とは、AM 変調信号によって双方向け伝送を行っている。すなわち主操作盤から制御信号を出力し端末器が動作すると、端末器からアッサバック信号を主操作盤に向け送信する。これを主操作盤が受信して動作の確認を行う。同様に、壁スイッチにより端末器を直接制御した場合も、端末器から信号を主操作盤に送信し確認を行っている。出力表示盤に対しては端末器の制御状態の信号を伝送し、それを受信して表示を行い、またアッサバック信号を送信する。以上の信号伝送を主操作盤から各端末器及び出力表示盤に対してサイクリックに行っているが、特定端末器を優先的に制御したい場合は、割込み伝送処理ができるようになっている。

4.4.2 主操作盤と副操作盤

主操作盤と副操作盤とは、ベースバンドによる双方向伝送を行っている。すなわち副操作盤で制御操作をすると、主操作盤に向け信号を送信し、主操作盤からはアンサバック信号の送信がある。副操作盤ではこれを受信し、確認して受信完了ブザーを鳴らす。主操作盤では、副操作盤からの信号に基づき端末器に制御信号を送信する。

4. 5 出力表示盤

照明回路の制御状態信号を受信して, これを発光 ダイオード によりまとめて表示するようになっている。

4.6 端末器

端末器は2心信号線の信号を受けて照明の制御を行うもので,点滅用,段調光用の2種類があり,各々4回路及び2回路の制御が可能である。これらの端末器は天井裏などに設置されるが,この端末器とは別に過電流遮断器を収納した分電盤を設ける必要がある。

5. 周辺機器

5.1 昼光センサ

屋内形で窓際の天井に受光部を天空へ向けて設置する。昼光 セッサ (図 5.) は各制御 システムに共通して使用でき,電源は交流 100 V である。昼光 セッサ の出力は低輝度, 高輝度の 2 出力があり,主操作盤に接続する。 受光素子は視感度補正した シリコンフォトダイオード を使用し,光電流を電圧変換して昼光量に比例した アナログ 信号とした後,輝度設定をする比較回路に供給する。この信号は比較回路で ディジタル 信号に変換し,遅延回路を介して主操作盤に信号を送る。各動作



図 5. 昼光 センサ

レベル 及び、遅延動作時間の設定は本体に取付けたつまみで行う。遅延回路は、昼光量の変化が頻繁でも照明負荷を制御(点滅、調光)する回数を減らし居住者に不快感が少なくなるように設けたものである。

5.2 新形リモコンリレー

照明回路の開閉を標準分電盤の施設場所から離れた任意の場所で,

表 4. 新形 リモコンリレー 定格

機	機 種 名		リモコンリレー			
形		名	BR-12 A BR-22 A			
極	数 (主[回路側)	1 2			
定		格	負荷開閉容量 20 A 300 V AC 操作回路 AC 24 V 0.9 A			
瓜	重 量 (kg)		0.15	0.3		
		幅	25	50		
外	外 形 高 (mm) 長		57.5			
			95			

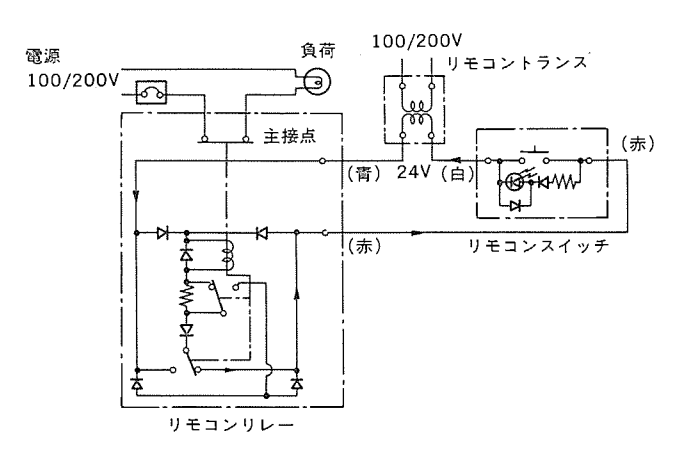


図 6. 新形 リモコンリレー 接続図



(a) BR-12 A 形



(b) BR-22 A 形 図 7. リモコンリレー

遠隔操作,集中操作ができる リモコンリレー は,省 エネルギー の ニーズ にとたえて, これからの新しい配線 システム に最適である。 この リモコンリレー の定格を表 4. に示す。

5. 2. 1 接続方法

一般に リモコンリレー は、リモコントランス、リモコンスイッチ と組合せて使用する (図 6., 図 7.)。リモコンスイッチ は リレー の動作状態を表示できるように、表示灯 (LED) を内蔵している。

5.2.2 性能

- (1) 抵抗, 誘導の各種負荷で3万回以上の開閉ができる。
- (2) 動作電圧 AC 18~30 V, 1/2~2 サイクル で開閉動作をする。
- (3) 内蔵の補助接点により操作電流は瞬時しか流れず,動作後は自己保持する構造である。
- (4) 過電流遮断器と組合せた短絡電流強度は 5 kA 以上である。

5.2.3 特 長

- (1) ワンパルス 動作方式で、 方向性がなく a 接点による単純な操作信号を送る C と に よ り、 リレー の主接点が交互に ON-OFF を繰返す方式である。また操作 スイッチ に ダイオード を組合せ方向性をもたせた制御もできる。
- (2) テストハンドル 付表示装置を備えており、保守点検時の機械的操作もできる。
- (3) 主回路定格 30 A, 3 極, DC 電圧用も揃え, ワイドバリェーションを図っている。

5.3 蛍光灯調光用半導体安定器

蛍光灯調光旧半導体安定器は、定電流 プッシュブル形 トランジスタインバータ を使用した電子回路形 安定器で、蛍光 ランプを約 40 kHz の高周 波で点灯するとともに、明るさを 20~100 %まで連続して変化できるようにしたものである。 調光用安定器では、調光したときに ランプを安定、確実に点灯させ、かつ ランプ寿命を短縮させないことが要求される。このため、ランプの フィラメント を常時適正に加熱する必要がある。この安定器は、位相制御段調光制御盤、端末器などから位相制御された電圧が供給されても常に適正な電圧が ランプの フィラメントに印加されるような特殊な回路方式を採用しており、また電源側の配線は在来の調光用安定器が 3 線必要であるのに対し、 2 線ですむようになっている。この結果、調光特性、ランプ寿命などの性能確保と既設の建物への適用が可能となった。この半導体安定器の外観を図 8.、定格を表 5. に示す。

との安定器は在来の調光用安定器と比較し次の特長を有している。

(1) 省電力率が大きい。

高周波点灯方式の採用により ランプ 発光効率が増加し、 安定器損失が減少した。定格点灯時の入力電力は在来の調光用 安定器 (40 W 1灯用) に比べ約 30 % 減少した。

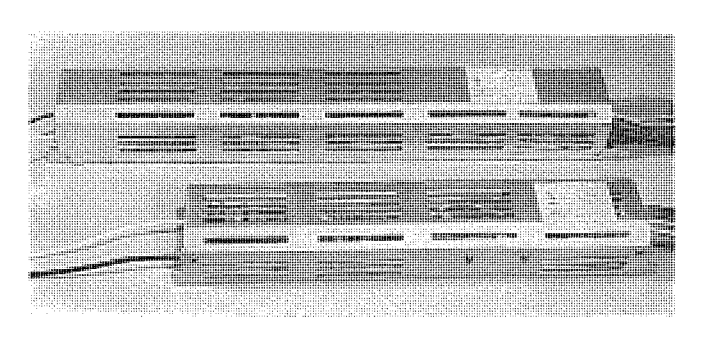


図 8. 蛍光灯調光用半導体安定器

表 5. 蛍光灯調光用半導体安定器定格

w	数	電源電圧 (V)	入力電流 (A)	入力電力 (W)	力 率	外形寸法 (mm) H×W×L	重量 (kg)
40 W	1 灯用	200	0.21	40	高力率	38 × 58 × 255	0.5
40 W	2 灯用	"	0.41	78	v	46×68×345	0.8
110 W	1 打用	p.	0.52	98	u,	46×68×345	0.8
110 W	2灯用	u u	1.04	196	ע	52×71×450	1.1

- (2) 電子回路形安定器であるため大幅に軽量化した。 在来の調光用安定器と比較し, 重量は約20% に減少した。
- (3) 一般の ラピッドスタート 形 ランプ が使用できる。 在来の 40 W 調光用器具には,調光を円滑に行うため特殊な調光用ランプを必要としていたが,この安定器では一般の ラピッドスタート形 ラ
- (4) 1分岐回路に接続できる灯数が多くできる。

安定器が高力率で入力電流も少ないため、1分岐回路に接続できる 灯数が在来の調光用器具(40 W 1灯)に比較し、約27 % 増加する。

- (5) 電源周波数 50 Hz, 60 Hz 共用である。
- (6) ランプのちらつきがない。

5.4 段調光安定器

υプ が使用できる。

段調光安定器は蛍光 ランプの明るさを全光 - 調光 (50 %) - 消灯の 3 段階に制御する安定器で、主安定器部と段調光 アダプタ で構成している。主安定器部には調光したときにも ランプの フィラメント を適正な電圧で加熱する巻線を設けている。また段調光 アダプタ には リレー と段調光 インピーダンス を収納している。そして制御線への信号で リレー を動作させ、段調光 インピーダンス を直列接続又は短絡して ランプ 電流を制御するようにになっている。したがって、段調光安定器への配線は 3 線が必要となる。

6. 中形照明自動制御システムによる省電力率の計算例

照明制御 システム による省電力効果は、 昼光利用制御及び タイムスケジ

ュール 制御の両面によって行われる。 中形 システム では制御も単なる 点滅だけでなく,調光用半導体安定器との組合せにより,全光 – 調 光 $1_{U^{\wedge}U}$ – 調光 $2_{U^{\wedge}U}$ – 消灯の 4 段制御が可能になるから,よりき め細かな制御ができる。

事務所照明における昼光利用制御の場合,単なる点滅制御方式であれば窓際の3列の器具を消灯対象とするのが精一杯であるが,中形のシステムでは調光対象は更に4列目5列目に及ぶこともあり,また3列目までについても点灯と消灯との間に調光状態が設けられるので一層省電力効果が高まる。

タイムスケジュール 制御も就業前後を調光、屋休み時間帯を蛍光灯にすなど、実情に応じた省電力照明が可能になる。更に、蛍光灯調光用半導体安定器と組合わせた場合、全光時の光出力自体を変化させることが可能であり、これを利用して設備当初など、設計照度に合わせた調光を行うことによっても省電力が得られる。 床面積 1,000 m², 20 m×50 m で長辺が南北にあり、北側に窓を設けた事務所で、設計照度700 lx(照明器具:FLR 40 W 2 灯用 180 台を南北に 12 連として 15列配置)の場合について中形の システム を導入したときの省電力率を計算してみると、

・昼光利用制御による省電力率 16 % ・タイムスケジュール 制御による省電力率 17 % ・設計照度への制御による省電力率 11 %

となる。システム全体の省電力率はこれらを単純に加算したものにはならないが、約36%となる。これに調光用半導体安定器自体の省電力率12%を加味すると全体で44%の省電力率が得られる。なお設定条件としては始業前30分、終業後1時間の50%調光点灯、昼休み1時間全消灯とし、ランプ、照明器具の清掃回数は年1回、ランプ交換は個別交換方式、保守率は0.7とした。

7. ま: す び

照明自動制御 システム は,省 エネルギーと快適な照明環境を得るため各施設に設置されていくであろう。また市場の要求は多様であり,将来機能的,仕様的に細分化されていくことも予想される。今後とも機能の向上,操作性の向上,設置工事の簡単化などの検討を行い,より適切な システム 作りを目指していく必要がある。

マイクロ波放電光源装置とその応用

児玉仁史*·吉沢憲治**·正田 勲*·大貫一志*·伴 和生*

1. まえがき

HID ランプ (高圧放電灯) は、コンパクトでしかも高効率大出力 ランプ であることから、道路、広場、高天井の工場などの一般照明分野及び ランプから放射される紫外線を主として利用する産業応用分野などで広く利用されている。

しかしながら特に産業応用分野においては、ランプは頻繁な点滅を要求されるにもかかわらず、一般の HID ランプでは ランプ点灯後その光出力が安定状態に達するまでの時間(始動所要時間),及び一度消灯した ランプが再点灯可能になるまでの時間(再始動時間)に数分から十数分を要し、頻繁な点滅という要求には応じきれないのが実状であった。このため従来の光源装置では、ランプは連続点灯状態としたまま、ランプ前面に設けた シャッタ を開閉することで、ランプそのものの点滅に代えるという方法が用いられてきた。しかしながらこのような方法では、光の照射を必要としない時にも ランプは点灯状態にあるため、実際に ランプを必要とする時だけ点灯できる光源装置に比較し、消費電力が多くなり、省エネルギーの要請に反するという欠点があった。

この欠点を解消するため、近年水冷式超高圧水銀 ランプを用い、始動所用時間及び再始動時間を 2~3 秒とした光源装置が実用化されている。 しかしての種の ランプでは、内部に封入する金属は水銀に限定されるため、発光 スペクトル の選択範囲が極めて狭い上に電極の蒸発、 飛散によって発生する ランプ管壁の黒化による寿命中の光出力の劣化が大きいという問題があり、また点滅寿命も十分とは言えなかった。

当社では、マイクロ波 エネルギーにより球形の無電極放電 ランプを発光させることにより、始動所要時間及び再始動時間を短縮すると同時に、点滅寿命が長く、所望の発光スペクトルを得やすいマイクロ 波放電光源装置を開発し、この装置を UV 塗料及び UV インクの硬化、写真製版など特殊照明用途に用いる産業用紫外線光源装置として製品化した。

本稿ではその基本構成と動作原理、この装置に用いられる ランプ 及び ランプ の特性、この装置の動作を確実に行わせるための制御方式及び装置の安全性を確保するために設けられている安全対策並びにこの装置を産業用紫外線光源装置として用いた場合の従来装置との性能の比較について述べる。

2 マイクロ波放電光源装置の構成と動作原理

2.1 基本構成と動作原理

マイクロ 波放電光源装置とは、マイクロ 波電磁界を用いて球形の無電極 放電 ランプ内の蒸気を放電、発光させ、光源として利用する装置である。基本的には、マイクロ 波共振空胴内に球形の ランプを配置し、マグネトロン により発生されたマイクロ 波を給電して、放電、発光させ、この光を空胴外に取出して被照射面に照射するように構成している。図 1. がこの装置の動作を示す基本構成断面図である。装置はこの

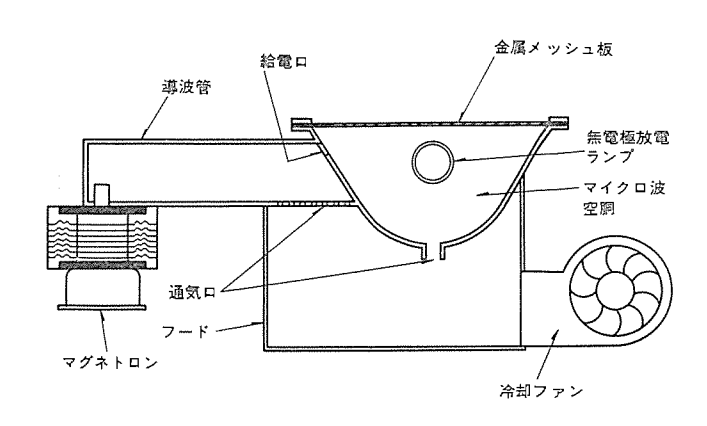


図 1. 基本構成断面図

ほか、マグネトロンを動作させるための電源部、装置の動作を制限する ための制御部で構成している。この装置の動作を次に示す。

- (1) マグネトロン で発生した マイクロ 波が導波管を伝搬し、 給電口から回転対称形の空胴壁と金属 メッシュ 板とで構成した マイクロ 波空胴中に放射する。
- (2) との マイクロ 波によって ランプ 中の希 ガス を放電させ、 ランプ 中に マイクロ 波 エネルギー を吸収させる。
- (3) この希 ガスの放電により、ランプ管壁が熱せられる。 ランプ中には放電によって励起、発光する金属とこれらの金属の蒸気圧を高めるための ハロゲン 及び水銀が封入されている。管壁が低温状態にある時には、これらの封入物は管壁に付着しており、管壁温度の上昇とともに蒸発していく。
- (4) 金属の蒸発につれて放電は希 ガス 主体の放電から、水銀を主体とする金属蒸気の放電に移行し、封入金属に応じた スペクトル で発光する。
- (5) ランプから放射した光は、光反射面を兼用する空胴壁面で反射し、ランプからの直接光とともに金属 メッシュ 板から外部に放射する。 産業用紫外線光源装置として設計したこの装置の場合、前面に補助配光手段を設けて最適配光を実現している。

ランプ及び空胴壁は、ランプの点灯中、放電によって加熱されるため冷却を行う必要がある。ての冷却は図 1. に示した冷却 ファン で行う。ファンの冷却能力は、特にランプ消灯後ランプ 壁の温度を下げ、ランプ内の蒸気圧が再び放電開始可能となるまでに下がる時間に影響し、冷却能力が大きいほどこの時間は短くなる。

一方, 空胴外には空胴内の ランプ に紫外線を照射するように,始動補助用紫外線 ランプ が設けてある。 これは ランプ の放電開始前に ランプ 中に光電離によって自由電子を生じさせ, 放電開始を容易にするためのものである。

2.2 マイクロ波共振空胴

マイクロ 波共振空胴は,空胴壁と金属 メッシュ 板で構成し,空胴壁は光

反射面を兼ねている。したがってその形状は、被照射面の照度分布が所望の照度分布となるように設計する必要がある。この装置の場合、補助配光手段を併用することによって、所望の照射距離における所望の被照射面の照度分布がほぼ均一となるように設計している。また共振空胴の寸法は、マイクロ波からの要請をも十分考慮する必要がある。このとき、ランプの放電状態は放電開始から定常放電状態まで変化し空胴のインピーダンスも変化するが、空胴の寸法はマイクロ波的にみた場合、定常放電状態で空胴が共振器となり、整合が良好となり、マイクロ波吸収が最大となるようになっている。

金属 メッシュ 板は、マイクロ 波空胴壁の一部であるため、マイクロ 波を 反射し、外部へのマイクロ 波の漏えいを防止するようにできるだけ細い ピッチの メッシュ にする必要がある。一方、光を効率良く空胴外に 取出すため、光透過率を良くする必要がある。 この装置では 0.1 mm 厚の ステンレス 薄板を エッチング により メッシュ 状にしたものを用いており、マイクロ 波漏えいは装置外部で電子 レンジ の場合の規制値として適用されている 1 mW/cm² 以下で、光透過率は約 90 % となっている。

2.3 マイクロ波特性と始動所要時間

この装置の大きな特長の一つに始動所要時間の短いことが上げられる。図 2. にこの装置でのマイクロ 波電力反射系数とマイクロ 波透過電力(ほぼランプに吸収される電力に相当する)及び光出力の放電開始からの時間変化を示す。ここで初期 5 秒間はマイクロ 波電力は定常時の約 1.5 倍(ハイパワー)にしている。これは始動所要時間をより短くするためである。図からわかるように、定常放電状態で整合がとれるように設計しているため、点灯後 1~2 秒の時点で電力反射係数は 0.4 以上あり、整合は良好とは言えない。しかし透過電力はハイパワー時の最大透過電力の 90 %以上となっており、ランプの点灯初期より ランプに大きなマイクロ 波ェネルギー が吸収されていることがわかる。このため、ランプ内に封入された封入金属の蒸発も急速に進み、光出力も急速に増加する。実際の光出力の増加の状況は図に示すように点灯後 5 秒間はほぼ直線的に増加し、定常電力に切換えた後安定している。ランプ点灯後、光出力がこの安定光出力の 90 % に到達するまでの時間を始動所要時間とすれば、この場合約 3 秒である。

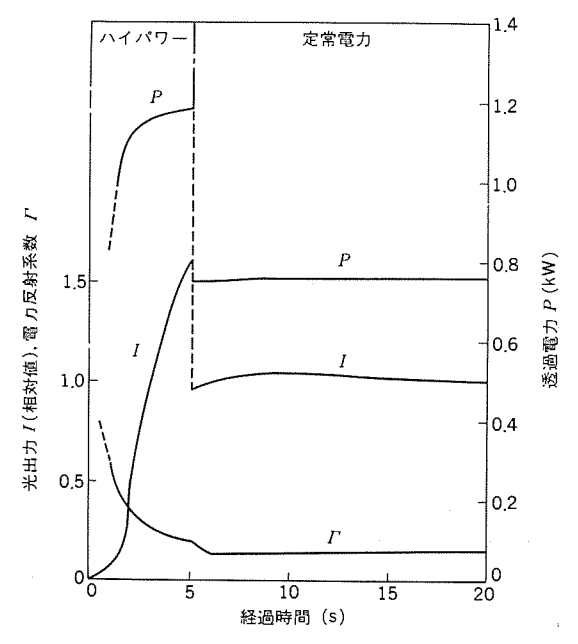


図 2. 光出力,透過電力,光出力の点灯直後からの時間変化

在来の電極を有する ランプは、 点灯回路に用いられる安定器のインピーダンスを始動初期のみ減少させ、ランプに流れる電流を増加させることによって、 始動所要時間を短縮する方法もあるが、この場合、 通常の点灯回路で ランプを始動させる方法に比べ、 電極の消耗が激しくなり特に頻繁に点滅を行ったとき、ランプの寿命が短くなる。 これに比べてこの装置では ランプは無電極であるため、 始動所要時間が短いにもかかわらず ランプの点滅寿命が長いという特長もある。

3. 無電極放電ランプ

この装置に用いる ランプは図 3. に示すように、管壁が透明石英 ガラス の内径 30 mm の球形 ランプで、内部には始動用希 ガス、水銀及び 所望の発光 スペクトル を得るための金属などが封入されている。 とこではこの ランプ の特長について述べる。

3.1 無電極放電ランプのマイクロ波特性に及ぼす影響

ランプはそれが点灯状態にあるとき、マイクロ 波空胴内に放電空間を生じさせることになり、この放電空間の存在によって空胴のマイクロ 波特性に影響を及ぼす。このような ランプの マイクロ 波特性にあたえる 影響は次の 3 点によって決まる。①ランプの形状、②空胴内での ランプの位置、③ランプの放電状態、このため同一のマイクロ 波空胴内で、あらかじめ決められた形状以外の ランプを点灯させたり、 異なった位置で ランプを点灯させることは マイクロ 波空胴の インピーダンス 整合を変化させ、マイクロ 波吸収を少なくする方向に作用する。

一方,図 2. に示すように、マイクロ 波空胴の整合状態は ランプの放電状態によっても変化する。このようなマイクロ 波特性への影響という面から見た場合,放電状態を決定する主なる因子は,放電に寄与する水銀の量である。しかしながら,封入水銀量が少ないとき,このような整合状態への影響は大きくなるものの,封入水銀量が多くなると,封入水銀量の変化による整合状態の変化はほとんど認められなくなる。 したがって水銀封入量が多いときは,所望のスペクトルを得るため封入する金属の種類及び量を変化させても整合状態の変化はほとんど認められず,整合状態への影響が所望のスペクトルを得る上での障害となることはない。

3.2 ランプ重量の安定時間に及ぼす影響

始動所要時間は、ランプ管壁温度が点灯時の定常温度に達するまでの時間である。したがってランプ管壁の熱容量が小さいほど安定時間は短くなり、ランプ形状及び管壁材料が同一のとき、この熱容量は管壁の肉厚で決定され、ほぼランプ重量で代表できる。図 4. はこのランプ重量と安定時間の関係を示す図である。図で明らかなように、ランプ重量の減少とともに始動所要時間は短くなる。しかし、ランプ管壁肉厚を薄くしすぎた場合、ランプの破損が生じやすく、極端に薄くすることは出来ない。この装置では、ランプ重量を約4gとし、始

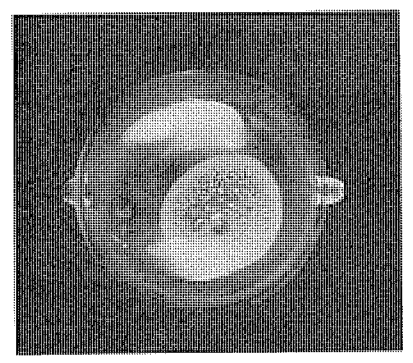


図 3. 球形無電極放電 ランプ

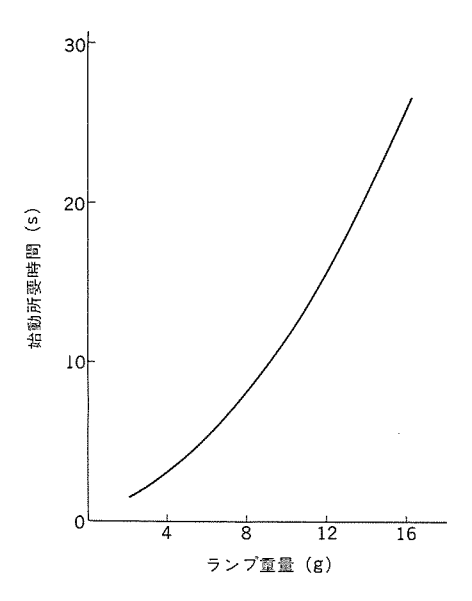


図 4. ランプ 重量と始動所要時間特性

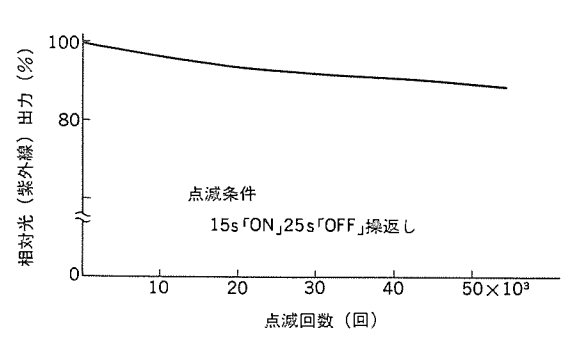


図 5. ラップ 点滅回数と光出力劣化特性

動所要時間3秒を実現している。一方、ランプ管壁の熱容量を減少させることは消灯後、ランプの冷却を急速に行い、短時間の内にランプ内の蒸気圧を再始動可能な値まで引き下げることが出来ることを意味し、再始動時間を短縮する方向にも働く。

3.3 ランプ寿命中の光出力の劣化と寿命

一般に電極を有する放電 ランプは、光出力の劣化は電極の蒸発、飛散による ランプ管壁の黒化が主たる原因となっている。 これに対し、この装置では、ランプは電極を必要としないため、このような現象は起こり得ず、ランプ管壁材料である石英 ガラス の一部が結晶化することによって生ずる管壁の白濁による光出力の劣化のみで、管壁黒化による劣化に比べその程度は極めて少ない。 図 5. にこの装置の標準的点滅条件における点滅回数に対する ランプ光出力の劣化特性を示す。 図で明らかなようにこの装置では、 点滅 5 万回でランプ光出力は初期値の 90 %までしか劣化しないが、石英 ガラス の再結晶による強度低下を防止するため、標準的点滅条件での点減回数を 5 万回に制限している。

3.4 ランプの発光スペクトル

電極の有する放電 ランプ においては、ランプ 内に電極と強い反応性をもつ物質を封入すると、電極の急速な劣化による早期不点及び急激な光出力の劣化が発生し、この種の物質は実用上所望の発光 スペクトル を得るための封入物としては使用できない。これに対し、無電極放電 ランプ は、ランプ 内に封入する物質にはこのような制限はなく、かつ所望の発生スペクトルを得るために封入される封入物による ランプの マイクロ 波特性への影響は認められない。したがって ランプ 内に封

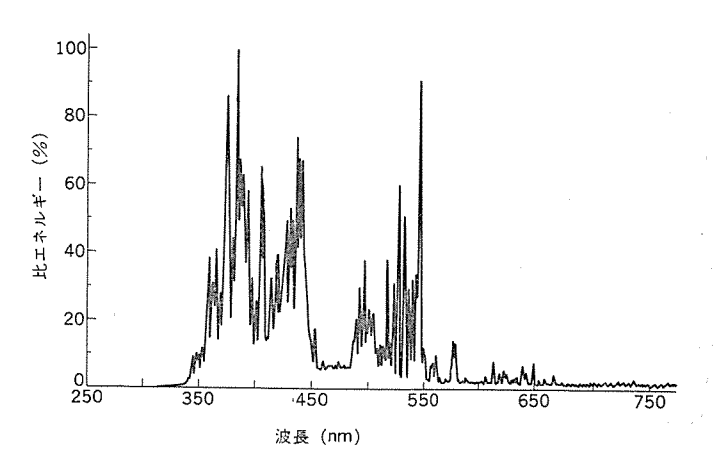


図 6. 球形無電極 ランプの スペクトル 分布

入する封入物は比較的自由に選択でき、所望の発光 スペクトル も得や すいという特長がある。

図6.はこの装置に用いた ランプの発光 スペクトルを示す。一般に紫外線応用産業分野において用いられる紫外線感光剤の最高露光感度は、350~450 nm の波長域にあるものが多い。この装置に用いられる ランプ は内部に水銀及び鉄を主体とした物質を封入し、上記波長域にその発光を集中させていることがわかる。

4. 制 御 装 置

この装置は、特に産業用分野の紫外線光源装置に必要とされる仕様の実現と安全性の確保のために、マイクロコンピュータ(以下、マイコン と称す)を用いた制御回路を備えている。

4.1 制御装置の構成

制御装置の構成を示す ブロック 図を図 7. に示す。装置は、1 K バイトの PROM を有する ワンチップマイコン である インテル 8748 を中心に回路を構成している。制御のために参照する入力信号と光源装置の動作を操作するための出力信号は次のとおりである。

(1) 入力信号

- (a) 点灯操作 スイッチ の接点信号
- (b) ランプの光出力信号
- (c) 漏えい マイクロ 波信号
- (d) 交流電源の位相信号

(2) 出力信号

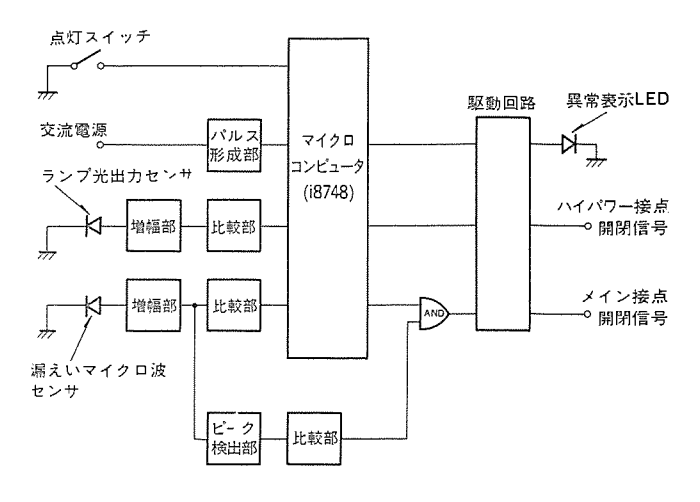


図 7. 制御装置 ブロック 図

- (a) メイン 接点開閉信号
- (b) ハイパワー 接点開閉信号
- (c) 異常表示灯 LED 点滅

上記の入力信号と内蔵されたタイマー信号から装置の動作状態を判断し、制御を行っている。なお、高レベルのマイクロ波漏えいに対しては、マイコンを介さず、個別 IC で構成した検出回路が制御出力を形成しており、万一マイコンがプログラム暴走などの異常状態となってもマイクロ波漏えいに対する処理をし、安全が確保できる回路構成となっている。

4.2 制御機能の概要

制御は点灯制御と安全機構に大別できる。

(1) 点灯制御

(a) ハイパワー 動作の制御

始動時の接点閉路順序, ハイパワー 時間, ハイパワー 終了時の接点開路位相の管理を行う。

(b) 再始動阻止時間帯 (ロック時間) の設定,制御 点灯時間に応じて再始動 ロック時間を設定し, との時間帯中は再 点灯を阻止する。

(2) 安全機構

- (a) マイクロ 波漏えい インタロック
- (b) ランプ 不点 インタロック
- (c) 異常表示 LED 点滅

上記異常発生時に点滅 パターン で異常の種類を表示する。

5. マイクロ波放電光源装置の諸特性

この装置は、従来の電極を有する放電 ランプを用いた光源装置と異なり、マイクロ 波電磁界から直接 エネルギーを吸収し、放電、発光を行うため、ランプは各種の特長があるが、その特長は次のように無電極であることによる特長と マイクロ 波による放電であることによる特長に大別できる。

- (1) 無電極放電 ラップ であることによる特長
 - (a) 電極劣化によって生ずる ランプ管壁の黒化による光出力劣化や不点灯が無く,寿命,特に点滅寿命が長い(5万回)ため,ランプ交換費用が少なくてすむ。
 - (b) 封入物の選択範囲が広く、所望の発光 スペクトル が得やすい

表 1. マイクロ 波放電光源装置仕様例

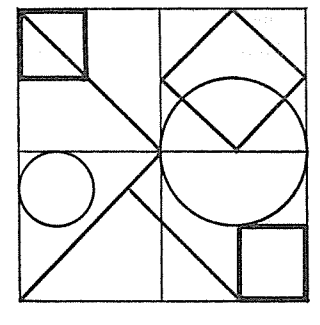
項目	任 樑
電源電圧 (V)	AC 200~240
入 力 電 力 (kW)	1.4
電源周波数 (Hz)	50, 60 浆用
紫外線出力 (安定時)	メッシュより 700 mm の距離で 4.6 mm/cm ² 以上
始 動 所 要 時間 (s)	3
再始動時間 (s)	20
ランプ寿命 (回)	点波 50,000
冷 却 方 式	強制空冷

ため、 高効率の ランプ が得られる。

- (c) ラップ 構造が極めて簡単である。
- (2) マイクロ 波放電であることによる特長
- (a) 点灯直後から ランプ に大きな エネルギー を供給でき、 始動所 要時間が短い (3 秒)。
- (b) 強い マイクロ 波電磁界で始動でき,再始動時間を短縮できる (20 秒)。
- (c) 5v からの放射赤外線が少なく、被照射物の加熱が少ない。 以上がとの装置の基本的特長であるが表 1. にその仕様を示す。

6. む す び

マイクロ 波放電光源装置は、始動所要時間、再始動時間が短い、寿命、特に点滅寿命が長い、スペクトル の選択範囲が広いなどの優れた特長を有する光源装置である。したがって今回製品化した分野に限られることなく、今後、従来の HID ランプ が最も不得意とした激しい点滅の要求される分野に更に広く利用されることが期待できる。



特許と新案有償開放

有償開放についてのお問合せ先 三菱電機株式会社 特許部 TEL (03) 218-2136

蛍 光 放 電 灯 (特許 第893078 号)

発明者 竹田俊幸•伊藤 弘•野田昭吉•馬込一男

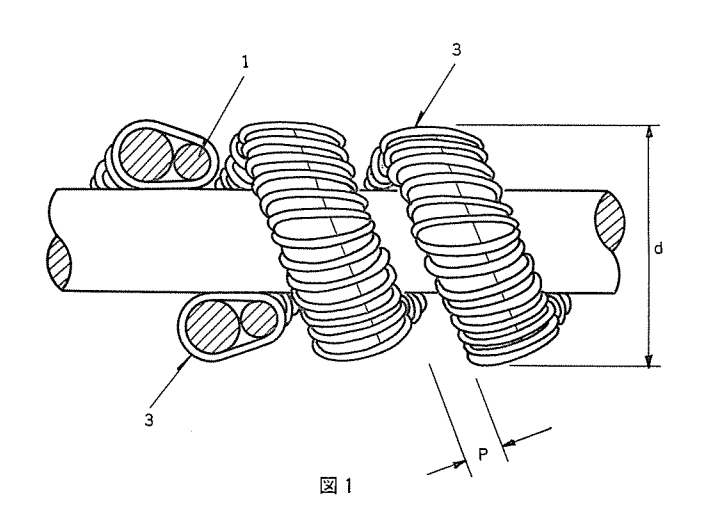
との発明は、蛍光放電灯、特に雑音を防止するとともに、長寿命化を目的とした放電灯用電極の改良に関するものである。

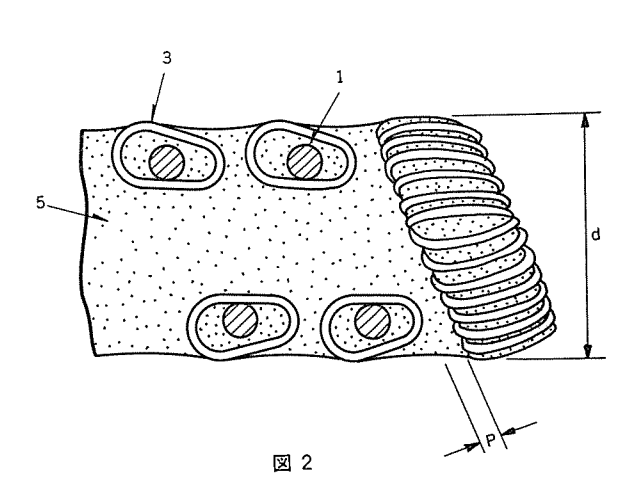
すなわち、図に示すように タングステンヒーター線(1)を芯線としてこれに タングステン 細線(3)をらせん状に巻き付けて 1次 コイルとし、更にこれをらせん状に巻いて 2次 コイルを構成し、この 2次 コイルに電子放射物質(5)を隙間なく充塡するとともに、2次 コイルの最大径(d)を 0.2~1.0 mm とし、かつ 2次コイルのターン間隔(p)を 0.25 mm 以下とした電極を蛍光放電灯に設けたものである。

このような蛍光放電灯は、電極の輻射損失が最大とする構造を有

し、しかも 2次 コイル 内に全く空隙を作らないように電子放射物質が充塡されているので、 点灯中陰極輝点は コイル 外表面にしか存在することができない。 そのため従来の電極のように コイル 間の相互輻射はほとんどなく、冷却効果を高め過剰な熱電子放出を効果的に抑制する。そしてこの効果は電極の構造上、点灯期間中維持される。このようにこの発明の特長は、点灯初期から寿命末期までほとん

このようにこの発明の特長は、点灯初期から寿命末期までほとんど一定に低雑音を維持し、 更に 2 次 コイル 内部に空隙を作らずに電子放射物質を充塡するので、 従来の電極 コイル に比して電子放射物質充塡量は 50~80% 増加し、長寿命化が図れる。





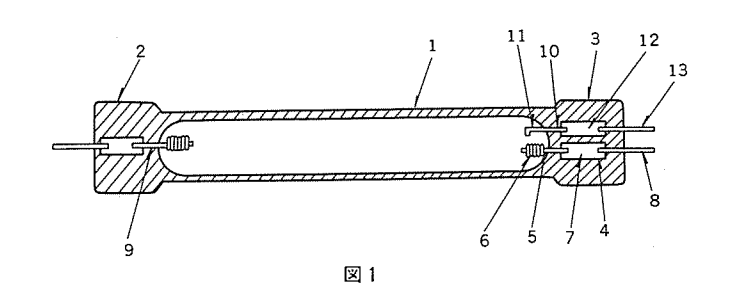
高圧水銀ランプ用電極体の製造方法 (特許第914017号)

発明者 伊藤 弘・今井 純・菅野文夫

との発明は、 高圧水銀 ランプ の発光管端部に封着される電極体の製造方法に関するものである。

従来,この種の電極体の製造方法は、タングステン製の電極棒とモリブデン製の金属箔との接続部に、 白金箔又はタンタル、パラジウム、ニオブ、ジルコニウム及びこれらの合金の粉末をスラリーにし、 これを鑞材として介在させ、電気溶接していた。

この発明は、これら従来鑞材のそれぞれの利点のみを兼ね備えた 難融性金属用の鑞材として、クロム金属が最も適していることをつき とめ、 図に示すように クロム金属粉末(14)を溶剤に混合して スラリー となし、これを タングステン金属棒(5)と モリブデン 箔(7)の接続部に



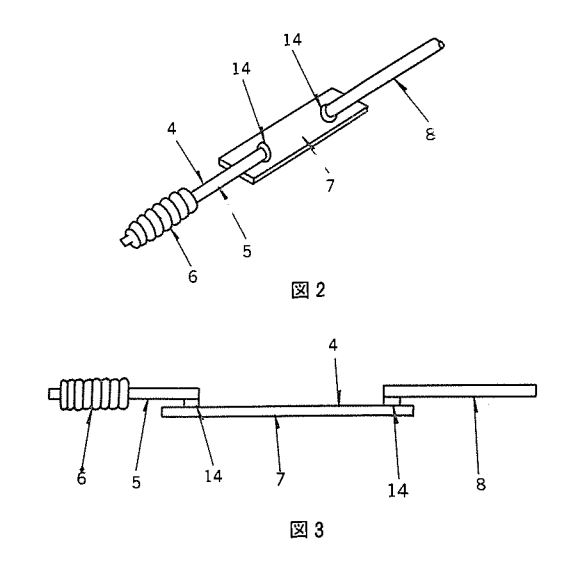


TEL (03) 218-2136 有償開放についてのお問合せ先 三菱電機株式会社 特許部

介在させ、電気溶接したものである。

したがって、この発明は従来方法に比べて次のような特長がある。

- ①白金箔の場合のように高価にならない。
- ②溶接作業の機械化が容易で自動的かつ連続的に行え得る。
- ③タンタル,パラジウム,ニオブ及びジルコニウムなどの場合より低い温度で 溶接が行えるため、 鑞材の酸化による体積膨脹のおそれがなくなり、 電極体封止部の破壊が防止され信頼性を高めることができる。



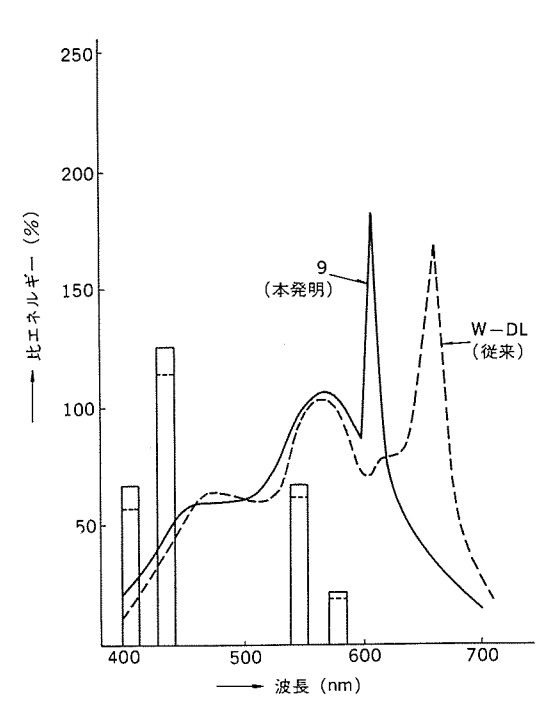
(特許 第921304号)

上 勝 男・大 谷 光 興・平 田 東 洋 夫・梅 田 三 郎

この発明は, 発光効率を低下させることなく演色性を改善した蛍光 ランプに関するものである。

すなわち、この発明の特長は、 蛍光 ランプ に塗布する蛍光体とし て, ユーロピウム 付活酸化 イットリウム 蛍光体 45~0.5 重量 % と, 錫付活 オルソ 燐酸 ストロンチウム・マグネシウム 蛍光体 62~1 重量 % と、マンガン 付 活けい酸亜鉛蛍光体又はマンガン付活けいゲルマニウム酸亜鉛・マグネシウ ム蛍光体の少なくとも 1 種の蛍光体 37~0.5 重量 % と、アンチモン・マ ンガン 付活 ハロ 燐酸 カルシウム 蛍光体又は アンチモン 付活 ハロ 燐酸 カルシウ ム 蛍光体との混合 ハロ 燐酸 カルシウム 蛍光体 85~10 重量 % とを混合 したものを使用するか、又はこの混合蛍光体に マンガン 付活 フロロゲル マニウム酸 マグネシウム 蛍光体又は マンガン 付活ひ酸 マグネシウム 蛍光体の 少なくとも1種の蛍光体5重量%とを混合し用いたものである。

このような蛍光体層を有する蛍光 ランプは、 深赤色の発光が減り 図に示すような分光分布を得、 例えば色温度が 4,500 K の白色光を 発光する従来品と比較すると、Ra(平均演色評価数)が82で従来と 同等であるが、効率は 72 lm/W で約 20% 向上し、良好な演色性と 高効率を同時に達成できる。



三菱電機技報 · Vol. 57 · No. 2 · 1983

戸田 忠*・戸川隆司**・谷口政弘***・植田 哲⁺

1. まえがき

最近の火力発電プラントは世界的なエネルギー情勢を反映し、使用燃料が従来の石油から LNG, LPG, 石炭又は COM などへと多様化されつつあり、また単機大容量化の傾向にあるが、これに伴い燃料の受入基地も大規模なものが計画されてきている。

これら燃料受入基地は、発電 プラント 用、都市 ガス 用などその供給 先の公共性が高いうえ、更に LNG、LPG などの液化 ガス 燃料は受 入基地にて気化し、直接、発電 プラントに供給されるため、受入基地 側の トラブル が発電 プラント の停止につながることも考えられ、 基地 運用の信頼性は特に高いものが要求されている。

ここでは、上記燃料のうち脱石油化の柱として近年特に伸びの著しい LNG をとりあげ、現在建設が進められている日本海ェル・エヌ・ジー(株) 新潟基地を例にとり、 電気設備の信頼性設計について、特に所内電源回路構成及び事故時の所内電源切換方式を中心に、その概要を次に紹介する。

なお,LNG とは Liquefied Natural Gas すなわち液化天然 ガス の略称であり,天然 ガス を -162° C という超低温で液化したもので, クリーンエネルギー として我が国の燃料転換政策の一翼をになう もの である。

2. LNG 基地の概要

図 1. に LNG 受入基地の受入, 貯蔵, 気化系統の概略を示す。

LNG を輸送してきた LNG 船の配管と受入基地側の配管を, 基地側のアンローディングアームで接続し, 受入れられた LNG は基地の配管を経由し, LNG 貯槽に入り貯蔵される。貯槽は低温状態を保つため, 保冷材が使用されているが, この保冷材中に温度変化により大気中の湿分が入り込むことを防ぎ, また気温, 気圧の変動による内外槽間の ガス 圧力変動吸収のため, 窒素の ブリージングタンク が設けられる。

LNG 受入時に, LNG 船 タンク の圧力変動を防止するため, 基地の リターンガスブロワ で貯槽内で蒸発した低温 ガス を送り返す。 この点は燃料油の受入れの場合と異なるところである。

貯蔵された LNG は LNG ポップにより加圧され、気化器で加熱され気化した後、ガス 送出管を経由し、発電用 ボイラ、都市 ガス 及び化学工業などの需要家に送られる。気化器は超低温の LNG を常温のガス に変える熱交換器で、 海水を熱源とする オープンラック 式 (ORV) と燃焼 ガス を熱源とする サブマージ ドコンパスション 式 (SMV) の 2 通りを使用し、各々 ベースロード 用及び非常用として使用している。

なお、LNG 貯槽では外部からの入熱により、常時わずかずつであるが蒸発 ガスが発生する。このガスをBOG (Boil off Gas) と呼んでいるが、このBOG を処理しLNG 貯槽内圧をコントロールするため、BOG 圧縮機が設けられ、昇圧されたガスは気化器で気化されたガスと同様、需要家に送られる。BOG 圧縮機には遠心式と往復動式が併用され、遠心式はベースロード用として、 往復動式は圧力調整用として使用される。

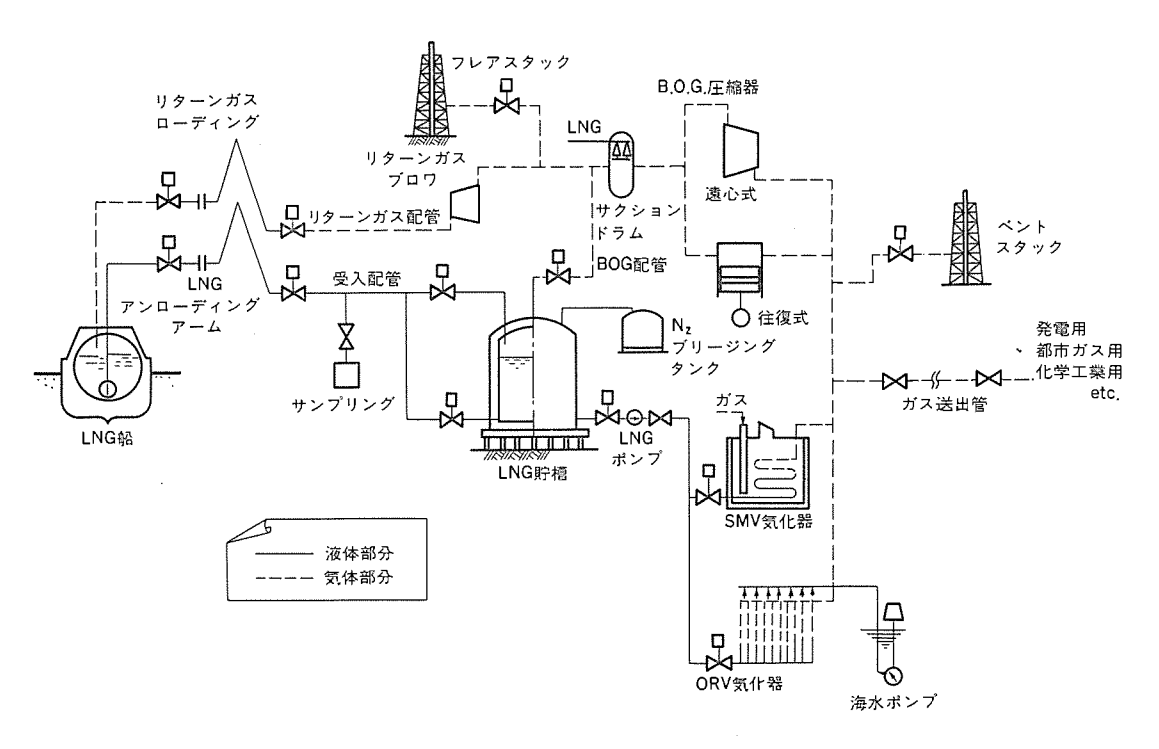


図 1. LNG 受入, 貯蔵, 気化系統概念

LNG 貯槽は BOG 圧縮機により内圧を コントロール されるが、それらのトラブルによる貯槽内圧の異常上昇に備え安全弁が設けられている。しかし低温可燃性 ガス を大気にそのまま放出するのは好ましくないため、燃焼処理し大気放出する設備として フレアスタック が設けられ、また ガス 送出管などの常温 ガス を安全に大気に放出する設備として ベントスタック が設けられる。

また、オープンラック式気化器に熱源としての海水を供給する気化器 海水 ポンプが設けられる。 更に保安、防災設備として ガス 漏えい検 知警報設備,粉末消火設備,散水設備などが設けられる。

上記は一般的な LNG 基地の プロセス を説明したものであるが, これらの所内動力を賄うために設けられる電源設備について, 日本海エル・エヌ・ジー(株) 新潟基地の場合を例にとり, 信頼性設計を中心に 概要を紹介してゆく。当基地は製造 ガス の供給先が, 現在隣接して計画されている東北電力(株) 東新潟火力 3号 109 万 kW コンバインドブラント などの新潟地区火力発電 プラント をはじめとし, 非常に公共性 が高いことから,製造 ガス の安定供給はこの プラント の絶対条件と言える。

特に、ガスた(焚)き火力発電所はその特徴として、燃料受入れ基地からガス送出管を経由し直接燃料の供給を受け、液体及び固体燃料の場合のように発電所側に油タンクや貯炭場といった貯蔵設備を持たないことから、LNG受入基地側のトラブルがすぐさま発電プラントの停止を招く事態となりうる。このため受入基地の諸設備は、発電プラントと同等以上の高度な信頼性が要求される。

また、受入基地の性格上、発電プラントの場合と異なり、定期的に プラントを全停させ、点検、整備作業を行うことが困難なため、電気 設備においてもプラント運転を継続しつつ、部分的に順次点検、整備 が行えるよう配慮する必要がある。

3. 所内電源回路構成

図 2. に所内回路の単線図を示し、以下に概要を説明する。

3.1 特高開閉設備

特高開閉設備は基地の重要性,環境などを考慮し, 信頼性,省 スペース 性,運転・保守の省力化及び耐環境性に優れる 77 kV 全三相一括形開閉設備 (GIS) とした。

受電は東北電力(株)の系統から2回線(常用,予備)を受け,常 用回線事故時には速やかに予備回線側に切換えを行う。また,特高 母線の事故あるいは点検時においても,受入基地が全停とならない ように健全母線単独で,運転継続が可能とした。

3.2 受雷用变圧器

変圧器は,1台が事故あるいは点検時にも ブラントの最大運転である LNG 年間 290万 t の受入に要する所内動力を供給でき, その上将来の ブラント 増設分も考慮に入れたものとし,30 MVA×2台を設置した。

3.3 高圧母線

高圧回路は3母線構成をとり、電源として受電用変圧器2台と非常 用発電機1台を接続する。また、別に冷熱発電機1台を接続するよ う計画している。

そして、1母線が事故あるいは点検中に残りの2母線に2プラントの最大負荷運転が継続できるように各母線間は母線連絡遮断器で連絡可能とした。上記の非常用ディーゼル発電機6,500 kVA は受電回線が2回線とも停電時に、プラントが安全停止できるよう防災、保安電源を供給し、また冷熱発電設備は発生電力にて所内動力の一部を供給できるように計画している。更に、省エネルギーに対する配慮として、力率改善用コンデンサ、3,000 kVA 2 群を設置し、運転負荷の無効電力によりコンデンサ容量を自動選択切換えして変圧器及び電線路

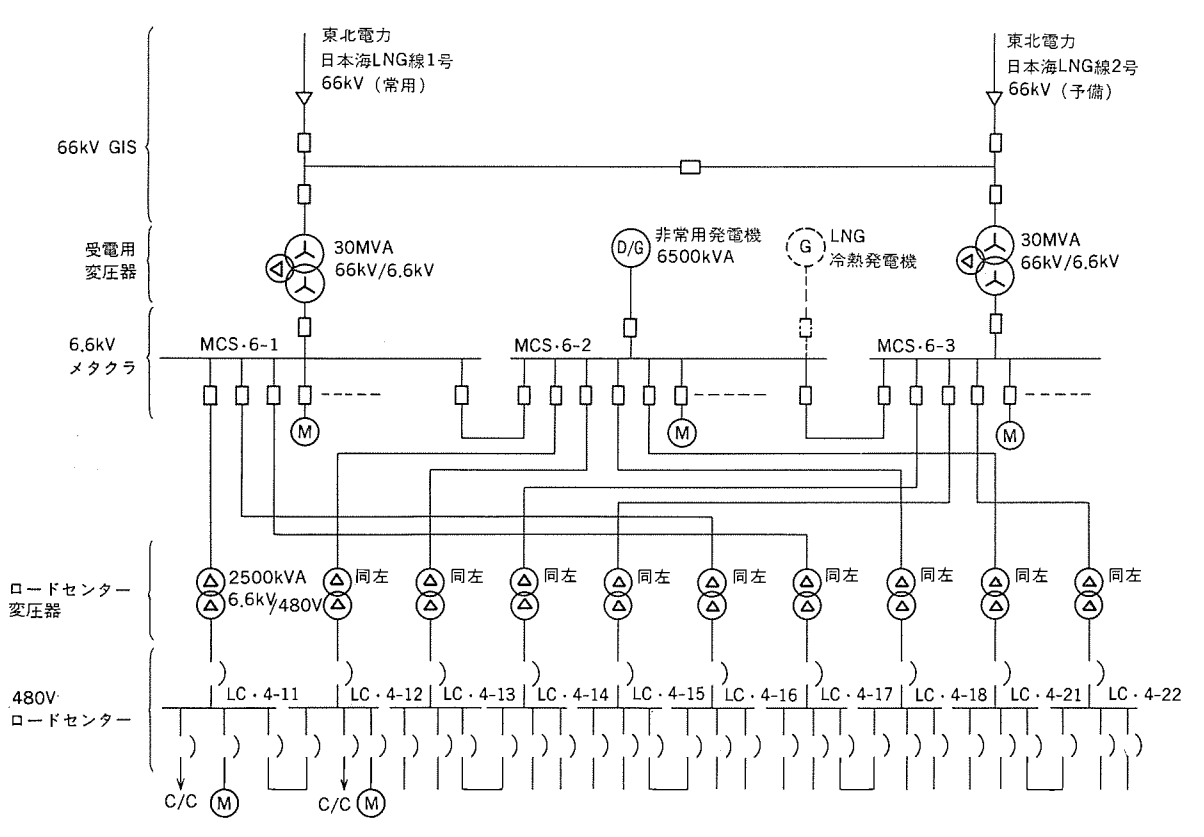


図2. 所内系統構成図

における電力損失の低減を図った。

3.4 高圧補機電動機

主要な高圧電動機は次のとおりである。

台
台
台
台
台
台

以上の電動機を1母線停止時もプラントの最大運転が継続できるよう各母線に分散した。

3.5 高圧メタクラ

2 段積 VCB(真空遮断器)を採用し、 3 群の総面数は 31 面である。

3.6 ロードセンター変圧器

 $2,500 \,\mathrm{kVA} \times 10$ 台を各 $\,\mathrm{n-lit}_{29-l}$ に設置した。受電変圧器と同様, $\,\mathrm{1}$ 台が事故又は点検時にも $\,\mathrm{J_{50}}$ トの継続運転ができるよう $\,\mathrm{n-lit}_{29-l}$ ター $\,\mathrm{2}$ 群ごとに母線連絡遮断器を設け, $\,\mathrm{1}$ 台にて $\,\mathrm{2}$ 群の $\,\mathrm{n-lit}_{29-l}$ の動力を供給できるものとした。そして母線遮断器を介して対となる $\,\mathrm{2}$ 群の $\,\mathrm{n-lit}_{29-l}$ 変圧器の一次側はそれぞれ別の高圧母線に接続し,一つの高圧母線が停電時も $\,\mathrm{n-lit}_{29-l}$ 全群が受電可能とした。

3.7 低圧補機雷動機

主要な低圧電動機は次のとおりである。

低圧 LNG ポップ 217 kW×12 台 中圧 LNG ポップ 243 kW× 6 台 高圧 LNG ポップ 180 kW× 4 台

表 1. 各事故点に対する電源切換方法

事故。	点	切 換 前	切 換 後
送電線	(A)	\$\langle \frac{\delta}{\delta} \delta	Š ^A
66kV G	(B)	B 66kV	8
G I S	(B')	B' 66kV	8.9
受電用	(C)	C 66kV	⊗ c ⊗
変 圧 器	(C')	66kV C' 6,6kV	8 8 c
メタクラ母線	(D)	0.66kV	8 8

(注) -○-: しゃ断器開放状態 -●-: しゃ断器投入状態 リターンガスブロワ 計装用空気圧縮機 160 kW× 2 台

120 kW× 3 台

3.8 ロードセンター

10 群構成で総面数は ACB (気中遮断器) 3 段積で 56 面である。

以上述べたように所内電源設備としては大規模なものであり、各設備の事故時においては必ずプラントの継続運転が可能なように回路構成について十分な配慮が払われている。 表 1. は上記電源系統における各設備において事故が生じた場合に速かに事故点を切り離し、電源切換後に所内動力を給電できることを示したものであるが電源切換方式についても次に述べるような検討を行った。

4. 雷源切換方式

一般に誘導電動機が多数接続された母線の電源が開放されると、その母線には誘導電動機の回転子側の残留磁束の影響で残留電圧があらわれることが知られている。所内電源の切換方式の選定にあたっては、この母線残留電圧の特性に着目し、電源切換時に各機器に与える影響を考慮しなければならない。

(1) 雷動機に対する影響

電源電圧と母線残留電圧のベクトル差電圧が大きい状態で電源が再投入された場合には、電動機に生じる過渡トルクは非常に大きく、最悪の場合は電動機軸端部や固定子コイルエンド部の損傷につながるとともある。

一例として図 3. に 1,450 kW の電動機を 残留電圧が 100% で位相差が 180°の点,すなわち全く逆位相の時点で電源を再投入した場合の電動機発生 トルクと軸 トルクの シミュレーション 結果を示している。 この結果から,電動機の発生 トルクが約 9.0 PU と非常に過酷な条件となっていることがわかる。この LNG 基地の大形電動機は電源再投入時における電源電圧と 母線残留電圧のベクトル 差電圧が 1.6 PU以下であれば頻度の少ない切換えに対し,寿命に大きな影響を受けないとしている。

(2) 変圧器に対する影響

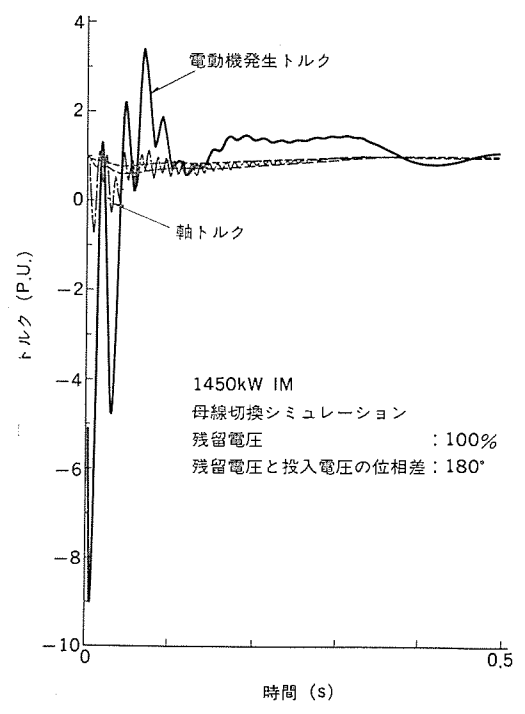


図 3. 母線切換時の過渡 トルク

表 2. 所内母線の電源切換方式

ÐJ	換 方 式	報	明
降用	四方の電源側遮断器トリップの条件で他の電源側遮断 投入する方式 で足電圧リレー 切換時の母線残留電圧の大きさが一定値に低下したと		条件で他の電源側遮断器を
停置	不足電圧リレー 方式	切換時の母線残留電圧の大きさ: 電圧リレーで検出し切換える方	
切換	限時リレー方式	切換時における残留電圧が一定 レーを整定し切換える方式	値以下になる時間に限時リ
方式	位相検出方式	電源電圧と残留電圧の位相差が 入するように位相差を検出し切	70.10,20.10

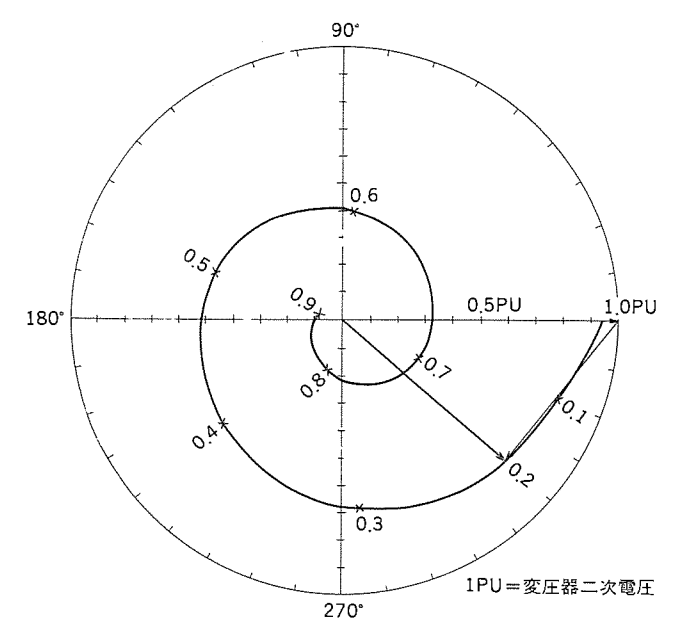


図 4. 火力発電所での 6kV 母線残留電圧

電源再投入時に差電圧が大きい場合は、電源から流れ込む インラッシュ電流が大きくなり、特にこのインラッシュ電流の変圧器に及ぼす影響が問題となる。この設備の場合、定格電流の3倍のインラッシュ電流が年に数回程度流れることは寿命に大きな影響を受けないとしている。

(3) 電圧降下の影響

上記のような インラッシュ 電流により, 所内母線の電圧の降下の影響 も考慮しておく必要がある。これらの制約条件をふまえ, 表 2. に示す瞬時停電切換方式か停電切換方式を選択することになる。

瞬時停電切換方式は,最も短時間に切換える方式で一方の電源側遮断器トリップの条件で瞬時に他の健全電源側遮断器を投入するもので,所内高圧系統の遮断器(VCB,GCB,MBB)の場合では定格遮断時間が 3~5 Hz,定格投入時間が 0.1 s(高速度投入遮断器の場合)程度であり,切換えに約 0.2 s 程度の時間を要することになる。これに対し停電切換方式 は 再投入時に電動機に生じる過渡 トルクを抑えるために,残留電圧が一定値以下になってから切換えるもので,その具体的方式として表 2. に示す 3 種類があげられる。 停電切換方式においては一般的 に 再投入時の インラッシュ 電流が大きくなるので,切換時に所内補機の選択停止が行われる。

図 4. は火力発電 プラント での所内高圧回路における電源開放時の 母線残留電圧実測 データの一例であり、電源電圧のベクトルを 1.0 PU とし、母線残留電圧の絶対値と位相を電源開放後の時間変化に対し 円 グラフ 上に プロットしたものである。 これによれば、電源開放後、 次第に母線電圧の絶対値は減少し、位相も徐々に遅れながら渦巻状 の軌跡をつくる。

火力発電 プラントの場合は、既設 プラントの所内系統の母線残留電圧の実測 データ が多数集積されており、それによると、瞬時停電切換えに要する切換時間 (約0.2 s) において位相差は一般的に多くとも 60°程度であり (図 4. の例では約40°)、電源再投入時の各機器に対する影響が問題ない範囲となることから、瞬時停電切換方式が採用される場合が多い。しかし、前述のように LNG 基地の給電対象補機には GD² の大きな大容量の通風機が少なく、ポンプ類の補機が大多数を占めるという点では火力発電プラントの場合と大きく異なっており、残留電圧の減衰速度及び位相変化速度が異なることが想定され、瞬時切換えが採れるか否かについては別途検討の必要がある。

検討の結果、停電切換えを行わざるを得ない場合には、切換時に必要な停電時間を求め、受入基地プロセスに対する影響及び需要家に対する影響を検討しなければならない。よって、電源切換方式の選定にあたり、切換時の電気的な過渡現象を定量的に把握するため シェュレーション 計算を実施した。

5. 電源切換シミュレーション

5.1 シミュレーションプログラム

シミュレーション 計算に使用した プログラムは、 三菱電機(株)の「誘導電

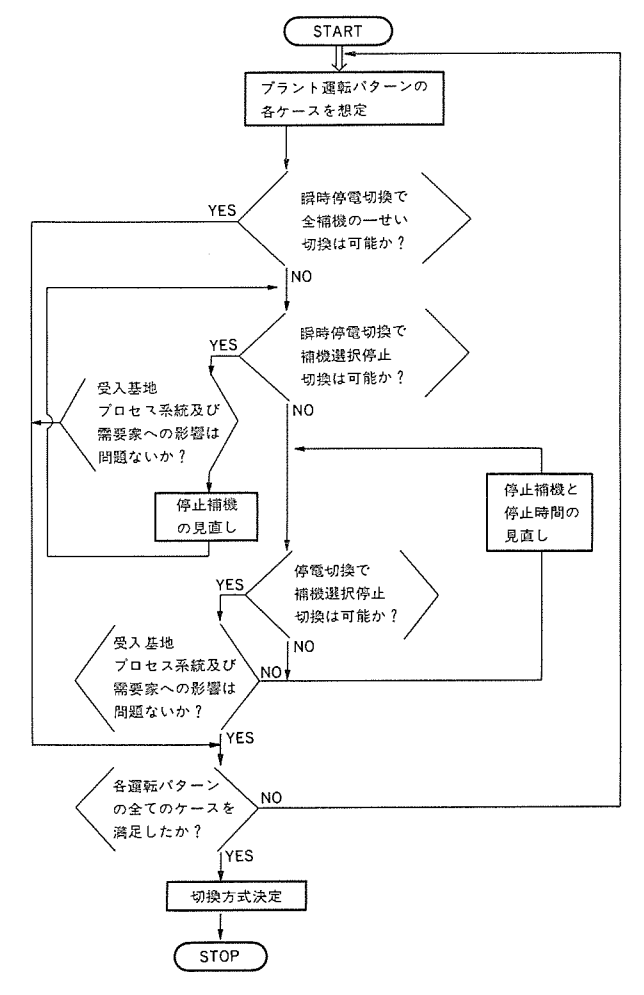


図 5. 電源切換方式選定の フローチャート

動機を含む系統の安定度計算プログラム」で、所要データとして系統の各インピーダンス、誘導電動機の諸定数(定格容量、 拘束 リアクタンス、 励磁 リアクタンス、 回転子開路時定数)、 電動機及び負荷の慣性定数、 負荷 トルク の特性定数、 事故条件及び切換条件などを入力し、 誘導電動機を含む系統の動的な現象を シミュレーション できるものである。5.2 シミュレーション計算内容と結果

将来の プラント 増設分をも考慮に入れ、図 5. に示す手順で各種運転 パターン 及び事故時電源切換の各 f-A について計算を繰返 し 実施した。

図 6. に計算結果の一例として、LNG最大量受入れ時において送電線の事故により電源が開放された場合の母線残留電圧の軌跡を示す。図 6. の計算結果を前述の図 4. に示す火力 プラントの例と比較すると、残留電圧の絶対値の減衰は若干遅くなっているが、位相の変化は非常に速くなっている。これは他のケースのシミュレーション計算結果についても同様であり、LNG基地の場合は残留電圧の位相変化速度は、火力発電プラントとは大きく異なることが明らかとなった。

6. LNG 基地における所内電源切換方式

(1) 瞬時停電切換方式

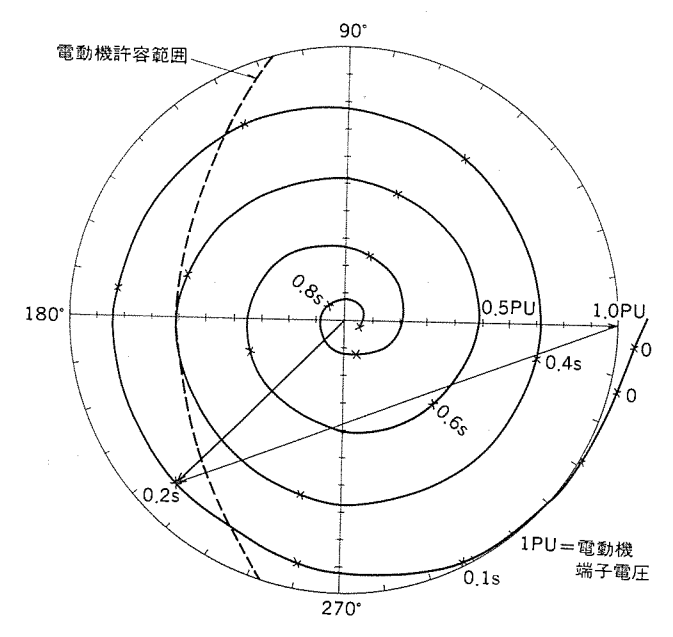


図 6. LNG 基地の 6 kV 母線 残留雷圧

図 6. の例でも瞬時停電切換時間約 0.2 s 後には 135° の位相差となっている。 これは、電動機の許容差電圧値 1.6 PU を越えることになりこの方式の採用は難かしい。

(2) 位相検出方式

残留電圧の位相変化は,各 シミュレーションケース とも非常に速いので,位相 リレー の動作時間(約 40 ms)と遮断器の動作時間を考慮すると,電動機の許容電圧範囲内に タイミング よく電源を再投入することは極めて困難であり,この方式は採用できない。

(3) 不足電圧 リレー方式

電動機の許容電圧範囲内での電源投入は可能であり, この方式は採用できるが切換回路が限時 リレー 方式に比べやや複雑となる。

(4) 限時 リレー 方式

シミュレーション 計算によりすべての事故 ケース に対し、母線残留電圧の減衰特性を定量的に把握することができたため、この方式の採用は可能となり、また切換回路構成も比較的簡素である。

以上から,この プラントでは限時 リレー 方式を採用することとした。 切換時間については電動機の許容電圧内とする,すなわち残留電圧 と電源電圧とが逆位相時でも 1.6 PU を下回るように残留電圧 の 絶 対値がいかなる場合においても 0.6 PU 以下となる時間を シミュレーション 計算結果に基づき選定した。

また、電源再投入時の インラッシュ 電流を変圧器の制限内に抑え、かつその インラッシュ 電流による所内母線の電圧降下が、 許容範囲となるよう電源切換時に プラントの継続運転に比較的影響の少ない一部の補機を停止し、電源再投入時に再起動する補機の総合容量の低減を図った。そして、停止した補機は電源切換後に順次再投入させるようにした。

以上の切換方式の採用にあたっては、LNG 受入基地のプロセスの 系統及び需要家への影響をも十分に検討を重ねた。

7. む す び

以上,LNG 受入基地の信頼性設計について,特に所内電源回路構成上の留意点と電源切換方式の選定にあたっての検討事項を中心に述べた。今後,更に大規模な燃料受入基地が各地に計画されてゆくものと考えるが,顧客及び関係各社の要望にこたえるべく一層の努力を図る所存である。

なお,本稿をまとめるに当たり,御指導,御協力をいただいた関係者各位に深く感謝の意を表する次第である。

新日本製鐵㈱八幡製鐵所納め新熱延設備用電機品

小 藪 俊 昭*・小笠原昭宣*・三 原 誠*・志 田 邦 明*・川 崎 宗 男**・今 道 周 男***

1. まえがき

新日本製鐵(株)八幡製鐵所納め新熱間圧延設備用電機品は,1980年春の計画開始から1982年春の営業運転開始まで,その高度なエンジニアリング内容を消化して,短期間の建設をなしとげ,以後,順調に稼働している。この設備は,新日本製鐵(株)におけるホットストリップミル技術の集大成として建設されたものであり,工程合理化,省エネルギーなどのための,新操業技術の大幅採用と省力化,製品高品質化のための制御機能の飛躍的な高度化が図られている。このため、この電機設備も駆動系,制御監視システムのあらゆる面について,従来に比べ革新的変化を遂げており,名実とも世界最新鋭のHot StripMill 設備と称すべきものである。

以下,新熱延設備電機品における主駆動設備,制御監視 システム について,その構成,特長などを紹介する。

2. 電機設備の特長

省 エネルギー, 省 メンテナンス, 高信頼性を メインテーマ とした新熱延設備 電機品を,主機駆動設備(電動機,電力変換装置)を中心に紹介す る。

2.1 主電動機

――省 エネルギー――

- (1) 全損失中,電機子銅損の占める割合が非常に大きいこと。
- (2) 負荷 パターン を考慮すると、負荷頻度の高い過負荷領域での効率向上が、省 エネルギー に対し非常に有効であること。
- の2点に着目し、電気装荷と電流密度を低く抑えることによる銅損

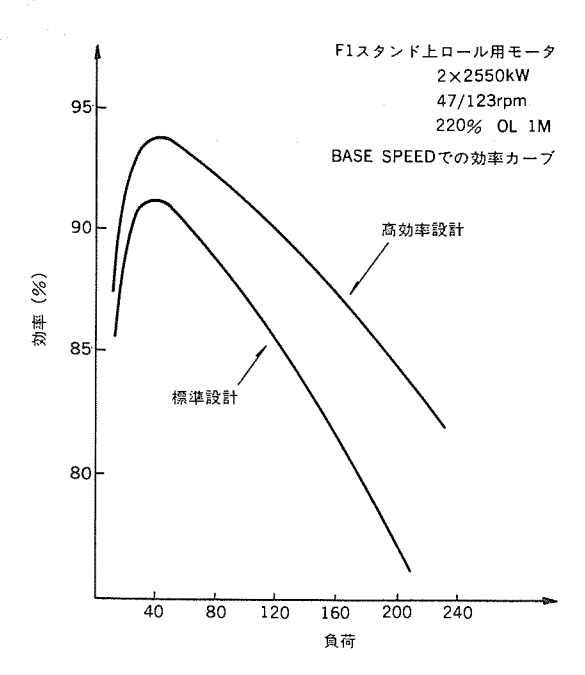


図 1. F1 スタンド上 ロールモータ 効率曲線 (定格に対する%)

の低減化を中心とした高効率化を図った。 一例 として、図 1. に F1 スタンド の場合の高効率設計, 標準設計の効率比較を示す。 高効率設計の場合, 標準設計に比べ基底速度で, 100% 負荷の場合, 約 4.0%, 220% 過負荷の場合, 約 7.3% の効率向上を実現した。

――省 メンテナンスーー

従来,直流機の保守は習熟を要したが,この設備では保守を容易にするために,軸 トルク監視装置,温度監視装置(電機子温度),ブラシ 摩耗検出装置,スラスト荷重/変位検出装置を新規開発し納入した。 従来の整流火花監視装置も含め,これらセンサ信号の計算機処理による設備自動診断,監視を行い,省メンテナンスを図っている。

------高信頼性------

(1)ねじ(振)り振動, トルク 増幅, 応力解析, (2)整流解析, (3) 熱等価回路及び風速分布計算, などの各種解析技術に基づいた最適設計及び, (1)真空加圧含浸, (2) H種 プリプレグ 絶縁, (3) 裸導電部静電粉体塗装, などの新絶縁技術の採用により, 高効率化の実現とともに主電動機の小形軽量化, 高信頼性化を実現した。

2.2 主機サイリスタ

---省 エネルギー, 省 メンテナンスーーー

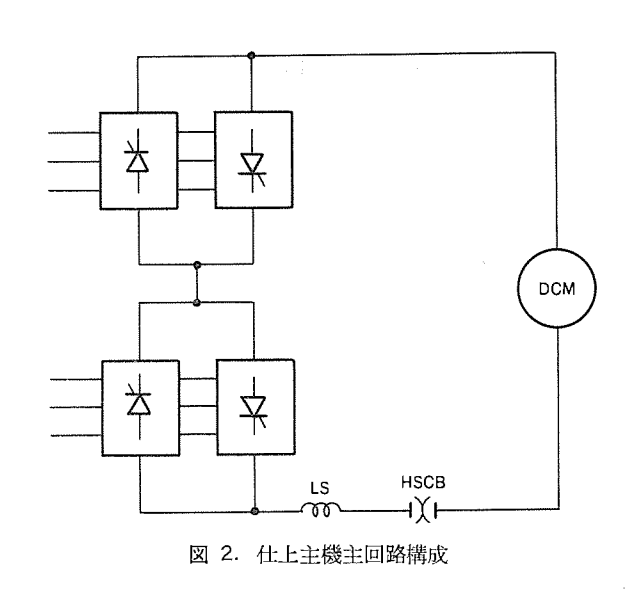
(1) フロン 沸騰冷却の採用

サイリスタ素子冷却方式として、フロン 沸騰冷却方式を採用した。この方式は風冷方式に比べて、冷却効率が高いこと、電気室設置が可能(従来は空調を必要とした)なこと、また水冷方式に比べて構造が簡略であることなどの特長を有し、省 エネルギー、 省資源、省 メンテナンス に寄与している。

(2) 主回路構成の簡素化

従来,信頼性の面から, $ext{truz}$ 9 は 1S で製作していたが,直列化技術の進歩により, この $ext{constant}$ 9 では図 2. に示すように 2 台の $ext{truz}$ 9 を直列に接続する方式を採用した。

この方式では、HSCB、平滑 リアクトル が1台ですみ、かつ2台の



サイリスタ を組合せ 12 相とすることにより、高調波電流が抑制されたなど、省 $14 \mu = 1$ 省 スペース が図れた。更に新制御回路の開発により、限流 $1 \mu = 1$ を省略したこともあわせ主回路構成は大幅に簡素化された。

-----高信頼性----

シリコンウェー Λ 85 ϕ の大容量素子 (2,500 V, 2,400 A) の採用により、 サイリスタ 素子及びその周辺部品が大幅に減少し信頼性が向上した。

以上,主機駆動設備の省 π により,省電力量だけでも年間約 15 GW・h の低減を実現した。

2.3 主機駆動設備以外の電機品

以上のほかに.

- (1)ホットランテーブル (511 台) の交流可変速化による省 メンテナンス,
- (2)電気室押込 ファン の交流可変速化及び トラッキングセンサ の パージレス 化 (従来はパージ 用ェア を必要としていた) などによる省ェネルギー,
- (3)主機駆動設備(トランス,サイリスタ,電動機)を スケルトン 状に配置する スケルトンレイアウト による電気室 スペース などの有効利用, 工事費の削減などが特記される。

3. 制御システム

3.1 制御システム構成

今回の設備は、1980 年代をリードする最新鋭のホットストリップミルとして、ハードウェア的にもソフトウェア的にも最新の制御システムを適用し、またシステム構成上も、ハイアラー+ 形の分散形制御システムを有機的に結合した最適システムを構築した。 図 3.,表 1. に全体のシステム構

成を示し、主な特長を以下に紹介する。

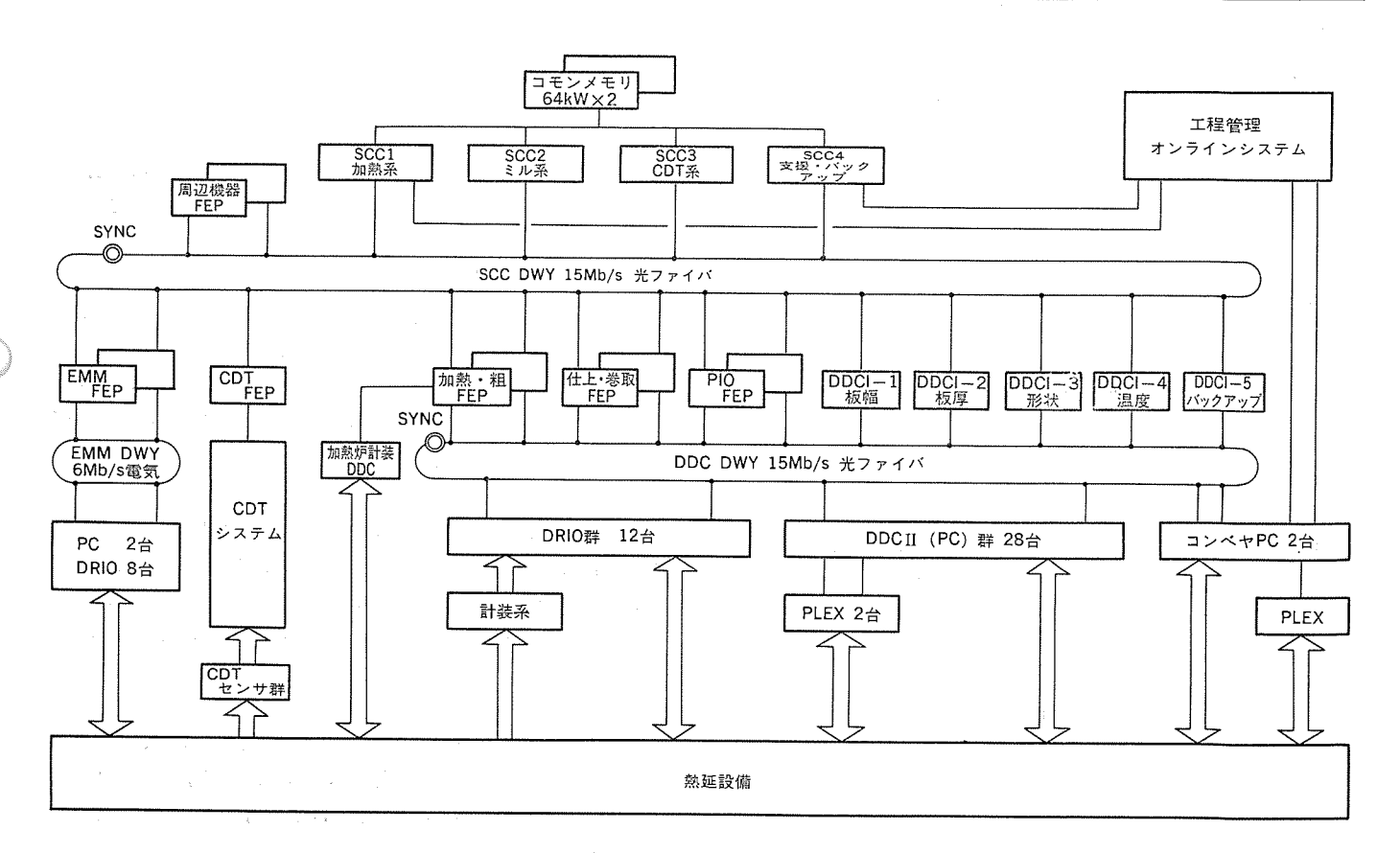
(1) SCC の分散形 システム

最近のホットストリップミル においては、SCC (Supervisory Control Computer) の制御機能は大規模、高級かつ複雑化の一途をたどっているが、今回の設備ではこの傾向が一段と顕著である。このため、処理速度の高速化の要求と相まって SCC の分散化 は必す(須)である。

今回の設備においては、PIO の入出力処理、実績 f-g の採取と加工、及び CRT、g1f-1g などの末端処理は FEP (Front End Processor) に任せることにより、SCC と FEP との機能分散化を図った。更に SCC 総括機能は、加熱系、s-1 系などの負荷分散化により、負荷分担を図るとともに、SCC 間情報交換量が s-7 となる分散方式とした。

表 1. 制御 システム 構成機器

分	類	椶	稙	台	数
SCC		MELCOM 350)-50, A 2500	4 #	
FEP		MELCOM 350)-50, A 2100	11 #	is a
SCC デー	タウェイ	MDWS-30, 15	Mb/s 光ファイバ	1-6:	γŀ
DDC I		MELCOM 350	9-50, A 2500	5 f	â
DDC II	(PC)	MELPLAC-55	0	32 ∉	à
リモート]	PIO	**************************************		36 €	ii ii
DDC デー	-タウェイ	MDWS-500, 1.	5 Mb/s 光ファイバ	l-te;	» ト
EMM デ	ータウェイ	MDWS-500, 6	Mb/s 電気	1 +2 ;	y



DWY : データウェイ

SYNC: データウェイ中央同期装置 SCC : Supervisory Control Computer

FEP : Front End Processor EMM : 電機監視系統 CDT : 設備診断系統 PC : Plant Controller DRIO : リモート PIO

PLEX: (MELPLEX)

図 3. 制 御 システム 構 成

(2) DDC 構成の特長

DDC システムとして、高級、大規模かつ複雑な演算機能を含む製品品質向上のための制御機能(例えば仕上圧延機群における形状制御)に対しては、DDC I 《MELCOM 350-50、A 2500》を適用し、機能の不必要な分割化を抑制した。一方基本的な制御機能(例えば仕上圧延機群の速度主幹制御)に対しては DDC II (Plant Controller: PC)《MELPLAC-550》を適用することにより、機能の分散化と高速処理を指向した。このように、制御機能の規模、複雑度及び設備としての最低限度の必要度に応じて DDC を 2レベルに分け、最適な DDC システム を構成した。

なお,《MELPLAC-550》は, 三菱電機(株)の従来機種《MEL-PLAC-50》の豊富な実績を踏まえて,更に機能の充実と高速化を実現したもので,その主特長を図 4・に示す。

(3) 高速 データウェイ の適用

分散形システムにおいては大容量の情報伝送系が不可欠であり、耐ノイズ性及び情報伝送性に優れた光データウェイを適用した。 更に SCC間の情報伝送系には、多量データ 一括伝送が容易な SCC 系データウェイ《MDWS-30 S》を適用し、DDC間の情報伝送系には、データの高速伝送を主目的とする DDC 系データウェイ《MDWS-500》を適用し、情報伝送の形態に応じたデータウェイの最適化と、スタートアップ、保守の容易性を図った。

特に《MDWS-500》は,多量の制御情報を高速に伝送すると同時に,少量のデータは超高速にて伝送可能であり,油圧圧下 AGC などの高速応答が必要なものにも適用した。 その主特長を表 2. に示す。

(4) リモート PIO の適用

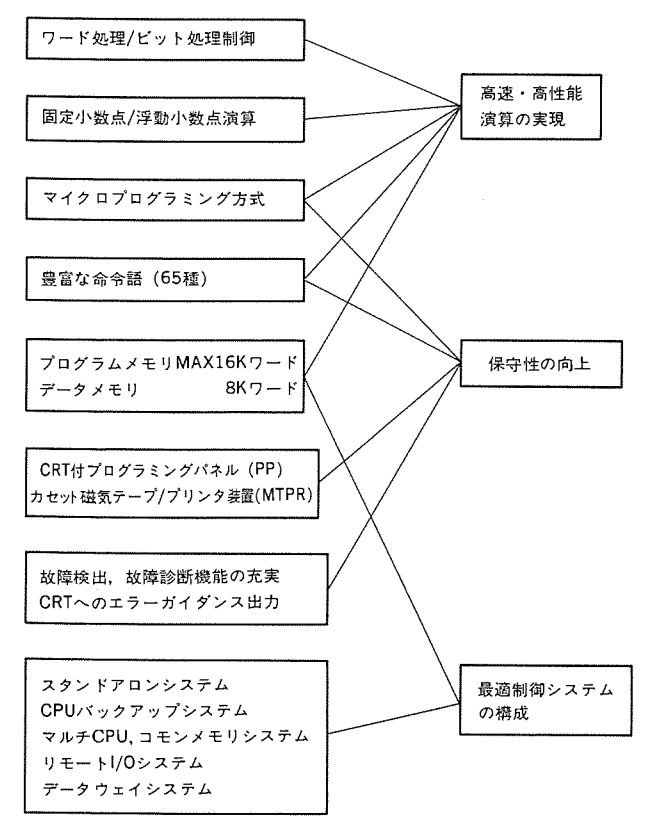


図 4. 《MELPLAC-550》の主な特長

表 2. 《MDWS-500》の主な特長

ステーシ	· • ·	数	MAX 127 台	
ステーショ	ン問題	 巨離	MAX 2km (バイバス時 4km	m)
総 延			MAX 256 km	
	方	式	N: N 通信	サイクリック通信
通信形態	用	途	各 CPU 間	CPU↔リモート PIO 間 CPU↔CPU 間
	容	盘	MAX 512 ワード/プロック	MAX 2K 7-F
伝 送	速	度	15.36 Mb/s	
伝 送	<u> </u>	路	光ファイバケーブル	
伝 送 路	梅	成	リープ状	
多重化	方	式	時分割チャネル多重化方式	
誤り	制	御	CRC 検定による再送/2連送	,反転照合
バイバ	ス機	Æ	自動,リモート,手動	
診断	機	能	各ステーションにおける自己器 中央同期装置による集中診断	多断

表 3. リモート PIO の適用による PIO 点数の節減

	直 結 PIO	CPUごとの リモートPIO	リモート PIO	PIO の節減率
SCC	0	28		
DDC I	0	45	100	
DDC II	72	88		
合 計	72	161	100	26%

注 リモート PIO を 100 としたときの比率を示す。

たSCC, DDC の分散化に伴い、 各 CPU が共用する プロセス 信号量も加速的に増大している。

また、加熱炉入側搬送 $_{7}$ ーブル や $_{1}$ フィルコンペヤ 設備においては、少量の $_{1}$ つセス 信号が広地域に散在しており、 またその $_{1}$ つセス 信号は $_{1}$ 0ーカル CPU 専用の信号であるため、《MELPLAC-550》に対する専用 $_{1}$ 1年 $_{1}$ 1~0 として《MELPLEX-510》を適用し、 $_{1}$ 7・ブル 長の節滅による $_{1}$ 3ストパフォーマンス の向上を図った。

(5) バックアップシステム の特長

制御システムは、いずれも非常に高度な信頼性を有したもので構成しており、トータルシステムとしての信頼性も非常に高いものとしているが、更に製鉄所内の熱延設備としての重要性及び熱延設備内の制御装置としての重要度とコストパフォーマンスとに鑑み、バックアップシステムを次のとおり構成した。

----SCC システム----

最近の熱延設備においては、制御機能が高級かつ複雑で、下位制御システムに対する設定項目も膨大なものとなっており、SCC無しでの正常操業は有り得ないものとなっているため、全 SCC に対し1台の バックアップ を設け、N:1 の バックアップ 構成とした。なお、バックアップ 機は通常は支援機能を実行して お り、 バックアップ 時にはその支援機能を縮退して バックアップ を行わせることに よ り、 コストパフォーマンスの向上を図った。

また FEP に関しては、 その設置場所が計算機室、粗運転室、仕

DDC I は製品の品質制御をつかさどる機能を有し、今日の省エネルギー、高品質指向の時代においては不可欠なものとなっており、全DDC I に対し 1 台の $\mathring{\mathsf{N}}_{99799}$ ずでです。 を設け、N:1 の $\mathring{\mathsf{N}}_{99799}$ でです。 なお $\mathring{\mathsf{N}}_{99799}$ でである ひとなっており、全した。なお $\mathring{\mathsf{N}}_{99799}$ でである ひとなっており、全した。なお $\mathring{\mathsf{N}}_{99799}$ である $\mathring{\mathsf{N}}_{199799}$ である $\mathring{\mathsf{N}}_{19999}$ などに寄与させている。

----データウェイシステム----

データウェイ は、すべての制御 システム 及び プロセス 入出力を一元的に結合するものであり、その システムダウン は、 すなわち全体 システムダウン であり、非常に重要度が高い。とのため中央同期装置は完全に二重化し、制御 システム に対しては一切影響を与えない ショックレス 切換方式とした。更に光 ファイバケーブルにも、予備心線を設け(光 コネクタ付き)、短時間での接続替えを可能とした。

---DDC II, JE-1 PIO DATA---

下位の制御システムにおいては、装置台数が多いこと、装置が地域的に分散していること、及び故障の波及範囲が局所的であるため、コストパフォーマンスの観点よりシングル構成としているが、 各装置として非常に高信頼性なものを適用しており、下位トータルシステムとしての稼働率も99.9%以上を十分確保している。

3.2 マンマシンインタフェース

今回の設備においては、完全自動運転を前提として徹底的な合理化を図り、各工程別運転室においてはすべてワンマン操作を前提とした設計を行った。ととでは操業上のマンマシンインタフェースについて、基本的な考え方と特長を以下に紹介する。

(1) 設定操作の集約化

操業 モードとして,(a)自動 モード,(b)半自動 モード,(c)手動 モード,の3種類を基本としたが, すべての設定操作は $CRT \cdot + -\pi - F$ に集約し,従来の ディジスイッチ などによる設定は一掃して,操作性を向上させた(図 5.)。

(2) 操作・表示機能の集約化

設備及び制御機能の高級化かつ複雑化に伴う操作・監視項目の増大 とともに、操作員のワンマン化に伴い、操作員の操作・監視項目は膨

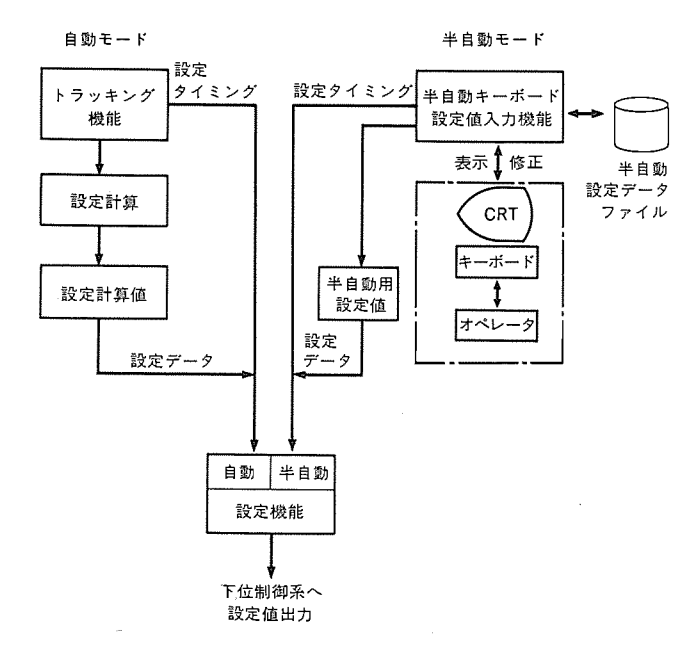


図 5. 設 定 機 能

大なものとなっており、従来の操作・表示方法では操作員の能力限 界を越えることは必至であるため、CRTの高度利用と操作器具の 集約化により操作員の負担軽減と操作の容易さを図り、ワンマン操作 を実現した。

- (a) LED 表示器,アナログメータ による表示は,最小必要限なものに厳選し,大半の表示を CRT に集約することにより監視性を向上した。
- (b) 主要設備のインタロック状態を CRT に表示し、監視機能を充実するとともに、異常時の故障箇所の発見を容易にした。
- (c) ポイスアナンシェータシステム (VAS) の適用により、監視用 ランプ類の大幅な削減と監視性の向上を実現した。
- (d) ロール組替えのステップ表示、シーケンス表示、インタロック表示を CRT に集約して自動組替えの進行状態の監視性を向上し、また不具合発生時の異常箇所の発見を極めて容易にした。更に CRT のステップ表示は手動組替時においても機能するものとし、複雑な手順が必要な組替操作の ガイダンス 機能を強化し、また操作器具類は全自動組替えを前提とし、 CRT の高度利用と併せて思い 切った簡素化を図った。これらの配慮により、運転室からの安定した組替全自動運転が実現され、操業率向上に寄与している。
- (e) その他トラッキング状態のグラフィック CRT 表示など CRT の高度利用,及び自動運転の信頼性向上に伴う操作機器類の集約化と削減により,操作盤をコンパクトなものとし,オペレータの負担を軽減している。

3.3 コールドランシミュレータの活用(特許申請中)

特に今回の設備においては、制御システムが大規模かつ有機的に結合していると同時に、短期間での立上が調整が要望され、効率的な調整武器の一つとしてコールドランシミュレータを最大限に活用した。 三菱電機(株)のコールドランシミュレータは既に韓国 POSCO No. 2 ホットにおいてその効果を実証済みであるが、更に機能の充実を図り、工場内組合せ試験時より現地総合試運転に至るまで、すべての調整段階において効率的に活用可能な機能を具備し、短期間の調整工程の達成とともに、ホットラン 1本目よりの計算機自動運転を実現した。

また営業運転開始以降も、定修明けやトラブル復旧後は必ずコールドランシミュレータによる機能確認が実施され、もはや操業形態の一つとして不可欠なものとなっている。コールドランシミュレータの主な特長を表 4. に示す。

4. 電気設備監視,サポートシステム

前項までに述べたように、このプラントの制御システムは非常に複雑、

表 4. コールドランシミュレータ の主な特長

適	用	形	態	現地機置総 (機械/DD現地総合試 (機械/DD営業運転開	sせ,SCC/DDC 組合せ) 合試運転 OC 組合せ)
2, 3			圧 延 スケジュール	・固定スケジュール方式 ・フリースケジュール方式	
シミュレーション方式	スラブ移動	・固定バターン方式 ・ミルテープル追従方式			
シミ	ュレ	ション	範囲	・全設備一貫 ・工程別個別	••••

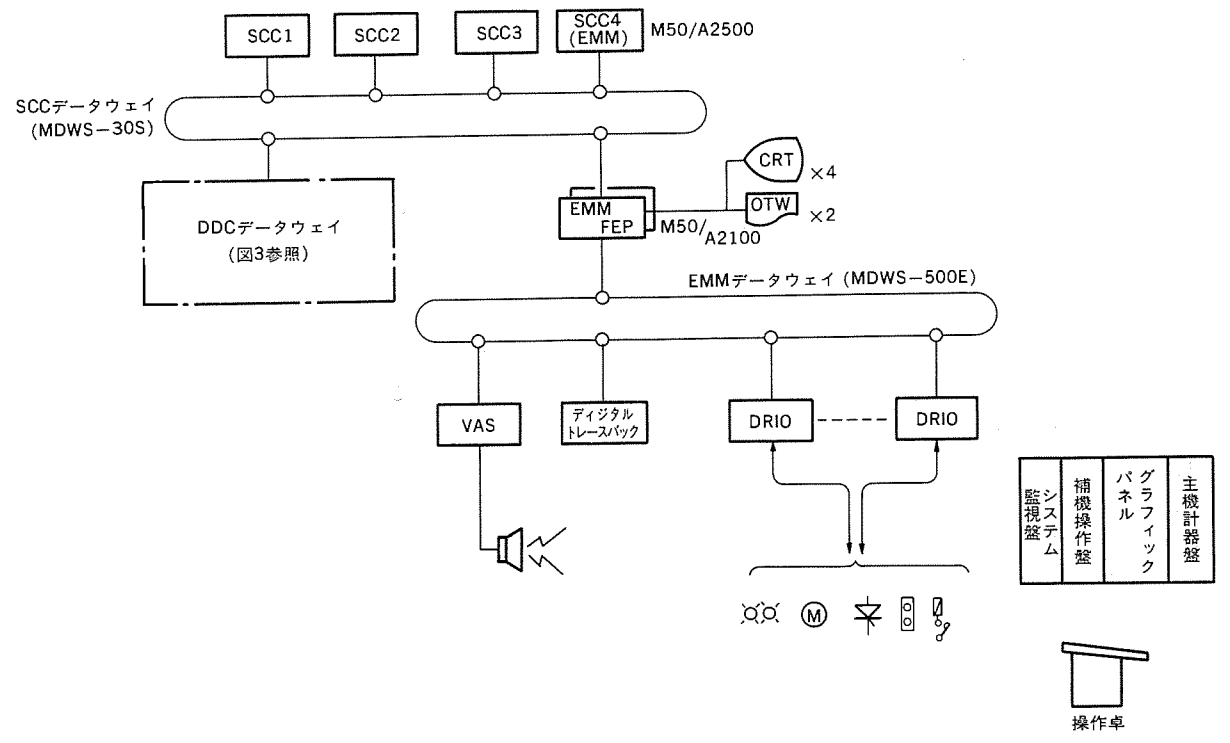


図 6. EMM システム 構成 図

高度で、かつ相互に密接に関連したものとなっている。 このため、一部の機器の変調もその上位及び下位工程に 与える操業上の影響は非常に大きく、システムの信頼性の 維持が必要不可欠となっている。更には、この変調に対 しても高度な判断と処置が必要であり、保全要員のレベ ルアップとこれに対する適確な情報サービスが要求されてい る。

この プラントの設備監視機能としては、特に、

- (1)設備の信頼性維持の容易化
- (2)設備の故障復旧時間の短縮
- (3)予知保全
- (4)保守要員への情報 サービス

などに重点をおき、また システム 構成としては、

- (1)ハードウェァ の コンパクト化 (2)監視設備の集中化
- (3)ルーチンワーク の機械化
- (2)監視設備の集中化 (4)情報の機動化などに重点をおいて設計を行った。 また通常の EMM 機能 (Elect-

などに重点をおいて設計を行った。 また通常の EMM 機能 (Electrical Maintenance Monitor) に加え、制御 システム の RAS 機能 (Reliability Availability and Serviceability) をも充実させている。以下、順を追って説明する。

4.1 EMM システム構成

更に、通常の監視機能は CRT 及び タイプライタ にて行い、 最重要な電源系統監視及び制御系監視のみ ハードウェア にて実現して いる。

4.2 監視機能

設備の異常及び故障を検知した場合,その発生時刻,内容,機器名称などを CRT 表示及び タイプライタ に印字記録するとともに, VAS

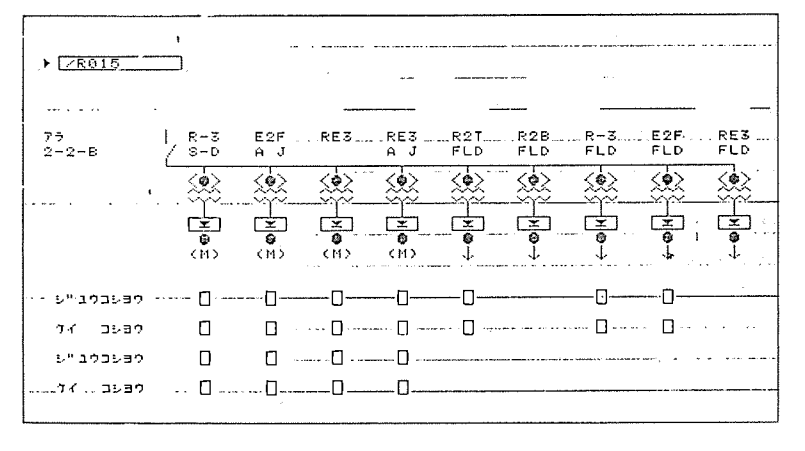


図 7. CRT による スケルトン 表示例

による ライン 全体へ音声警報を行っている。

(1) 監視対象

- (a) 66 kV 系, 11 kV 系, 3 kV 系, 440 V 系の受配電機器
- (b) 主機駆動機器 (レオナード, モータ)
- (c) 主機冷却·潤滑設備機器
- (d) 主機立上げ条件
- (e) DC 補機駆動機器 (レオナード, モータ)
- (f) AC 補機駆動機器
- (g) その他(機械設備,空調機,排水ポップなど)である。

(2) 機能

このシステムの処理機能は次のとおりである。

(a) 各設備の故障記録及び表示

故障信号により故障発生時刻、機器名称、内容を印字記録し、 CRT表示及び VAS による音声警報を行う。

(b) 機器操作

3kV 高圧盤の開閉操作及び表示を計算機により行う。CRT への MELPLAC》への IPL 機能、《MELPLAC》からの逆 ロード機能、 表示例を図 7. に示す。

(c) 温度監視·警報

主機 モータ 温度の上限 チェック 及び電流による予測警報を行う。

(d) 主機の RMS 監視・警報

主機 モータ 電流の RMS 計算及び上限 チェック 警報を行う。

(e) ディジタルトレースバック 機能

主機 レオナード の故障究明を容易にするため、故障前後の信号変化 を メモリ し計算機にて処理する。

(f) 主機立上げ条件表示

定修後の主機の立上げを容易にするため、付帯補機の状態及び遮 断器の投入条件の成立状態を CRT に シンボル 表示し、作業の迅速 化を可能とする。

(g) 主機故障究明 ガイダンス

主機レオナードの故障究明を容易にするため、質問選択肢方式でガ イドを行う。

(h) 日報・月報の作成

4. 3 RAS 機能とサポートシステム

システム の信頼性の向上,MTTR 短縮・保守性の向上及び システム の 変更・拡張性を向上させるため、次の機能が用意されている。

(1) オンラインアンサバック 診断

制御系 (SCC, FEP, データウェイ, 《MELPLAC》) の状態を オンライン で診断し、状態の表示及び異常の集計・記録を行う。

(2) 《MELPLAC》 プログラム の一元管理

30数台の《MELPLAC》の プログラム を SCC により一元的に管理し、

カセット MT ユーティリティ 及び ソースイメージ への逆 コンパイル 機能などを有 している。

(3) 《MELPLAC》 シーケンスモニタ

《MELPLAC》のシーケンスを総監室 CRT により モニタ する機能で, シーケンス を シンボル 表示し、 オンライン 状態での シーケンス 制御の動作状 況を監視することができる。

4.4 階層システム

この システム を構成する ハードウェア に対して、その担当機能を十分に 考慮した階層 システム を構成している。すなわち、必要不可欠の機能 は ハードウェア, 通常機能は FEP, 更に サービス 機能は SCC という階 層化された機能分担を行うことにより信頼性の向上を図っている。

5. む す び

新日本製鐵(株)八幡製鐵所納め新熱延設備用電機品について、その 設備, システム 構成上の特長の概要を紹介した。

今後の鉄鋼圧延設備においては、工程合理化、省エネルギー、製品 高品質化など、設備設計思想の継続的変化が続く一方、今後の技術 革新、特に電子化、光通信関係技術の急速な展開に伴い、各設備機 くものと考えられるが、今回の新熱延設備での実績を糧としつつ今 後とも,世の動向に注目し,新技術の開拓,実現に努力を傾注する 所存である。

最後に、新熱延設備の設計、施工、調整に際し貴重な御指導、御 助言を賜った関係者各位に深く感謝申し上げる次第である。

三宮静悦*・白石 彊**・植木勝也**・高嶋和夫***・田中 実***

1. まえがき

製鉄所の ホットストリップミル (以下, ホットミル と称す) において, 粗 ミ ル で圧延された粗 パー (鋼板) の先・後端には, 凹形・凸形などの 異形状部分が発生する。 この先・後端 (クロップ) を, 仕上げ ミル 入り側において, 仕上げ ミル への通板性の確保, コイラへの巻き付け性の確保, 幅不足部の除去などの理由から切断機 (クロップシャ) で切断している。

この クロップロス は、ホットミル 歩留り ロス の内で、 スケールロス に次ぐ大きな ロス 要因となっており、 異形状部分を短かくする圧延方法など、 種々の クロップロス 低減策が実施されている。 「クロップ 形状認識装置」 の導入による クロップ の自動最適切断は、 有効な クロップロス 低減策となる。

三菱電機(株)においても、10年来「クロップ形状認識装置」を製作し、内外の製鉄所に納入してきたが、近年の相 バーの低温化、クロップシャ高性能化に伴う形状認識機能の性能向上の要求にとたえて、多数の フィールドデータ 解析と形状認識 シミュレーション に基づき、低温検出と二次元形状認識可能な「新形 クロップ形状認識装置」を開発した。製品 1 号機は、昭和 57 年 4 月に納入し順調に稼働している。

2. 特 長

三菱新形 クロップ 形状認識装置は、次の特長を持っている。

(1) クロップの二次元形状検出を行っている。

鋼板温度分布画像(温度 8 ビット)を記憶する画像 メモリを持っており,画像処理による二次元形状検出と表示を行う。CRT による クロップ 形状表示は,ミル 操業に対する圧延結果を示す有効な情報となる。

(2) 形状に応じた最適切断位置検出が可能である。

クロップの凹・凸形状に応じた,又は操業条件に応じた切断位置検出 が可能。特に形状良好時の切断不要検出は歩留り向上に有効である。

(3) 既設 ミルへの設置及び保守が容易である。

検出器は小形で、 かつ ライン の上側に設置する構成となっており、 既設 ライン への設置と保守が容易である。

(4) 600℃ からの低温検出が可能。

センサとして,受光面の大きな Si – フォトダイオードリニアアレー を採用しており,600°C からの低温検出ができる。 この温度は ホットミル 粗 バーの全温度範囲を カバー する。

(5) 鋼板上のスケール・水などの雑音除去を行っている。

画像処理の過程で、鋼板上のスケール・水などによる雑音信号は完全 に除去される。従来の一次元処理によっては、これらの雑音信号除 去は困難であった。

3. クロップ形状認識方式

図 1. に クロップ 形状認識装置の原理を示す。 Si - フォトダイオードリニアア レー (256 素子) を使用した検出器により、 鋼板の板幅方向温度分布

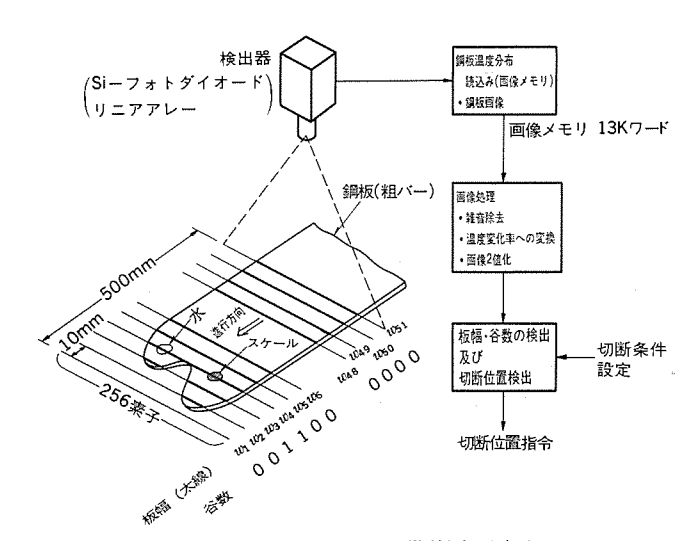


図 1. クロップ 形状認識装置の原理

を検出する。鋼板(粗 %)の進行 $10~\rm mm$ どとに温度分布を画像 メモリ に記憶してゆくと,鋼板が $500~\rm mm$ 進行すると,走査線 $51~\rm am$ らなる鋼板画像が画像 $_{\rm MEU}$ ($13~\rm K_{D-F}$)に形成される。

鋼板画像読込み後,一連の画像処理を実行して鋼板の2値化像を 抽出する。2値化像より各走査線ごとの板幅 w_i (図 1. の太線で示す)と谷数(凹形状の場合の谷の数)を算出する。鋼板上のスケール・水などの雑音信号は,画像処理において鋼板温度は,中央部に向って上昇する規則を用いて除去され,鋼板の外形は,鋼板境界の温度変化率が最大となるととから正確に検出される。

クロップ 切断位置は、各走査線の板幅・谷数 データから計算される。クロップ 形状に応じた切断位置の例を図 2. に示す。凹形状の場合は、谷位置又は低い山位置から距離"L"で切断する場合であり、凸形状の場合は、板幅 (w_τ) に対する クロップ 幅比率 $(\alpha\%)$ での切断と、形状が良好で切断しない場合を示す。

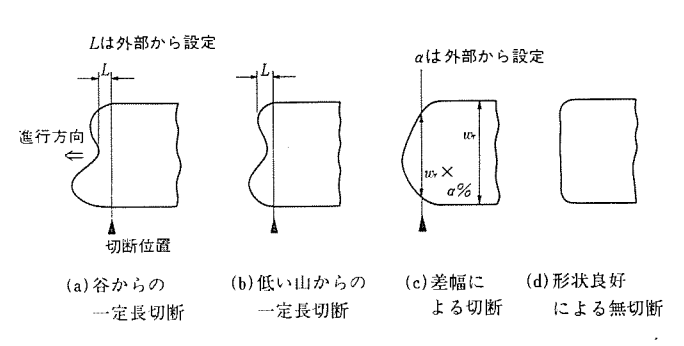


図 2. 切断条件の例

4. 方式検討

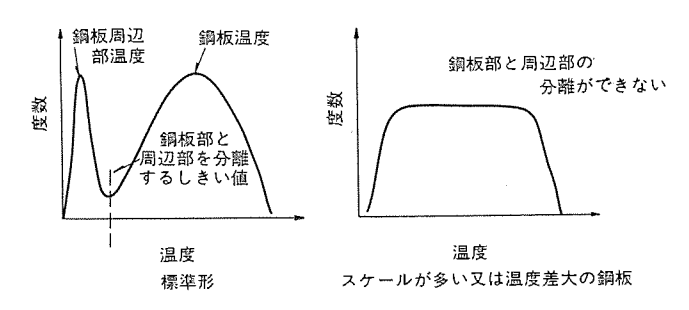
4.1 検出方式

検出方式として、一般的に次の3方式が考えられる。

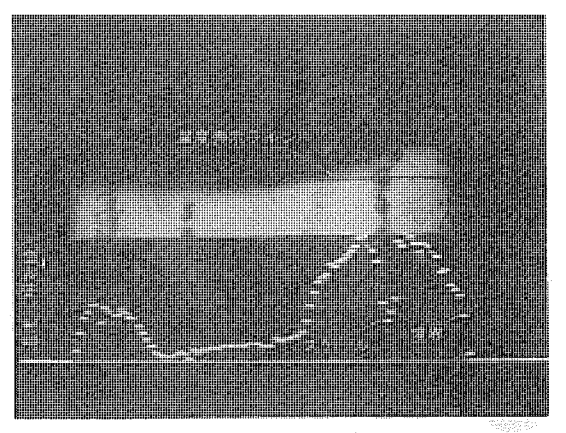
- (a) 輻射光方式: 鋼板からの輻射光を直接検 出する。
- (b) 反射光方式:光源により鋼板面を照明し、 その反射光を検出する。
- (c) 透過光方式: 検出器と反対側に線状の光源を設置し、鋼板の シルエッ

トを検出する。

表 1. に 3 方式の比較を示す。 保守及び既設 ミルへの設置の容易さで優る輻射光方式を採用した。 輻射光方式であるとの装置では, 鋼板温度による信号強度変化を,検出器 レンズ 系に設けた電動総り機構で補正し、信号の飽和状態を避け,広い温度

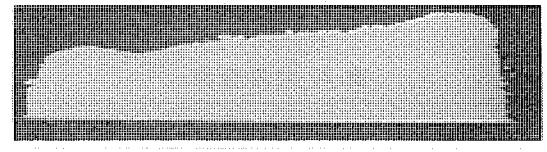


(a) 温度濃度 tストグラム

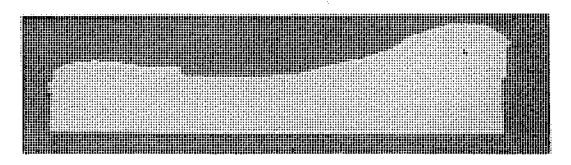


(b) 温度分布

図 3. 鋼板 クロップ の温度濃度 ヒストグラム と温度分布例



(a) 低いしきい値による2値化



(b) 温度濃度 tストグラムより求めた最適しきい値による2値化図 4. 精度の悪い温度しきい値による2値化例

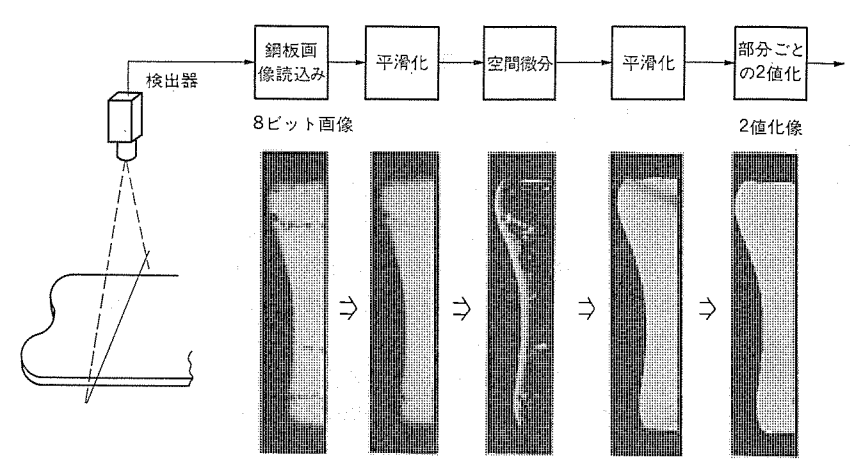


図 5. 温度変化率による画像処理

表 1. 検出方式の比較

検出方式 評価項目	輜 射 光	反射光	透 過 光
検出信号変化の大きさ	Δ	0	0
銅板姿面状態の影響	Δ	Δ	0
網板反りの影響	0	Δ	0
既設ミルへの設置の容易さ	0	Δ	×
保守の容易さ	0	Δ	×
総 合 評 価	0	Δ	×

注 相対評価による ○ 良 △ ↓ × 悪

範囲にわたって精度よく検出できるようにしている。

4.2 フィールドデータによる画像処理シミュレーション

この装置の特長である画像処理方式確立のため,多数のフィールドデータの採取と,温度分布解析及び画像処理 シミュレーション を実施した。採取データによると,クロップの温度分布は先端の40%,後端の80%は図3.(a)で示す標準形温度濃度 tarがjol となる。すなわち,鋼板とその周辺部との温度分布には明らかに温度差があり,温度しきい値による分離が可能である。残りの鋼板はスケールが多いか,又はクロップ内での温度差が大きいため,鋼板温度と周辺部温度に重なりが生じ,温度しきい値による分離ができないことを示している。また標準形温度分布を示す鋼板について,最適温度しきい値による2値化例を図4.(b)に示すが,この場合にも誤差の発生することが判明した。

図3. (b) 温度分布例(一走査線分)に示すように、クロップの温度分布を詳細に検討すると、最大200°Cの温度差と約100°Cのスケールによる温度降下があるが、鋼板端面(境界)は常に最大温度変化率を示すことが判明し、温度変化率による正しい形状抽出に成功した。

図 5. にこの装置に採用した画像処理方式による2値化結果を示す。鋼板画像に対して、平滑化・空間微分・平滑化・部分ごとの2値化の一連の画像処理を実施する。鋼板画像と2値化像の一致が、画像処理の高精度を示しており、 鋼板 カラー 写真との対応例において、±10 mm(長さ方向)の精度が確認された。

5. 画 像 処 理

図 5. に示した画像処理の内容は次のとおりである。

5.1 平滑化処理

図 6. に平滑化処理内容を示す。画像 メモリ を左右両方向から中央下方に向って個別に走査し、各画素の温度(又は空間微分値)を調べ、前回までの温度(又は空間微分値)より低い場合は、前回までの値の中の最大値を書込んでゆくと、図 6. (b) の点線で示すように スケール などによる温度低下が補正される。

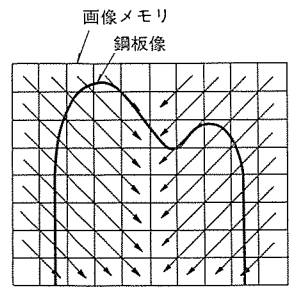
この平滑化処理は、鋼板画像の スケール・水などの雑音信号の除去 及び空間微分の結果として得られる線画を面画へ変換するのに使用 する。

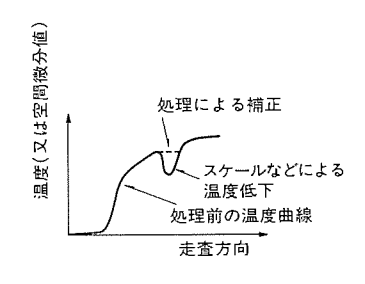
5. 2 空間微分処理

図 7. に空間微分処理内容を示す。 鋼板端面(境界)を強調するために,温度分布を温度変化率(微分)分布に変換する。 E 点の空間 微分値は次式で求められ,全画素(13,000 画素)について矢印の方向で実行する。

$$E = \{ (A+2B+C) \sim (G+2H+I) \}$$

$$+ \{ (A+2D+G) \sim (C+2F+I) \}$$





(a) 走査方向(矢印)

(b) 平滑化(点線)

図 6. 平滑化処理

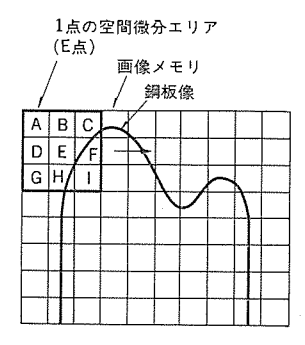


図 7. 空間微分処理

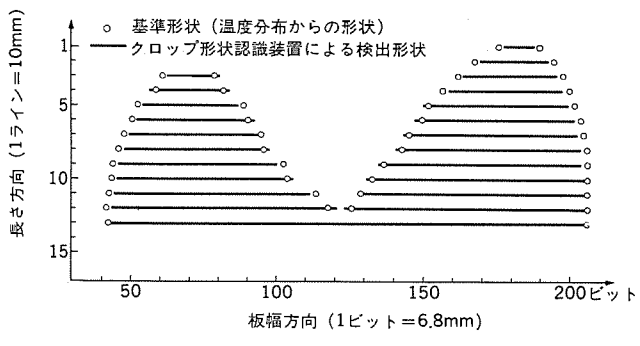


図 8. 形状認識精度 (先端部)

空間微分後の画像は、 図 5. 中央に示すように鋼板の輪郭を示す線画となる。

5.3 部分ごとの2値化処理

2値化処理は空間微分後平滑化処理した画像を,鋼板温度の高低に対応する複数領域に分割し,各領域ごとに2値化を実行する。2値化のしきい値は各領域ごとに温度濃度 taトクラム を作成し, 最適値を求めている。

5.4 形状認識精度

図 8. に鋼板先端部の形状認識精度検証例を示す。 鋼板の温度分布を示す 8 ビット 鋼板画像 データ より,鋼板形状を直接読出して基準形状とし,基準形状と クロップ形状認識装置検出結果を重ね合せた 図で,形状認識精度 は長さ・幅方向 ±1 ビット(ライン)内に入っている。基準形状が鋼板先端部の カラー 写真と一致する ことは確認している。

5.5 画像処理時間

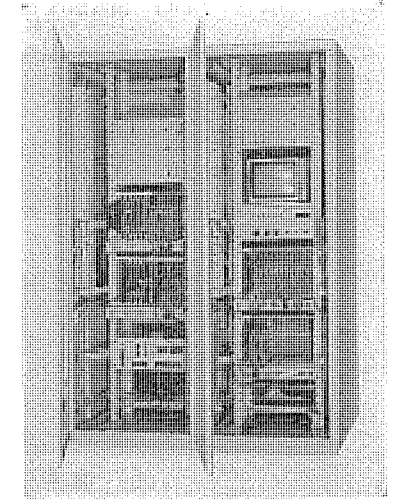
一連の画像処理の実行時間は次のとおりである。

平滑化処理 : 70 ms 空間微分処理 : 42 ms 部分ごとの 2 値化処理 : 260 ms

6. 装置の構成

クロップ 形状認識装置は、図9. に示すように検出器と制御盤で構成する。検出器は、リニアアレーカメラと電動絞り機構を水冷ケースに収納し、エアレス 防じん(塵)フードを装備した鉄綱用構造となっている。制





(a) 検出器

(b) 制御盤

図 9. 装置の外観

表 2. 主要性能

項	8	住 操
鋼板温度範囲	(°C)	600~1,200
銷 板 最 大 板 幅	(mm)	2,400
鋼板最大速度	(m/min)	200
検出器設置高さ	(mm)	3,500
幅方向検出感度	(mm)	9.4
検 出 精 度 (長さ方向)	(mm)	±20
画像 メモリ		51 ライン分 13K ワード×2

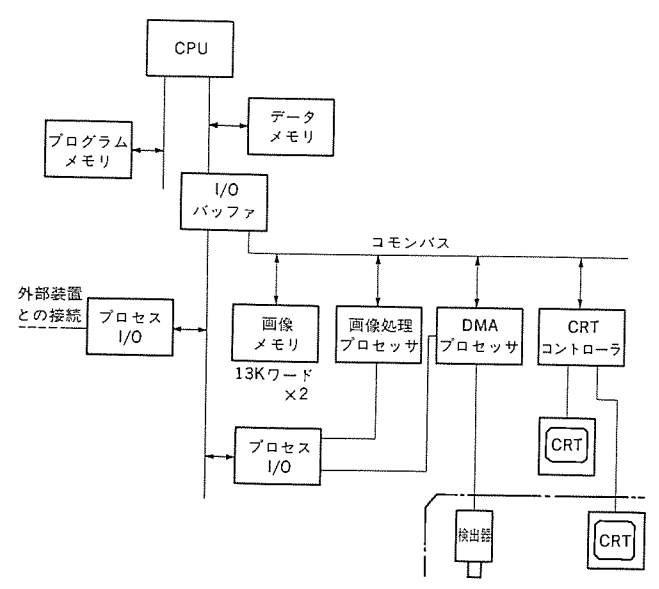


図 10. 制御盤機能 ブロック

御盤の機能 ブロック を図 10. に示す。画像処理 プロセッサ,DMA (ダイレクトメモリアクセス) プロセッサ,CRT コントローラ 及び CPU が,コモンバス 経由で画像 メモリ を アクセス できる構成になっており,他 プロセッサ が実行していない空き時間に CRT コントローラ が 2 値化画像を表示する。CPU は画像処理順序の制御,外部 センサ,外部 コントローラ との信号授受を行う。表 2. にこの装置の主要性能を示す。

7. ホットミルへの適用例

図 11. に π_{n-1} への適用例を示す。形状認識装置の検出結果は クロップシャ 制御盤へ送られ、クロップシャ にて最適切断される。

ホットメタル 検出器 HMD1 が鋼板先端を検出すると、装置は作動 状態となる。鋼板進行とともに先端部温度を温度計で測定し、あら かじめ検出器の絞りを鋼板温度に合せておく。鋼板が検出器視野に 入ってくると、先端用 PLG(パルス 発信機)信号を基準に、10 mm 進行ごとに鋼板の温度分布を測定する。先端部 500 mm の測定が完 了すると自動的に画像処理を実行し、0.8 秒後の ④ 点までに最適切 断位置を クロップシヤ 制御盤へ指令する。 後端においても、後端用 P LG を使用する以外は先端と同様に作動する。

HMD1, HMD2 は装置の作動範囲を制限し、装置が鋼板の先・ 後端部以外で誤作動するのを防止し、装置の信頼性を高めている。 すなわち、HMD1 が ON で HMD2 が OFF の条件のみが鋼板先

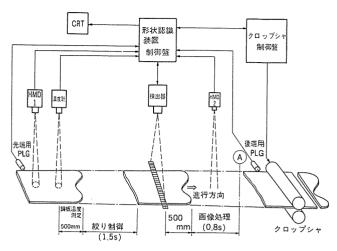


図 11. 設 置 例

端を示し、HMD1 が OFF で HMD2 が ON の条件のみが後端を示す。したがって HMD1 と HMD2 の状態によって、形状認識装置の作動範囲が決定できる。

8. む す び

この装置は長年の旧形装置の製作経験と、多くの フィールドデータ による シミュレーション 結果を盛込んで開発した画像処理技術を適用した装置である。

この装置適用可能な ホットミル は,圧延工場の中で最も生産能力のある ミルであり,クロップシャ 性能向上とともにこの装置の導入は大きな歩留り向上が期待できる。

昭和57年4月に納入した1号機は順調に稼働しており,多くの 製鉄所での導入が期待される。

(昭和 57-11-24 受付)

参 考 文 献

- (1) 松谷ほか:鉄鋼 プラント における検出器および計測装置,三菱 電機技報,48, No.2 (昭49)
- (2) 松田:熱間帯鋼圧延の歩留りの現状, 鉄と鋼, 67, No. 15 (昭 56)
- (3) 三宅ほか:ホットストリップミル における クロップロス 低減法, 鉄と鋼, 67, No. 15 (昭 56)
- (4) 高嶋ほか:新形熱延鋼板形状認識装置の開発,鉄と鋼(講演 概要集II),68, No. 5 (昭 57)

1. まえがき

豊富な エネルギー 源として再び脚光をあびてきた石炭は,その周辺諸技術の進展によりますます注目されてきた。石油多消費産業の一つである電力業界においては,既に石炭火力への移行が始まっており,また今後の建設計画も多くみられる。この石炭についてみると,我が国はそのほとんどを海外から輸入しているために,大形の輸送船が接岸できる近代的な受入設備及び貯運炭設備を必要とする。これには石炭の中継基地である大規模な コールセンター や, 鉄鋼 プラント の原料 ヤード,火力発電 プラントの石炭受入貯炭 ヤード などが必要である。これらの設備は大規模化するとともに高度な自動化,ひいては無人化に至る勢いで近代化されており,またかつての石炭全盛時代からみると,発電所規模の拡大,鉄鋼需要の増大,環境規制,作業条件の改善などの諸条件も大幅に変ってきている。

現状のヤードにおける自動化は、まだ完全なものではない。完全自動運転は、ヤード全体の統一のとれた自動化が成されて完成する。

自動化 システム を採用するにあたっては、 ヤード 内の各作業機械をどこまで自動化するかの検討とともに、ヤード全体の自動化をすることにより能率が向上し、同時に操業上の安全が図られる必要がある。

また、大規模な コールセンター などの システム を検討する前提条件としては、すべての機器を中央集中全自動運転できること、危険分散形とすること、ソフトウェア変更、 メンテナンス が容易であること、及び信頼性、保守性が高く経済的であることなどがあげられる。

以下に、当社の多くの実績から割出した石炭ャードの自動化 システム について紹介するとともに、 今後の展望を含めて述べる。 図 1. に屋外野積方式の プロセス 概要を示す。

2. システム

石炭 ヤード にはその取扱量(スタッカ,リクレーマの容量,台数, コンベヤ 搬送容量など),自動化に投資する予算,自動化に対するニーズなどによって小規模な自動化を行うか,大規模な自動化システムとするかが決まってくる。前者については文献その他により既に紹介されて

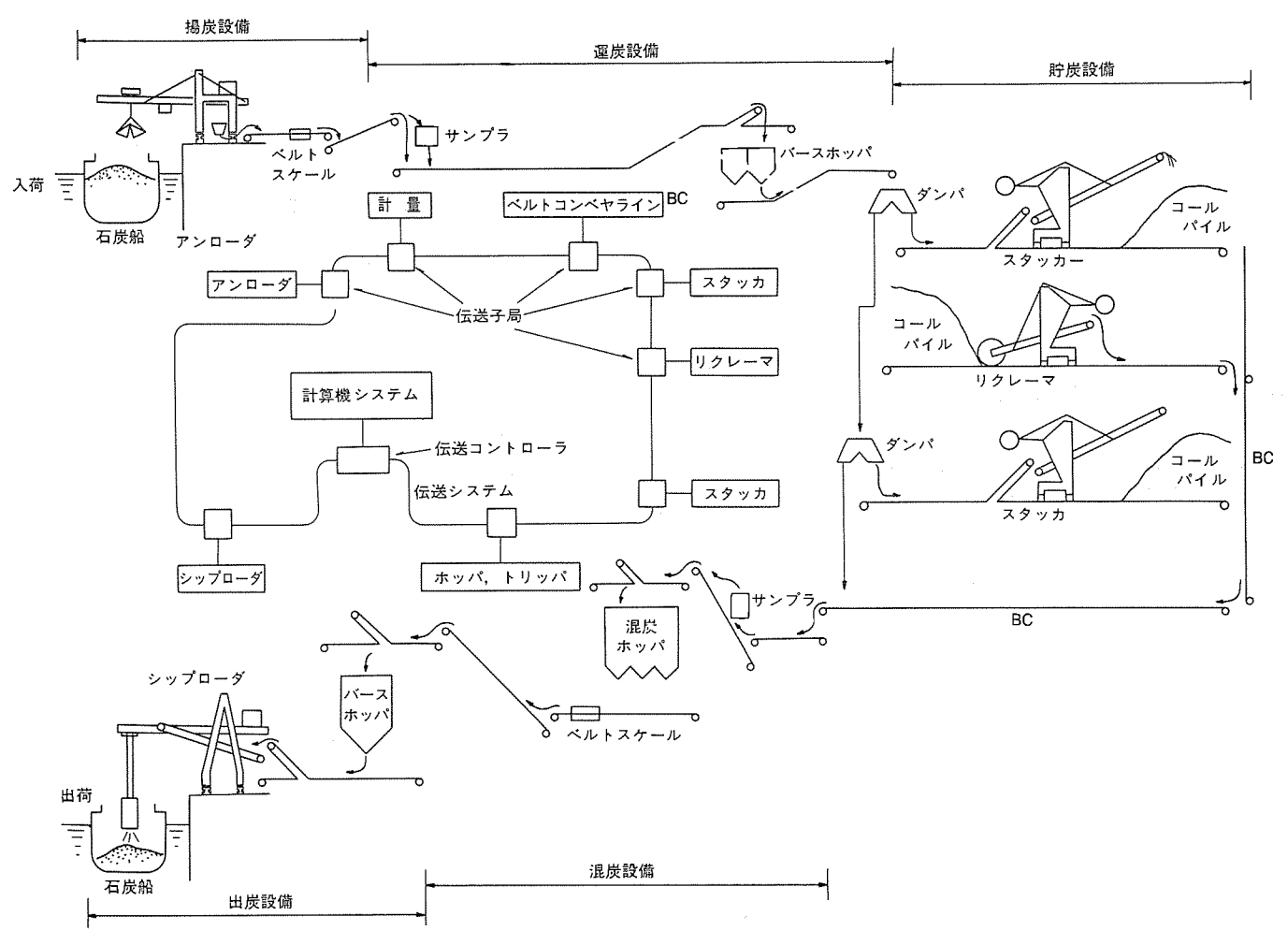


図 1. 屋外野積方式 プロセス 概要図

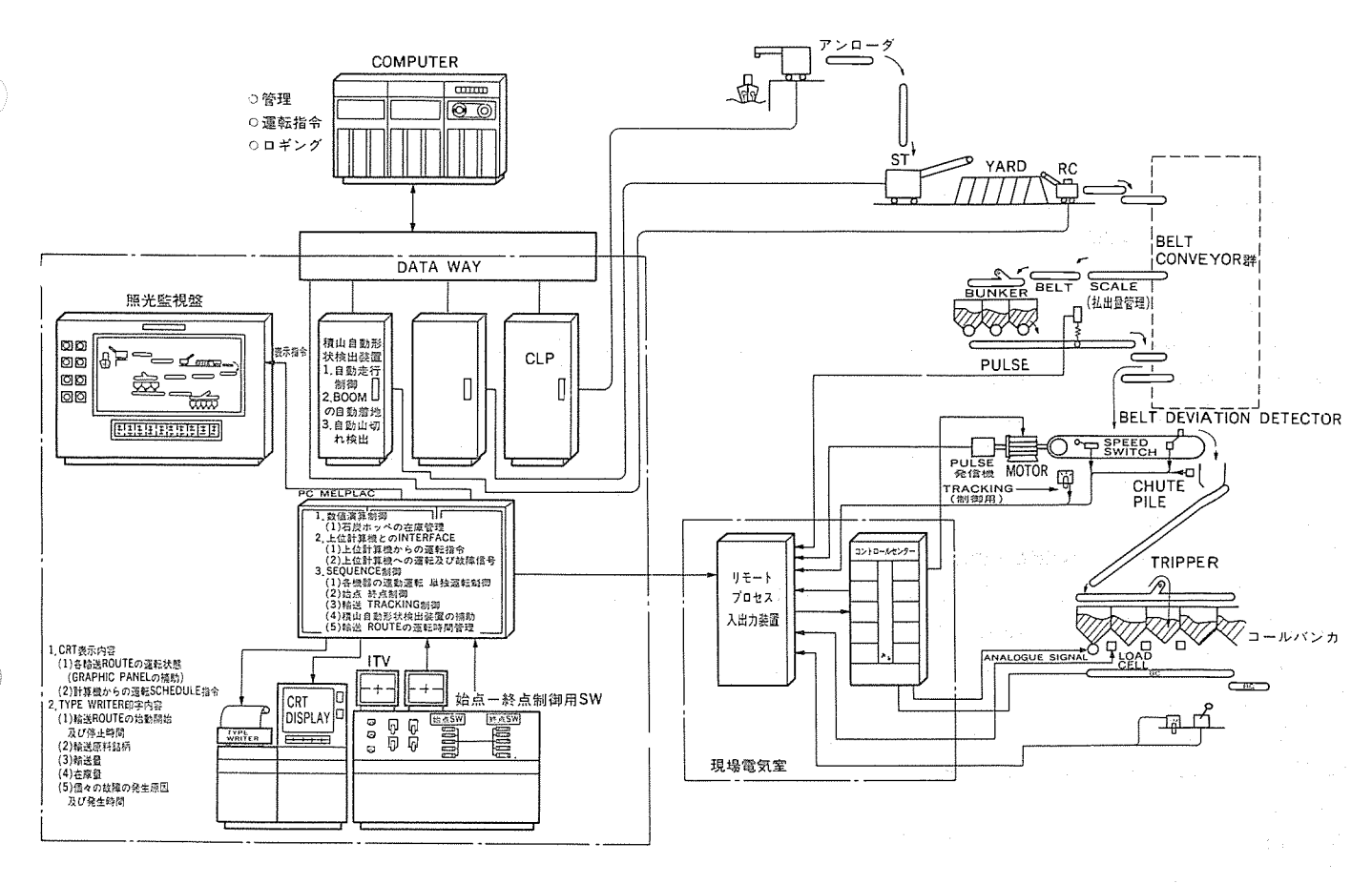


図 2. システム 構成図

おり、また現に稼働中のヤードがあるため、 ここでは簡単にふれる こととし主に後者について述べる。

2.1 小規模自動化システム

コントローラによる作業機械の自動化システムで、計算機の管理データと リンクしていないシステムである。スタッカ、リクレーマなどの単体作業機 械に搭載するか、又は地上に電気室を設け、ここに設置するコントローラで実行する各機械単位の自動化をいう。

2.2 大規模自動化システム

ヤード全体を包括する自動化 システムで、計算機の管理 データ と リンク している システム である。 ヤード全体の管理、監視、制御などを行う 中央制御室を設け、 ここに ヤード 計算機を置くことにより実現させ る全自動 システム である。図 2. に システム 構成を、図 3. に中央制御 室の例をそれぞれ示す。

2. 2. 1 問題点及び計算機システム

現状のヤードの自動化は、まだ不完全である。 現在、スタッカ は完全無人運転が実施されており、リクレーマもコントローラによる自動運転が行われている。しかし、ヤード全体にわたる管理 データ に基づいた オンライン 制御はまだ実施されていない。ここで紹介するシステム は、ヤード 計算機がより高度な管理 データ を収集し、コントローラ はその指令を受けて自動運転を行う方式の全自動システムである。

自動化が困難であった リクレーマ の自動運転について必要な動きを考えてみる。まず、 リクレーマ をある撤出点まで自動で移動し、その地点で パケットホイル を積山の払出し位置に自動着床させる必要がある。このためには次の二つの問題点を解決しなければならない。

(1) 搬出点まで他の作業機械及び積山に衝突しないように無人・自動運転で動かすにはいかにすればよいか。

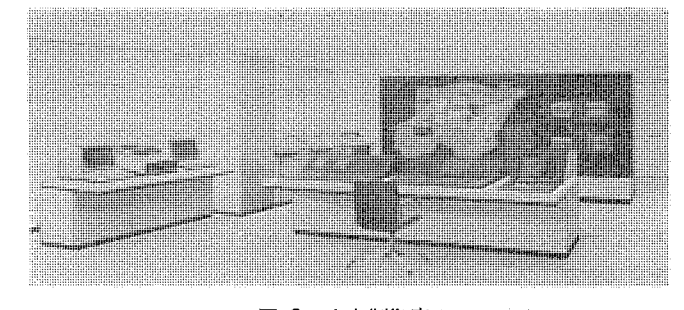


図 3. 中央制御室

(2) 搬出点での石炭積山の形状認識をどうするか。その積山のどこから払出すかを如何に決定するか。

これらの問題を解決しなければ、スタッカ・リクレーマの完全無人自動 化はできない。これを解決するために計算機を使用し、自動的に積 山の在庫を空間形状的に把握することが必要になる。更に、数時間 の全作業機械のスケジュールが把握でき、一定時間後の機械の位置と 操業移動範囲が推定できると同時に、一定範囲以外の行為に出ない よう動きを制御する必要がある。

一方, これらを把握, 制御している計算機が万が一 ダウン した場合は, 各機械を コントローラの レベル で自動運転する。 各機械の コントローラは, わずかの手動設定により自動運転を行う。 しかし, 計算機からの指示なしで運転することになりヤード全体における制御情報は入力されない。 したがって, このような事態が起こらぬよう2. 2. 2 節で述べるような信頼性に対する検討が重要になる。

以上,問題点の方からあげたが, ヤードの自動化 システム を端的に述べると次のようになる。

- (a) 完全に近い ヤード全体の自動化を実施し、バックアップ としてわずかの設定により個々の自動運転が行える コントローラレベル の自動 モード を設ける。
- (b) 完全に近い自動化ヤード全体の実現のため、在庫管理、スケジュールまで把握して指示を出す必要がある。
- (c) 人間が介在する範囲も上記(a),(b)のレベルになり、旧来の手動、自動のレベルからは異なってくる。したがって、人と計算機とのインタフェース(マンマシンインタフェース)は、これにふさわしい機能をつけなければ扱いにくい。すなわち、操作の大部分は運転から管理機能に関するものに移り、監視や計画の指示変更が主なものとなる。マンマシンインタフェースは、CRT(Cathode Ray Tube)による対話形のものとなる。人間にとっては、常時は計算機からの計画の指示がそのとおり進行しているかどうかの監視が主な作業となる。このほかには異常時の対応が主たるものとなる。

2.2.2 計算機システムの使い方と信頼性

全自動化 システム においては、 計算機が システム の中核になるととから、その ダウンは ヤード 全体の操業に影響を及ぼす。場合によっては危険な、また連鎖した故障事故を誘発する可能性をもつ。したがって高い信頼性を要求される。

一方,計算機 システム全体の ダウン はまれな事象であり, これに対処するために多大の主装備をすることは経済的ではない。また,一見,見落しがちなことであるが,最も大事なものは データ である。これが消えてしまうようなことがあると,運転の立上げ時,非常な混乱を生ずることになる。したがって,データは二重に保護しておく必要がある。同様にマンマシンインタフェース,伝送系の順で重要なものをあげることができる。

装置について言えば、個々の部分、例えばモータなどは故障すると安全に停止するようにし、個々の故障が他に波及してより大きな部分のダウンにならないようにする必要がある。更に、できれば別な代わりの方法でバックアップするとよい。すなわち、システム全体を小さな独立性のあるもの、つまりルーズなカップリングとし、故障があればその小さな独立した部分を切離して動かせるようにすることである。すなわちルーズなカップリングで個々独立した分散形とすることを意味する。

一方, 計算機の機能を大きく二つに分けてみると,

- (1) 制御部分は完成されると変更, 更新が少ない。
- (2) 管理部分は変更が多く、また重要な部分でもある。

と言える。 これらから,計算機の システム は二重系とし,第 1 系は制御,第 2 系は管理として,相互に バックアップ 機能をもたせ \vec{r} -9 は二重書きとしておく。

3. システム構成

3.1 構成概要

石炭ヤードにおける石炭処理設備としては、①揚炭設備、②貯炭設備、③運炭設備、④混炭設備、⑤積卸設備などがある。現在、ヤードではこれら諸設備の運転及び管理の合理化、異常時の適確な処置、操作性の向上などの要求を実現するため、計算機や プラントコントローラ(以下、PCと称す)などの導入が積極的に図られている。また、これに伴いマンマシンインタフェースもますます充実されてきた。しかしながら、計算機は管理用として設置されてはいるが、そのデータが各作業機械のコントローラとリンクされておらず、主にヤードの監視とオフラインのデータ管理として使われている状態である。



図 4. 制御管理 システム

当社では,図 4. に示すような $3 \, \text{L}^{\text{N}}$ からなる制御・管理 D システム を開発した。ととで制御,計測は上層から下層方向へ分散化され,監視,操作は下層から上層方向へ集中化する。 各 L^{N} の機能は次のようになっている。

(1) 管理 レベル

てのレベルには、在庫管理を含めた管理 テータ をもつ計算機をおく。 計算機は、各作業機械の コントローラ と オンライン で結ばれており ヤード 全体の管理と運用を総合的にまとめる。

(2) 自動制御 レベル

自動制御 レベル は、各作業機械を自動制御する ブラントコントローラ や マイクロプロセッサ からなる。 との レベル は、通常全自動運転される場合、管理 レベル の制御下にあるが、管理 レベル から切離される場合は、 との レベル での個別自動運転が行われる。

(3) 機側 レベル

モータコントロールセンター や現場盤から単独操作を行う場合は、 機側 レベル が対応する。

3.2 制御装置の機能とシステム

3. 2. 1 計算機

(1) 機能

計算機システムは、計算機の分担する機能と要求される信頼性によって規模と構成が変わる。したがって、いかなる機能を持ちその重要性がいかなるものであるかが決まって初めて決定することができる。要求される機能を分類すると表 1. のようになる。 これらのうち最低限必要な機能としては、 表中 1-c., 2-c., 3-c., 4-b. があげられる。

(2) システム

計算機には三菱工業用計算機《MELCOM 350-50 シリーズ》を適用する。計算機システムの中心部は二重系とし、1系は制御、2系は管理を主として担当し、1系ダウン時には他系でバックアップする。ただしての場合、システムの経済性を考え重要性の高い機能だけをバックアップするシステムとする。図 5. に計算機システム構成を示す。記憶装置には、主記憶装置の記憶容量を補うために固定ヘッド磁気ディスクを設ける。また、主として計算機設備の調整、保守のためにフレキシブルデ

表 1. ヤード用計算機に要求される機能

項目	機	能	内容
1	ロギン	グ機能	a. 装置の稼働状況 b. 操業状況 c. 在庫管理的記録 d. その他,電力量などの記録
2	制 绚	機能	a. 各装置への指示値の出力 b. 指示通り動いているかのチェック c. 衝突防止チェック
3	マ ン マ インタ:	シ ン フェース機能	a. 衝突防止の確認 b. スケジュール変更認識 c. ヤード全体の彼山形状認識
4	管 理	機能	a. 積山認識と在庫管理 b. スケジュール情報 c. ヤード管理と入荷計画 d. 入船計画と需要予測

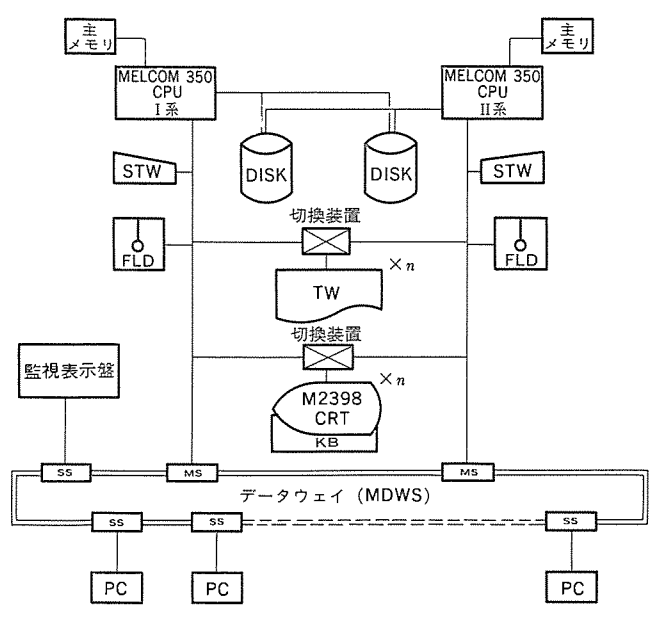


図 5. 計算機 システム 構成

ィスクをおく。

3. 2. 2 伝送装置

(1) 機能

計算機と コントローラ やマイクロプロセッサ などの装置間の情報の伝達を、小数の信号線で伝送可能とする データ 伝送 システム である。この技術の進歩により、階層制御 システムを構成し管理機能を各々分担することが可能となった。一般にこの伝送 システムをいかに組むかが全体のシステム の機能を決めることになり、単に信号伝送のみとするか、機能分散形の システム にするかによって変わってくる。これは単に規模だけの問題でなく、応答性、故障危険に対する考え方による。伝送装置は、順次中心的機能を果たすものとなりつつあり、分散形を作る データウェイ 方式のものとなっていくであろう。

(2) システム

データウェイシステム は親局を中央管理室に設置し、子局を ヤード 内の プロセス 側に設置する。そして、親局・子局間は同軸 rーブル を用いて接続する。図 5. は、データウェイ(MDWS)を用いた例で、計算機 1 系、2 系にそれぞれ親局(MS)を接続し、子局(SS)には rード 内の各作業機械を自動制御する コントローラ を接続する。

3. 2. 3 コントローラ

(1) 機能

ヤード内 コントローラは、 計算機と リンク されて各作業機械の自動制御を行う。ヤード内の システム によっては、 振動のある機械の上に搭載する場合があり、耐震設計されたものが必要となる。 また、シーケンス 制御のみならず演算機能をもつ必要がある。 これに対する当社のコントローラ の特長的機能を紹介する。

- (a) プラントコントローラ 《MELPLAC》
 - ・シーケンス 制御・数値演算制御・パルスカウント 制御・アナログ 処理が可能。
 - ・プログラミング と保守が容易な POL 言語 (プラント 制御向高級言語) の採用。
 - ・CRT 付 プログラミングパネル を採用し、 オンライン、 オフライン のいず れでも ソフトウェア 処理が可能、かつ故障追跡が CRT で可能。
 - CPU (中央演算処理装置) 及び メモリ の各 ハード 対応の バック アップ が可能。

- ・CRT ディスプレイ 装置・キーボード・フレキシブルディスク・プリンタ な ど の豊富な周辺機器をつけることができる。
- ・リモート 入出力機能がある。
- ・故障診断機能が充実している。

(b) ローカルプロセッサ CLP

- ・機上搭載、悪環境、ノイズに対して頑丈である。
- ・デバック、シミュレーション機能が充実している。
- ・自動運転 シーケンス 制御, 位置決め制御機能がある。
- ・故障診断機能が充実している。

(2) NAT/

コントローラ は、ヤード 内の プロセス 側,又は中央管理室内の電気室に設置される。制御盤内には伝送装置の子局も収納できる構造とする。各作業機械対応で1台ずつ設け, ベルトコンベヤ 用 コントローラ は、ヤード全体で1台か,又は受入系統,払出系統の2系統分散方式で1台ずつ設けるかのいずれかとする。

4. 各設備の最新の制御方式

ここでは ヤード 内の各設備について、 その最新の制御方式について 説明する。設備としては、 揚炭設備の アンローダ、 積付け・払出しを 行う スタッカ と リクレーマ、 運炭設備の ベルトコンベヤ などを とりあげる。

4.1 アンローダ制御

石炭の陸揚を効率よく行うほか、 アンローダ の運転員の作業負担の軽減を図るため、次のような制御 システム を採用する。

(1) バケット経路設定(プレイバック運転)

アンローダの高効率運転を行うために、 安全かつ最短となるような走行経路設定を行う。

(2) 振れ止め制御

バケットの振れ上めは、横行移動中、ホッパ上、ハッチ内への振込み、振出し位置のそれぞれにおいて荷振れが最小になるように、コントローラが制御する。

(3) 衝突防止制御

複数 アンローダ の相互位置を監視して衝突防止をする。

アンローダ機上と地上の コントローラ 間は, 誘導無線式信号伝送装置で接続し, 上位 システム からの オペレーションガイダンス, アンローダ の稼働状態, 現在位置, 陸揚重量などの データ の交信を行う。

4.2 スタッカ, リクレーマ

スタッカ、リクレーマの自動運転システムは、前述のようにヤードの規模によって二つに分けて考えられる。作業機械単独の運転の場合は、自動運転モード及び手動運転モードの二つの運転モードを設ける。これは小規模自動化システムの場合、及び大規模自動化システムにおける計算機を切離した運転を行う場合である。 自動運転モードは運転員が諸条件を考慮し、 地上の監視操作盤から自動運転用 コントローラに設定データを与える。手動運転モードは機体側又は地上からの運転員の操作により、全自動運転モードをバックアップする。

大規模自動化 システム における ヤード 全体の全自動 モード 運転の場合には、ヤード 計算機からの設定 データ に基づき、スタッカ、リクレーマ 対応の自動運転用 コントローラ が所定の作業を自動的に行う。また、ヤード 計算機が スタッカ、リクレーマ の走行位置、旋回位置測距 データ を受取ることにより、ヤード全体の レイアウト や積山の形状を認識して対向機体間及び石炭積山との衝突防止 チェック を行う。

4. 2. 1 スタッカ

スタッカ の自動運転作業としては、積付準備作業と積付作業があり、

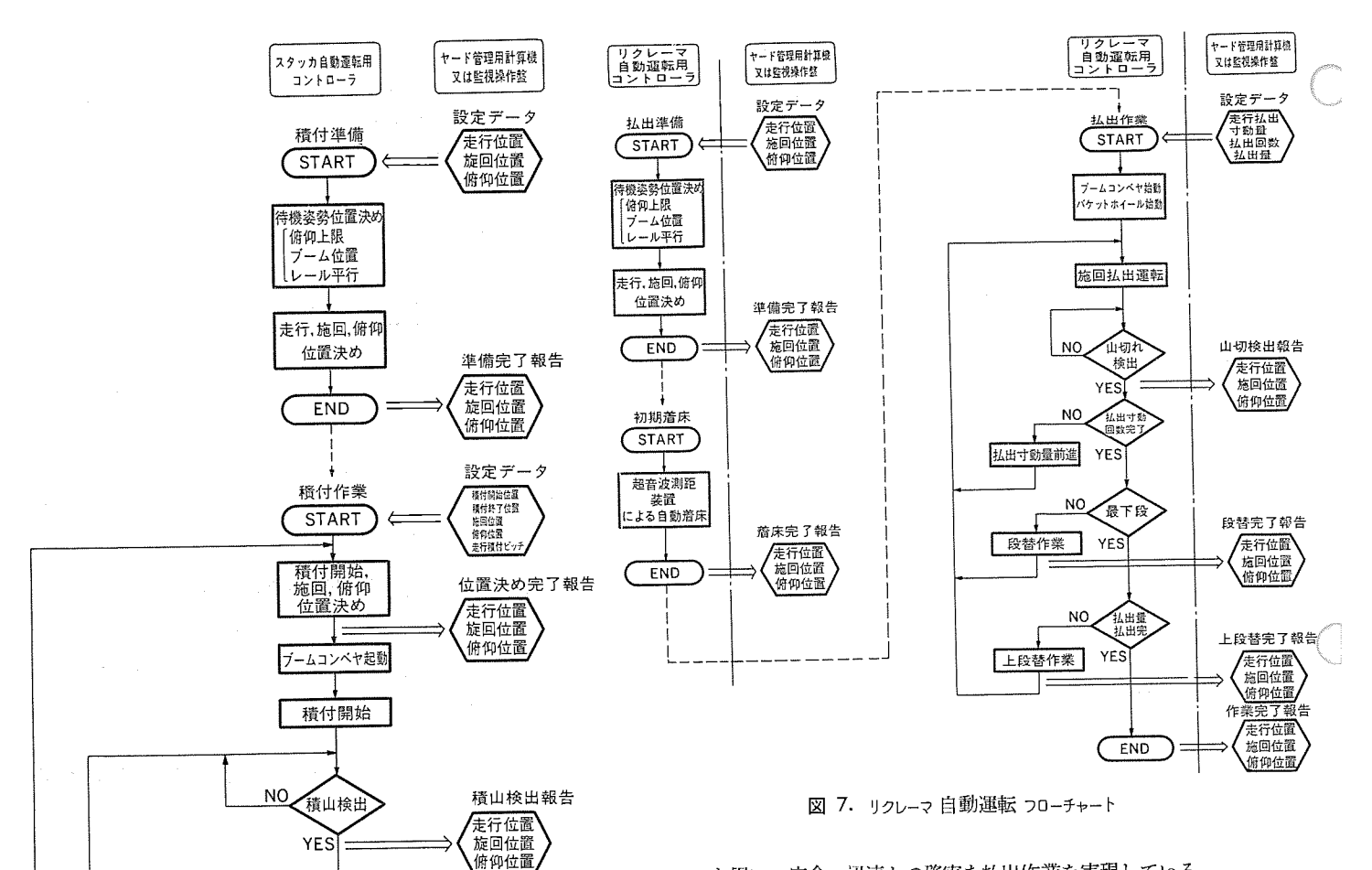


図 6. スタッカ 自動運転 フローチャート

積休終了

次列デー

END

ΝO

作業完了報告

未行位置

旋回位置

YES

YES

走行積付ピッチ移動

各作業は地上又は スタッカ 搭載の コントローラ が設定 データを ヤード 計算 機又は監視操作盤から受取ることで開始し、所定の作業を実行し、 完了報告を行い終了する。積付準備作業は、所定の移動姿勢で機体 を指令された走行、旋回、ふ(俯)仰位置に位置決めする作業である。 スタッカ の積付 パターン は種々あるが、 ヤードの使用効率が高く制御に 融通性のある走行主体方式を採用している。この方式は積付開始位 置、終了位置、積付 ピッチ、旋回位置、俯仰位置を指令として、積付 ピッチ ごとに所定の高さの積山を形成し積付作業を実行する。図 6. にスタッカ 自動運転 フローチャートを示す。

4. 2. 2 リクレーマ

リクレーマの自動運転作業としては、払出準備作業、払出開始位置への初期着床作業及び払出作業がある。払出準備作業は所定の移動姿勢で機体を指令された走行、旋回、俯仰位置に位置決めする作業である。このための測定装置として、当社は超音波測距装置(後述)を用意している。この装置が石炭積山との相対距離を測定しながら、払出開始位置へバケットホイールを自動的に着床させる。着床完了にて走行払出寸動量、払出回数、払出量の設定データを受け、払出作業に移るが、旋回端での山切れ検出及び段替制御にも超音波測距装置

を用い,安全,迅速かつ確実な払出作業を実現している。

(1) 山切れ検出

超音波測距装置は,自動運転用コントローラにて設定されるパラメータ(石炭の種類,払出段数,払出方向など)により,超音波パルス信号の発射方向を割出し石炭積山との相対距離を連続測距して測距データを自動運転用コントローラに送る。自動運転用コントローラは測距データを検定し,所定の距離を越えたところで山切れを判断し旋回を反転制御する。

(2) 段替制御

払出寸動回数完了にて、 リクレーマ を走行後退させながら、超音波 パルス 信号を鉛直下方に発射させ現在ある段の段端を検知し、 次いで 次段を検知したことで走行を停止させ、ブームを下げ、その段の払出 開始位置まで微速前進し、 バケットホイール を石炭積山に着床させ完了する。

(3) 定量払出制御

バケットホイール の切込量が、 着床からの旋回角度 θ に対して $\cos\theta$ に比例して変化するので、払出量が一定となるように旋回速度を可変とし定量払出を実現できる。 図 7. に 11/21 に 11/21 自動運転 20-5+-1 を示す。

4. 2. 3 超音波測距装置

超音波測距装置(図 8.)は、超音波を検出媒体として 10 m 以内の位置から石炭積山の形状を検出するため、 超音波 ビームを旋回、俯仰軸について各々 120 度の範囲内で動かし、任意の方向の測距を可能としたものである。この装置は図 9. に示すように アンテナ部、駆動制御部、処理装置部で構成しており、 特に アンテナ部は リクレーマブーム 先端の バケットホイール 近くに設置されるため、振動、 粉じん、 雨などの過酷な条件に耐えるように設計している。

(1) 測距原理

駆動制御部の タイマにより設定した周期で、超音波パルス 信号が アンテナ 部から石炭積山に向けて発射する。 石炭積山で反射された超音波パルス 信号は、再び アンテナ 部で受信し駆動制御部で増幅して処理 装置部に送る。処理装置部では受信信号の波形処理を行い、送信受信 タイミングを見出し、その時間差(伝搬時間)を求め、石炭積山までの距離を計算する。超音波信号の伝搬速度は周囲温度により変化するので、サーミスタを屋外に設置し、周囲温度を計測することにより温度補正を行う。超音波送受信素子を旋回、俯仰の何点かに位置 決めし、測距を行うことにより石炭積山の三次元的形状を認識する。

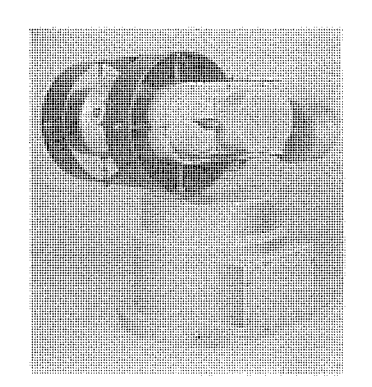


図 8. 超音波測距装置

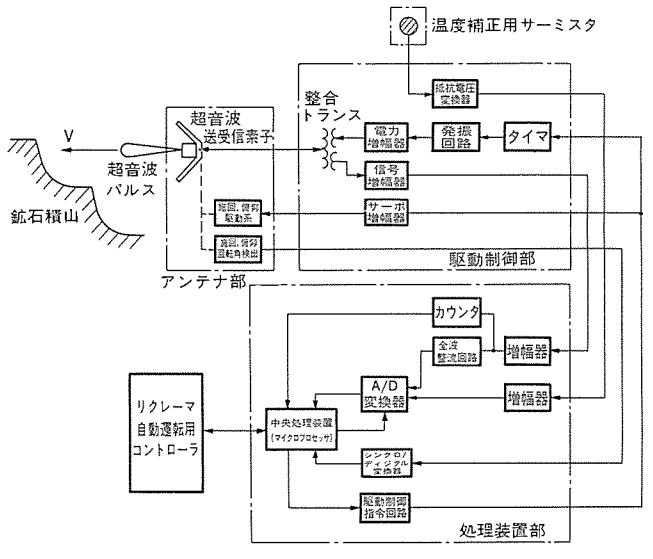


図 9. 超音波測距装置 ブロック 図

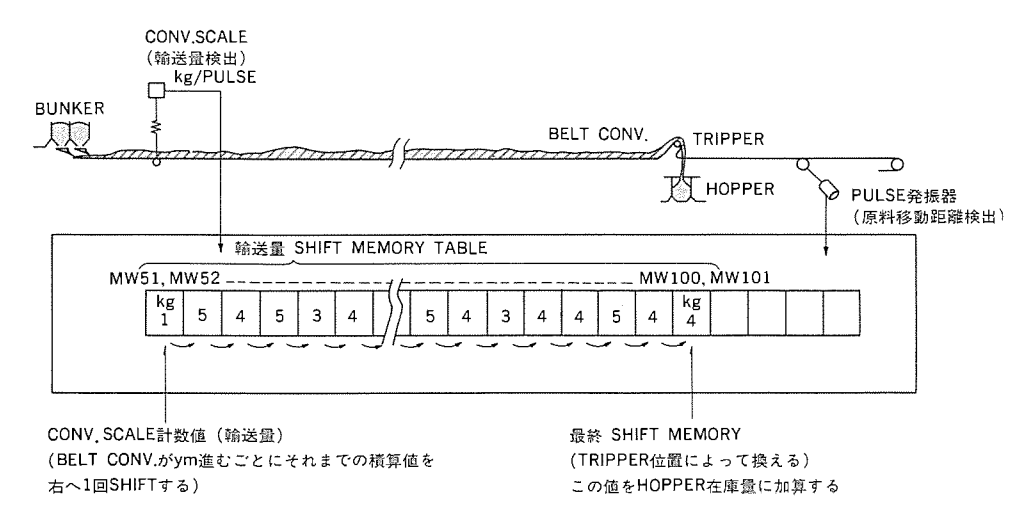


図 10. 輸送 トラッキング 制御概念図

超音波測距装置の ブロック 図を図 9. に示す。

(2) 位置決め

アンテナ 部は旋回,俯仰動作とも別々の駆動系で駆動し,任意 0点への位置決めが可能である。処理装置部では,リクレーマ 自動運転用 コントローラ からの指令に従って駆動指令を出す。 この駆動指令が駆動制御部の駆動用 サーボ 増幅器に送られ,サーボモータゼネレータ が動作する。また,処理装置部では アンテナ部の旋回,俯仰回転角検出器の出力をシンクロ/ディジタル 変換し,中央処理装置に読込み,各軸の現在位置を把握し上記駆動指令により駆動系を制御する。

(3) 外部 インタフェース

処理装置部は外部 インタフェース 機能を有し、 リクレーマ 自動運転用 コントローラ との データ 交信を行う。 これにより、 測距 データ は リクレーマ 自動運転用 コントローラ を経由し、 計算機の記憶装置(大規模自動化 システム の場合)に送られて形状認識が成される。 反対に、 リクレーマ 自動運転用 コントローラ から指令を受取り 測距を実行する。

4.3 ベルトコンベヤ制御

(1) 始点 - 終点設定による シーケンシャル 制御

最上流切出機,最下流払出機を選択するだけで, シュート切換え・コンペヤ・フィーダ・クラッシャ・トリッパ などの シーケンシャル 制御を行う。

(2) トラッキング 制御

コンベヤ上の石炭の所在点を、ある輸送距離単位ごとに常時追跡監視する方式で、①コンベヤ上の異種炭混載防止、②輸送時間の短縮(コンベヤ上の原料払出後に次の原料を輸送する従来方式に比べ原料払出時間がなくなる)、③秤量装置と組合せて高精度在庫管理が可能などの長所がある(図 10. 参照)。

(3) ホッパ, 在庫量管理と補正

ホッパに投入する量と切出す量を監視しておき、切出量が多くなり 在庫量が空量予報値以下となれば、上流系統に対し輸送指令を出し 常に ホッパ内には予定量を確保し、空量検出 スイッチ を不要としてい る。なお、この制御を利用して投入トリッパの完全自動運転も実現し ている。

このほかに秤量制御、サンプリング制御などがある。

5. む す び

以上,石炭ャードの自動化システムについて述べてきたが,紙面の都合で詳細な説明ははぶいた。単体作業機械の自動運転を越えたャードの全自動化システムにおいては,優れたセンサとマイクロプロセッサや計

算機及びこれらの信号を伝達する 高速の信号伝送装置が主たる働き を担い、これらがヤードの全自動 運転を可能にした。しかし、気象 条件による積山形状のくずれ、炭 じん、騒音などの環境対策などに ついてどう処理してゆくかは、ま だ今後の課題として残されている。 これらについての研究を続けると 同時に、今後とも省力化、安全性 向上、経済性などの面で、より優 れたシステムの開発を目指して努 力してゆく所存である。

新宿NSビル向けエレベーター監視システム

橋浦良介*・岩地康正**・安倍 勉***・深 沢 豊*・鈴木 修+

1. まえがき

大形ビルの設備機器は規模・量ともに大きく、それに伴う監視、制 御も高度なものが要求される。一方、省 エネルギー、 省力に対する要 求は近年一層強まっており、 ビル 管理における重要な課題となって いる。従来のビル管理システムの多くは、すべてのビル設備機器を中 央の監視装置で制御する集中形 ビル 管理方式がとられてきたが、こ の集中形 ビル管理方式では、複雑で高度な監視、制御と徹底した省 エネルギー化,省力化及び高い システム 信頼性の要求にこたえることが 難しくなっている。

この問題に対して、次のような分散形 ビル 管理方式が提案されて いる。この方式は, 空調機器, エレベーター 機器などまとまった機能 を持つ設備機器群を一つの設備 モジュール とし, この設備機器 モジュー ル ごとに監視・制御装置を設け、更にこれらの設備機器 モジュールの 上位に 設けた マンマシンインタフェース としての中央監視装置でビル 設備 機器全体の総括的な操作及び監視を行う方式である。

新宿 NS ビル(仮称)に納めた エレベーター 監視システムは、 他の設備 機器との情報の授受が比較的少ないこともあり、 上記の分散形 ビル 管理方式の一つの設備 モジュール として計画された。設備 モジュール と したことによって エレベーター30台, エスカレーター10台の操作, 監視を より効果的なものとすることが可能となった。

このエレベーター監視システムは、マイコン・CRT表示装置・バックアップ 表示灯・操作 キーホード・インターホン などで構成している。CRT 画面 では、エレベーター、エスカレーターの運行表示を行うとともに、災害が発 生した時の対応として、該当する災害に対して オペレータ が操作すべ き内容と手順を表示している。このことは表示内容の分かりやすさ を向上させるだけでなく、未習熟 オペレータ による誤操作を防止し、 ひいてはビル防災システムの信頼性を高めるという主目的に対しても、 より実効あるものと考えている。

以下との エレベーター 監視 システム の概要について述べる。

2. エレベーター監視システムの現状と動向

2.1 従来のエレベーター監視システム

大形高層 ビル に従来から導入されている エレベーター 監視 システム の代 表的機能を表 1. に示す。従来の エレベーター 監視 システム は、エレベータ - の運行状態を監視するために必要な、かご位置・走行方向・運転 中・休止中・故障中などの各状態を表示 パネル上に ランプ 表示する。 また、 災害が発生した時に、 エレベーター を避難させる災害時管制運 転を行うために オペレータ が操作する キースイッチ 及び異常時にか ご内 と連絡をとるためのインターホンを操作卓上に配置している。

通常これらの装置は、エレベーター 以外のビル設備を管理する中央監 視盤と並設されることが多い。

2.2 エレベーター監視システムの新しい展開

前述した分散形 ビル管理方式において、エレベーター監視 システムは、 ビル管理 システム のなかの設備機器 モジュール の一つとして、次のよう

表 1. TL/ベーター 監視 システム の機能と構成要素

機	能	構成要素,設置場所
エレベーター 状態表示	かど位置 走行方向 選 転 休 止 故 障 災害時管制運転完了 地質選鉱転 好選選転 好電型故障 非常電弧転	表示パネル上IC ランプ表示
オペレータ による操作	地震管制 火災管制 停電管制 (自勁/手勁) 停電運転 救出運転	操作卓上にキースイッチ
通 話	かど内と監視盤	操作卓上にインターホン

な新しい要請にこたえることが重要となる。

- エレベーター 監視の省力
- エレベーター 監視における信頼性の向上

これらの要請を実現するために, 次のような基本的な考え方に立 ってシステム設計を行った。

- (1) 従来の表示パネル上に分散されている エレベーター の状態情報を 1箇所にまとめて,分かりやすい形に モデル 化して表示する。 これ により、みやすさ、分かりやすさの向上を図った。
- (2) 故障時, 災害時に、 オペレーター が中央の操作卓で操作する内 容及び手順を示す操作が ガイダンス を発生した現象に合わせて自動的 に表示し、オペレータの誤操作防止を図った。

上記(1), (2)の配慮は、操作に不慣れな人の監視盤操作を確実 にし、エレベーター監視における新しい方向付けをするものである。

- (3) II/ベーターの故障、システム機器の故障、災害などに関する記録 を残すことで、故障原因の究明を容易にするとともに、正常に復帰 するまでの時間を短くした。
- (4) エレベーター 監視 システム が故障しても、 最小限の情報を提供で きる バックアップシステム を持ち、システム の信頼性を確保した。

3. 新宿 NS ビル向けエレベーター監視システム

2. 節では、大形ビルに適用される分散形ビル管理と、設備機器モジ ュール を構成する エレベーター 監視 システム のあり方, 更に システム の歌 計に関する基本的な考え方について述べた。ここでは実際にこの思 想に沿って開発した新宿 NS ビル 向け エレベーター 監視 システム につい て説明する。

3.1 システムの構成

新宿 NS ビルは、一部店舗を含む貸事務所 ビルとして計画され、 地上30階,地下3階,延床面積166,860 m²の超高層 ビルで,昇降 機設備として エレベーター 30 台,エスカレーター 10 台が設置さ れている (表 2.)。

表 2. NS ビル 昇降機設備概要

界 降 機	仕	様	
エレベーター	高層エレベーター 中暦エレベーター 低層エレベーター 非常用エレベーター 駐車場用エレベーター 優望用エレベーター	: 速度 240 m/min : 速度 180 m/min : 速度 150 m/min : 速度 45 m/min	8882222
エスカレーター	地下1階—1階サービ 1階—2階サービス 2階—3階サービス 29階—30階サービス	: 4台: 2台	

表 3. 使用機器一覧

	項	Ħ		仕 様
ät		算	椶	MELCOM 350/50 A 2100 1台
Œ	J	Æ	IJ	128 K 7 - F
ŕ		夕 伝	送	リモートパネル 4面 ディジタル入力 700点 ディジタル出力 8点 データウェイ 48 KB/s
表	示	装	置	M 2398-10 CRT 1台 モニタ TV 1台
82	錄	装	涩	M 2214 タイプライタ 1 台
I P	L	装	置	M 2788-12 フレキシブルディスク 1台

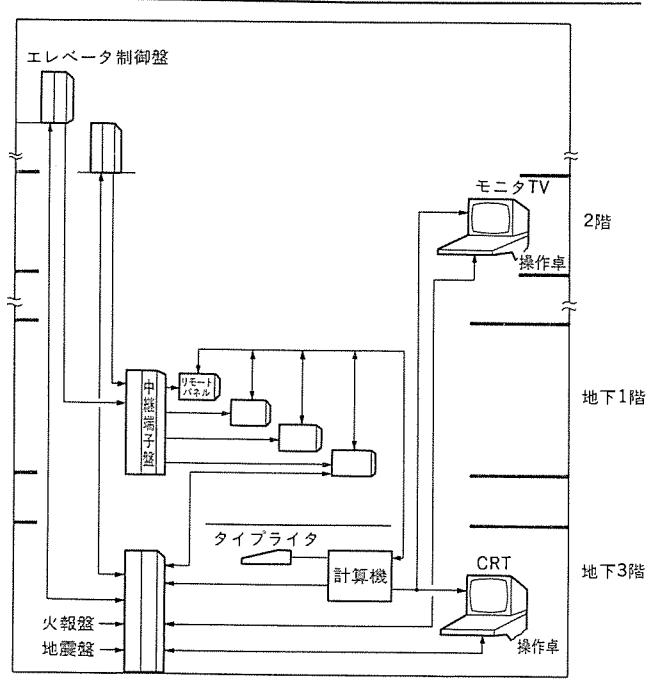


図 1. システム 構 成

エレベーター 監視 システム は、 これらの昇降機設備を中央監視室と防災 センターの 2 箇所で監視する。この システム は運行状態 監視機能, 災害時管制運転及び故障時の操作 ガイダンス 表示機能, 異常記録機能, バックアップ 機能を備えている。表 3. 及び図 1. にその構成を示す。

次に システム 構成上, 前記設計思想を満たすために配慮した点について述べる。
(1) 最高速 300 m/min で走行する エレ

(1) 最高速 300 m/min で走行する エレベーター のかご位置を、遅れなく正しく表示できるだけの計算機の処理速度を確保するためと、処理する プログラム 容量から、

計算機は《MELCOM 350/50, A 2100》を採用した。

- (2) 中央監視室と防災 センターの2 箇所で連携して,運行状態監視と操作を行うため,中央監視盤に CRT表示装置,防災盤にモニタTVを設置し,2 箇所に同一画面を表示することで情報の一元化を図った。
- (3) 運行状態と操作 ガイダンス を同一画面内に表示できるように, CRT の表示装置は, 4,800 字, 20 インチ の大形 カラーディスプレイ を採用した。
- (4) ビル内に点在するエレベーター制御盤からの信号を、ケーブル及び工事費用などの削減を図り効率良く正確に計算機と接続するため、いったんリモートパネルに入力し、リモートパネルと計算機の間は信号を直列伝送する データウェイ 方式を採用して 1本の ケーブル で結んだ。
- (5) エレベーター・エスカレーター 故障信号は、制御盤から リモートパネルを介さずに、直接中央監視盤・防災盤に並列配線することで、計算機とは独立させ、計算機が故障しても操作卓上の ランプ を表示可能にすることにより バックアップ を構成した。

3.2 エレベーター監視におけるマンマシンインタフェース

3.2.1 運行狀態監視

エレベーター 運行状態監視は、 災害、 故障などが起きていない平常時における監視はもとより、 地震時などの災害時管制運転時に オペレーター が運行状態を見ながら操作を行うために必要である。 したがって運行状態が見やすいこと は、オペレータの正しい監視と判断を確保するために有効であり、また操作に不慣れな人の判断も可能にするので、 緊急事態の発生時に大きな威力を発揮する。

図 2. に運行状態監視用の画面を示す。 画面は ビル 内での エレベーター 設置場所が オペレータ に分かり やすいように, ビル 平面図内に実際の位置に合わせて エレベーター の モデル を配置した。 エレベーター の運行状態は, 数字・マーク・色の変化・点滅を組合せ, モデル 内に集約して表示している。その内容を次に示す。

- (1) かご位置は モデル 内に ディジタル 表示する。
- (2) 運転方向は モデル 内に矢印で表示する。
- (3) かごに付けられている号機番号は、モデル内に数字で表示する。
- (4) 運転・休止・故障・災害時管制運転完了の各状態は、モデルの 枠の色の変化と点滅で次のように表す。

運転 一 かご枠みどり

休止 一 かご枠みずいろ

故障 一 かど枠あかいろで点滅

管制運転完了 一 かご枠きいろ

(5) 災害時管制運転中のかごは、モデル内にマークで表示する。

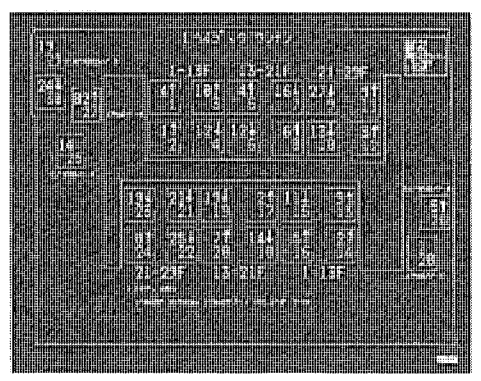


図 2. 運行状態監視画面

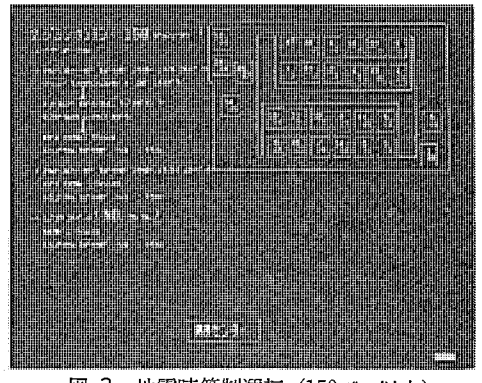


図 3. 地震時管制運転 (150 ガル 以上) 操作 ガイダンス 画面

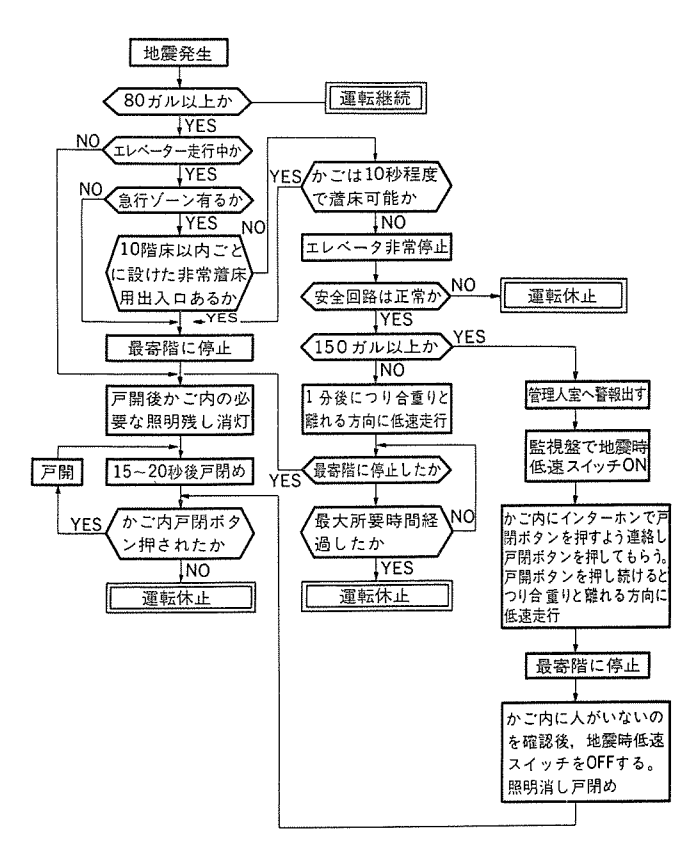


図 4. 地震時管制運転動作 フロー

更に,災害時には、ポペレ-9-は ェレベ-9-の運行状態を監視しながら操作を行うので操作 $π/\sqrt{9}$ と運行状態とを同一画面に表示できるように図 2. の画面の縮小画面を準備した。

3. 2. 2 操作ガイダンス

下記に示す運転に対して操作 ガイダンス が準備される。その一例として図 3. に地震時運転の動作 フロー を示し、図 4. にはその操作 ガイダンス を示した。

- (a) 地震時管制運転 (150 flu 以上)
- (b) 地震時管制運転 (80 flu 以上)
- (c) 火災時管制運転
- (d) 停電時運転(自動式)
- (e) 停電時運転 (手動式)
- (f) 自動救出運転
- (g) 手動救出運転
- (h) Iレベーター 故障
- (i) エスカレーター 故障

これらの災害時運転は、災害訓練時のほかは実際に災害が発生しない限り必要のないものであるが、 オペレータ がこの操作に習熟していることは必す(須)である。しかし緊急事態においては習熟した オペレータ でも ミス のおそれが多分に予想されるものである。したがってこれらの運転に操作 ガイダンス を設けることは、操作信頼性の向上と未習熟 オペレータ の操作をも比較的容易にするという点から非常に有効と考えられる。

3.2.3 操作ガイダンス画面の表示方式

操作 ガイダンス 画面の表示方式は,条件により システム が自動的に画面を出力する自動選択方式,オペレータ が画面 メニュー を出力させ,その中の一つを指定して画面を決める メニュー 選択方式などいくつかある

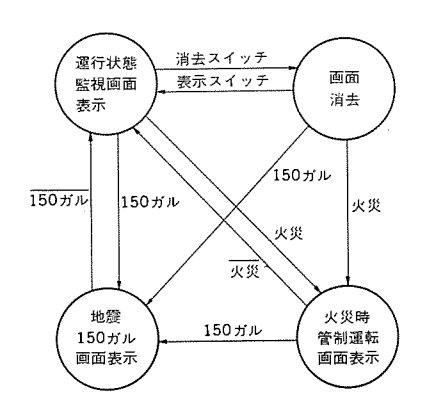


図 5. 画面遷移図

が、今回は次に示す理由から自動選択方式を採用した。

- (1) 緊急時に人の判断で、画面選択することによる誤操作を防止する。
- (2) 災害が重複した場合の エレベーター の運転は決められて おり, したがって操作 ガイダンス も規定できる。
- (3) 中央監視盤と防災盤の2箇所で同一 ガイダンス に従って操作を 行うため、片方の都合で画面を変えてはならない。

ただし、平常時には オペレータ が操作に関する学習ができるよう、手動で画面選択できるようにしてある。自動選択の方法では、まず発生した災害の内容に応じて表示したい画面が自動的に選択する。エレベーター の管制運転では、 複数 の 管制運転が重複して発生した時は、災害の緊急度に応じ所定の優先順位に従って行われるように配慮されているので、 画面もこの優先順位に従って最上位の画面から CRT 表示装置に表示するようにしている。 画面遷移の一例を図 5. に示す。 平常時で画面消去状態の時に火災が発生すると、 火災時管制運転画面を表示する。 その後 150 ㎡ 以上の地震が発生すると、 火災より地震の方が優先順位が高いので、 地震時管制運転画面に切換わる。

4. む す び

大形 ビル に分散形 ビル 管理方式の適用が開始されたことで、 エレベーター 監視 システム に省力・信頼度向上とが強く要求されるようになっている。本稿ではこの要求にこたえる新宿 NS ビル 向け エレベーター監視 システム について述べた。 この システム は従来に比較して、一層見やすく、分かりやすいものとなっており、監視の信頼性を高めるとともに、災害時緊急事態発生に合わせ操作 ガイダンス を表示することにより オペレータ の誤操作による 2 次災害を防止するなど大幅な改善が図られている。

今後,大形 ビル 以外でも, この システム のような監視 システム が徐 々に普及するとともに, エレクトロニクス 技術の進展を背景に,一層費用効果の高い ユーザーニーズ にこたえる監視 システム が実現される ことが期待されている。

我々もこの期待にこたえる努力を続けていくつもりであり、ユーザ - 並びに関係者各位からの御批判、御示唆をいただければ幸いであ る。

参考文献

(1) 湯川ほか:三菱電機技報, 55, No. 11, P. 24 (昭 56)

桜山 享*·阿部 悟**·林 信喜***·永田良茂***·田辺一郎***

1. まえがき

警察の通信指令業務の近代化の一環として、コンピュータを利用した各種 システム が検討され具体化されてきている。 パトカー 動態表示 システム は、パトカー への迅速的確な指示など通信指令業務の効率運用を目的とした処理 システム である。 昭和57 年度千葉県警察本部へ導入した システム を中心に実施例を紹介する。

2. パトカー動態表示システムの目的とシステム導入

2.1 パトカー動態表示システムのモデル

パトカー 動態表示 システム の全体系統を図 1. に示す。パトカー は無線回線を通して通信指令 センター から集中運用される。主な機能別区分と装置構成は次のとおりである。

(1) 車載設備

警察の移動無線機を装備するパトカー(数百台)へ動態設定端末機を 搭載する。

(2) 移動無線回線

既設の音声通話用回線, 地域別に分割使用され, 系統ごと往復路各単一周波数による無線回線構成である。

(3) 中央 データ 収集設備

既設の無線基地局から音声と データ とを分離し、 動態情報のみを データ 収集する。

(4) 中央処理設備

収集された データ を入力し、 処理記憶し、要求に応じて複数の指令 台、 プリンタ へ出力する。

(5) 通信指令 センター 設備(県警本部内)

他の システム (110 番, 通信指令, ITV) からの情報をもとに操作台と CRT 漢字 ディスプレイ, データ 表示・検索・登録を行う。

2. 2 方式比較

電波を利用して, 運行中の車両の位置や活動状況の データ 収集し, 中央にて集中管理, データ 処理する方式には各種あり, ①分散送信方式, ②分散受信方式, ③半自動方式, に大別できる。 その方式の

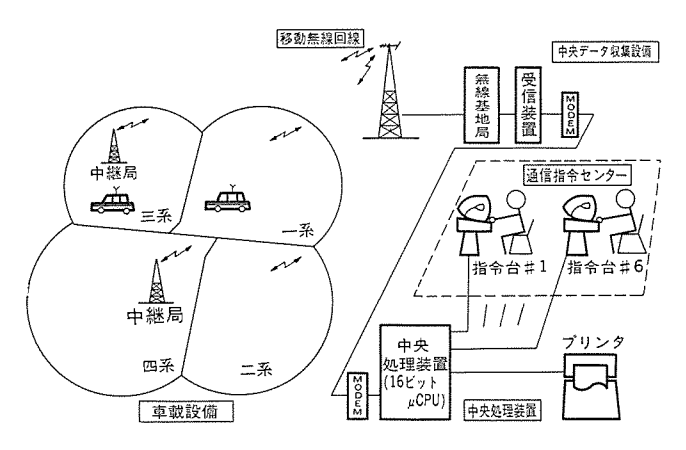
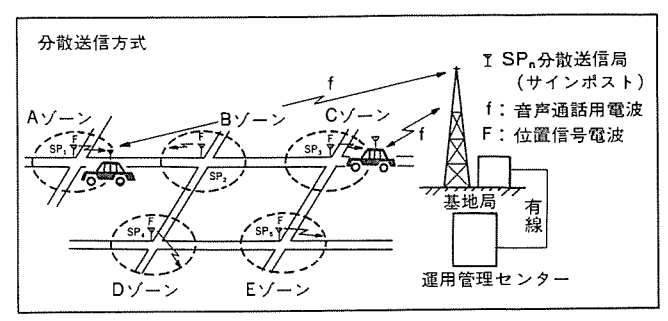
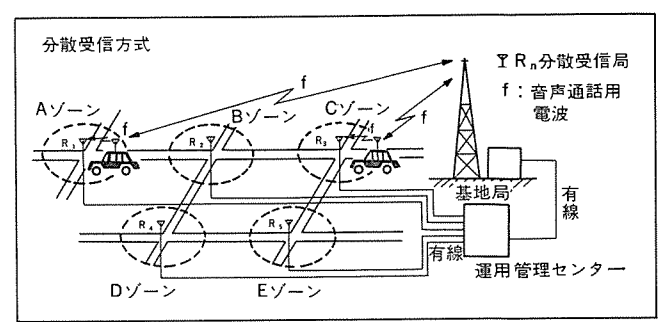


図 1. パトカー 動態表示 システム 系統





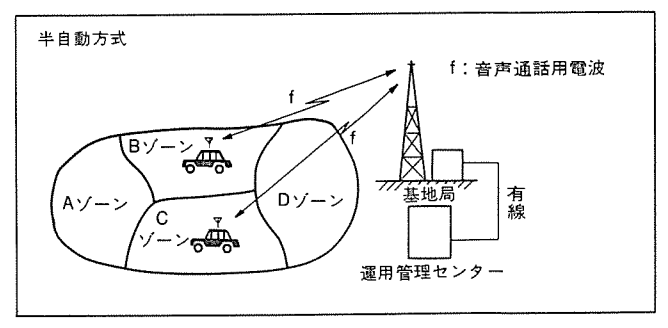


図 2. 方式比較図

表 1. 方式比較表

	設	储	電	波	通話と の混信	車上情報 設定操作	位置情報 管理区分	使用地域
分散送信方式	地上設インがの共の能	スト) , 多数	波と位	i話用電 電信号 が必要	有り	位置:自勁 活動状況 :手勁	サインポス ト単位	サインポスト 設置地域
分散受信方式	地上設 インポ と有線 線が必	スト) 伝送回	音声通 波利用	話用電	有り	位置:自動 活動状況 :手動	サインポス ト単位	サインポスト 設置地域
半自動方式	地上設 要 経済的	備が不	音声通 波利用 経済的		有り	位置:手動 活動状況 :手動	自由に設定 可能と情報 伝達の確認	通話可能地域

概要を図 2. 方式比較図, 表 1. 方式比較表に示す。 これらは一長一短があるが,経済性と既設装置とのマッチングの点で,③半自動方式が有利である。また将来,①分散送信方式との併用も考えられる。 2. 3 運 用

この システムは、通信指令 センター において他 システム との組合せによ

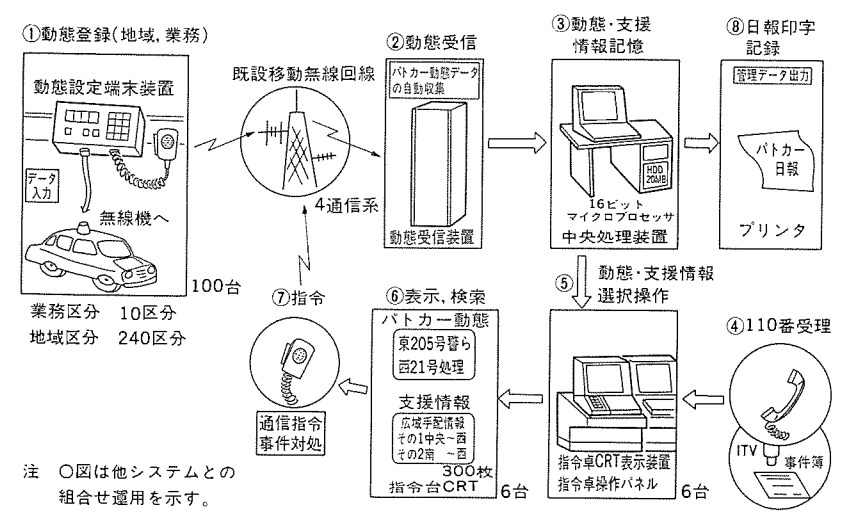


図 3. 機能と運用例(千葉県警察本部納入例)

り次のように運用される。図 3. に機能と運用例を示す。

- (1) データ 入力系統(数百台の パトカー の データ 収集)
 - (a) 動態登録(図 3.①)

パトカー に搭載の端末設定装置の スイッチ 設定と半自動 データの送 出。

(b) 動態受信(図 3. ②)

既設移動無線回線による自動 データ 収集, 回線は音声と共用。

(c) 動態・支援情報(図 3. ③)

動態受信 データ 及び 時刻 データ から CPU データ 処理を行い記憶す る。

- (2) 事件発生と対処
 - (a) 110番受理(図 3. ④)

電話による事件データは、表又は文書により ITV 画像又は音声に て指令台へ伝えられる。

- (h) 動態·支援情報選択操作(表示, 検索)(図 3. ⑤) 指令卓上の操作パネル, CRT 表示にて選択操作を行い, 必要データ を選択する。
- (c) 通信指令(図 3.⑦)

音声通話によりパトカー乗務員へ指令を発し、事件対処へと導かれ る。

- (3) 管理 データ 作成
 - (d) 日報印字記録 (図 3. ®)

収集されたデータ又は登録し動態データを日報印字する。

2.4 特長とこのシステムの導入効果

この システム は 16 ビットマイコン による処理装置と伝送装置との組合せ により,

- (1) 大容量・多機能処理
- (2) 操作性

: 漢字表示と専用操作卓

(3) 経済的な システム 構成

:多数の端末からの オンラインリアル タイム な データ 自動収集,経済的 た端末装置

(4) 安定した移動無線利用技術: 既設通話用移動無線に適用可能

な MODEM と 5 ビットバース誤り 訂正符号の採用による高信頼度

回線設計

を可能とした。

この システム 導入効果としては次のとおりである。

- (1) 自動化,能率向上
 - ・多数の パトカー の データ 収集の自動化
 - 車両管理の合理化
 - 通信指令業務の能率化
- (2) 効率化(他 システム との連繫により)
 - パトカー の効率運用
 - 緊急事態対処
- (3) 高度利用
 - ・正確・敏速な データによる状況の把握
 - 各種支援情報の利用
 - ・パトカー の システム 運用
 - 3. システム構成例 (千葉県警察本部納 入システム)

この システム は中央設備系統と車載設備系統とに大 別でき、中央設備は中央処理装置と動態受信装置で構成する。図 4. に中央設備系統を、図 5. に車載設備系統を示す。主な容量、構成、 仕様は次のとおりである。

3.1 システム容量

千葉県警	目	Ę	項
200 台	王両	扱 車	取
(100 台分納入)			
240 区分	区分	車位置	在工
40 管轄×6 地区			
10 区分	分	務区	業
4 系統	系	信	通
6	装置	R 表示	CT:
10 種	種別	爰情報	支持
300 枚	画面	"	

3.2 構成と主な仕様

この システム の構成と設備の主な仕様を表 2. に示す。

- 3.3 個別仕様,機能
- 3. 3. 1 動態設定端末装置
- (1) 構造(図6.参照)
- (2) 無線機 インタフェース

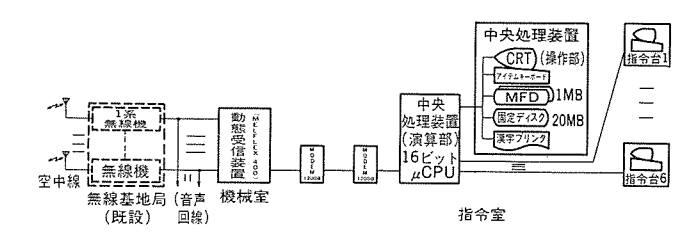


図 4. 中央設備系統

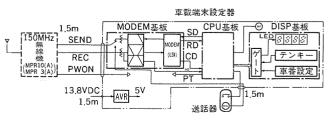


図 5. 車載設備系統

三菱電機技報 · Vol. 57 · No. 2 · 1983

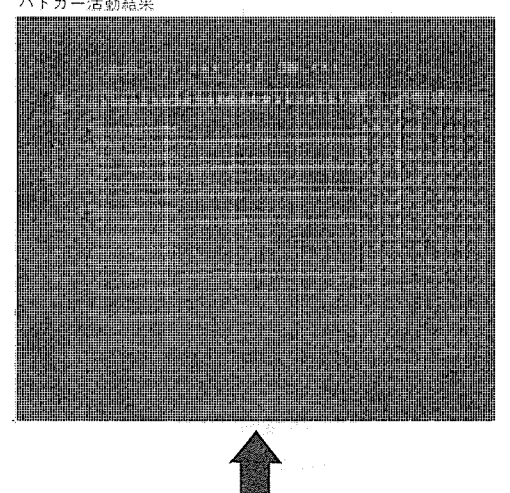
(a) 適用無線機

: MRP・3 又は MPR・10(A) 形

表 2. 構成と主な仕様

主要設備	装 置 名	主 な 容 量・機 能	数量
中央処理装置 (処理部)	CPM-4 D 主メモリ容量 補助メモリ	(16 ビット µ CPU) ミニコン 512 K バイト フロッピディスク (1 MB) 固定ディスク (20 MB)	1式
(操作部)	アイテムキー ボード	シート・カートリッジ 20ページ アイテム キー 160 個 テンキー 15 個 ファンクションキー 10 個	1式
	漢字ブリンタ CRT	印字速度 120字/秒 (** 55字/行) 画 面 12インチモノクロ80字×20行 (漢字40字×20行) 字 種 256種+漢字4,000種 (16×16	
(指令台)	キーボード CRT	ドット) 操作内容 登録,表示,呼出,日報,支援 情報 呼称/管轄指定 50 区分 (25×2 個) 業態/支援 10 区分 希号 設定 デンキーによる車番,地区支援 ページ設定 通信系別談 最大4 系統 (操作部)の CRT に同じ	5式
动 態受信装置	構 成 回線容量 車両 " 対 CPU 伝送	MELFLEX 500 (データ伝送装置) 4 回線 (ZOFZ 悲板枚数による) 200 台 (最大 500 台) 30 秒ごとデータ伝送 1,200 BPS	1式
助態設定端末 装置	設定項目 表示項目 伝送項目	位置情報 (管轄 00~79, 地区 0~9) 業務內容 (業態 0~9) 車両番号 (0000~9999 半固定) (設定項目に同じ)	大 891

バトカー活動結果





中央処理装置

る。

- (b) 接続方法 :送話器と無線機の間にこの装置を接続す (c) 信号入出力規格:入力 $\cdot 3$ 形 -5 dBm (600 Ω)
 - •10形 -15dBm (600Ω)
 - 出力 · 3形 9 dBm (600 Ω)
 - 10 形 -15 dBm (600 Ω)

(3) データ 設定方法

- (a) 位置情報:管轄 (BCD 2桁), 地区 (BCD 1桁) の テンキ ースイッチ 設定, LED 数値表示有り。
- (b) 業態情報:業態 (BCD 1桁) の テンキースイッチ 設定, LED 数値表示有り。

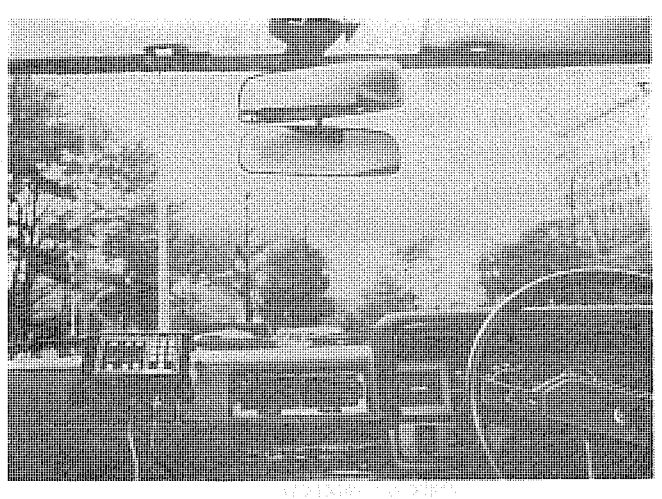
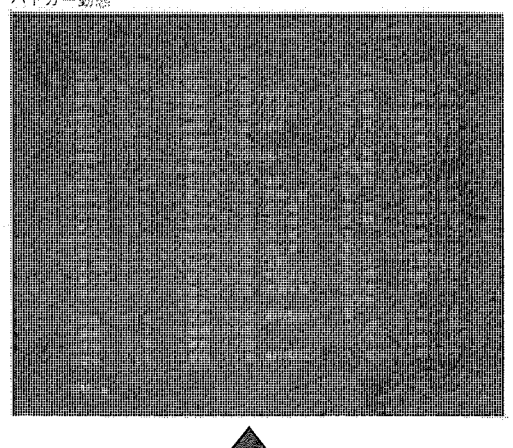


図 6. 動態設定端末装置







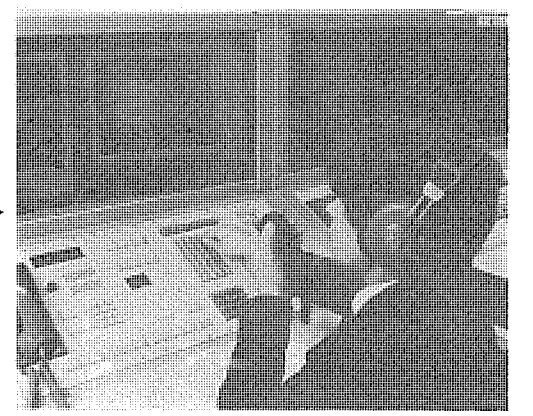


図 7. 中央処理装置と指令台

- (c) 送信条件:①設定変更を行ったとき,②同一設定内容が30 分以上経過したとき,①及び②の条件にてプレス 動作完了時送信する。
- 3. 3. 2 動態受信装置
- (1) 構造 600 mm(W)×450 mm(D)×2,000 mm(H)
- (2) 通信制御方式
 - (a) 常 時 動態設定端末装置からの受信待ち。
 - (b) ポーリング

起動条件: CRT 表示装置からの信号指示。

再呼方式:1巡回後不受信車をまとめて再呼する。

対象局 : 全局又は個別。

- (3) 無線機との インタフェース 3.3.1 節(2)に同じ。
- 3. 3. 3 中央処理装置, 指令卓
- (1) 構造(図7.参照)
- (2) 動態表示内容
 - (a) 管理対象

在車位置:警察署の管轄区域が基本単位(表 3. 区域分割例参

照)

業態:遂行中の業務内容(表4・業態区分例参照)

その他 :上記 データ に データ 発生時刻を付加

(b) 利用形態

表 示 : 車ごとの現状動態, 時刻を該当条件にて表示

- 管轄区域区分
- ・管轄区域と地区区分
- ・管轄区域,地区と業態区分

呼出し : 該当条件の車を無線を通して呼出し,直接端末設定 装置から データ 収集する。

表 3. 区域分割例

通信系	管		结					ż	i <u>t</u>			Ø	2			
四日林	3- F	区	坡	名	第	1 地区	第2地	区	第3	地区	第4	地区	第	5 地区	第	6地区
	11	中		央	-	西	東		中	央	駅	前				
	12		西													
	13		南		1											
	14		北													
千葉1系	. 15	市		原												
丁栄・ボ	16	木	Ę	盘												
	17	富		潍												
	18															
	19															
	20															
	21		柏													
-C -M: 0 -77	22	我	孫	子												
千葉2系	23	流		Ш	ĺ											
	24	松		戸												

表 4. 業態区分例

э -	業	態	表 示 用略 号	偏 考
1	藝	B	ラ	
2	110 番	処理	Ŀ	
3	処	理	シ	
4	検	問	ケ	
5	待	機。	g	
6	休	憩	ャ	
7	緊	活	÷	
8	特	活	١.	
9	7 0) 他	ソ、	
0	休	紡	۵	入庫,休車,故障,無指定等
_	点	検	テ	登録前の初期設定(勤務開始時刻)

(ポーリング 呼出し)

- 全車対象
- 同一地域対象
- 特定の一車対象

予定登録: 当日の勤務予定をあらかじめ入力し,次の日勤務予 定と実績とを勤務例一覧表として日報作成する。業 態実績は30分単位。また業態実績登録もできる。

- (3) 支援情報表示内容
 - (a) 情報の種別

情報の種別 区分方法 情報量 備 考 緊 配 管 轄 単 位 6ページ/管轄 徒歩, 車-15分経 過, 車-30分経過 各 2ページ

広域手配 全県を7区分 3ページ/区分 乗物情報 管轄単位 2ページ/管轄 支 揮 事 案 単位 4ページ/事案

(b) 利用形態

CRT 表示装置を利用して大目次から小目次まで,順次選択表示して必要情報を取出せる。

4. 回線·符号伝送方式

- この システムの データ 収集の自動化の主要 テーマ として,
 - ①経済的な端末の開発
 - ②高信頼度・安定した無線回線利用技術
 - ③高信頼度符号伝送方式の開発
- があった。主に次のとおり対処した。
 - ①μ CPU によるボードの開発(小形・軽量・低消費電力化)
 - ②新開発の LSI MODEM (M 54930 P) の利用
 - ③回線監視の実施,そのための BPF, BEF の自動設計回路の 利田
 - ④5ビットバースト誤り訂正符号(擬巡回符号)の採用
- ⑤高信頼度伝送方式の開発と シミュレーション 実施 詳細内容は次のとおりである。

(1) 回線設計

無線機入出力レベルの型式差異による切換えは、内部切換スイッチにより切換えるとし無調整にて設計した。余裕は、

送信 レベル 変動 ±2 dB 無線機による変動 ±6 dB

とした。

(2) 回線監視 レベル

信号検知 レベル: 標準 -15 dB 以上 雑音 ": "-10 dB 以上

- (3) バンドパス, バンドエリミネータ 特性 各々 30 dB ゲイン の アクティブフィルタ 使用
- (4) 符号方式
 - (a) 前提条件

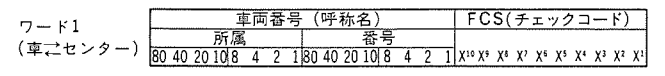
S/N : $12 \, \mathrm{dB}$ 以上(無線出力 レベル) 符号誤り発生率 : 5×10^{-3} 以下($= \alpha \cdot Pe$)

受信率 : 90 %以上

見逃し誤り率(誤受信率):10-4以下

(b) 符号伝送方式

同期 1 1 1 1 1 0



FCS(チェックコード) 遊能 管轄 地区 (車→センター) X10 X9 X8 X7 X6 X5 X4 X3 X2 X1 制御* (センター→車) 1 X10 X9 X8 X7 X6 X5 X4 X3 X2 X1 1 8 4 2 1 8 4 2 *送信要求 1,受信確認 (ACK) 2

アイドル 0000000000 (ビット構成)

図 8. 伝送符号 フォーマット

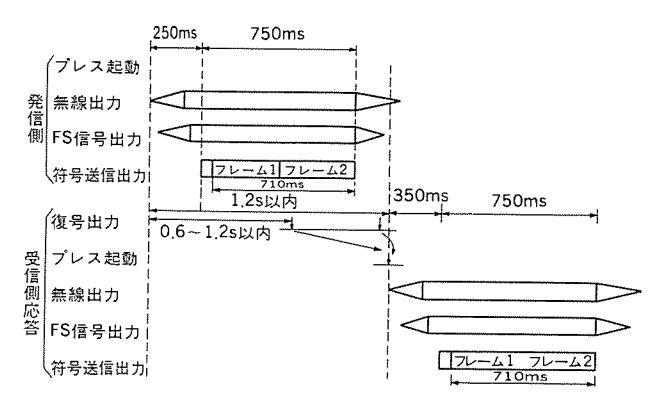


図 9. 通信所要時間図

表 5. 回線品質と MODEM 特性 (仮定)

No.	無線機出力 の (S/N)	MODEM BPF 改善(S/N)	ビットエラー レート (Pe)	符号エラー発 生率 (α·Pe)	偷 考
1	7 dB	15	3.16×10-2	6,32×10 ⁻³	①バースト発生率 α=0.2 とした
2	10 dB	18	1.58×10-2	3.17×10 ⁻³	(平均5ビット 長)
- 3	12	20	10-2	2.0×10 ⁻³	②すべてIIビット 以下とした。
4	17	25	3.16×10 ⁻³	6.32×10 ⁻⁴	12ビット以上 があっても見逃 し誤り率を無視
5	22	30	10-3	2.0×10 ⁻⁴	できるほど小さ いとした。

符号化形式:NRZ 等長符号

符号方式 :符号長,データ 長, 訂正可能な バースト 長に対して (27, 16, 5) の擬巡回符号。生成多項式として、

 $G(X) = (X^{10} + X^8 + X^7 + X^5 + X^4 + X^3 + 1)$

(X+1) を使用

(c) 誤り訂正能力

5 ビット以下の単一バーストエラーをすべて訂正可。

(d) 誤り検知能力

①11 ビット 以下の単一 バーストエラー, ②27 ビット 中 3 ビット 以下の重 なり ビットエラー、③27 ビット 中奇数の重なり エラー、 ④ 2 ビット 以下 の二重 バーストエラー。

なお 27 ビット 中 4 ビット 重 な り エラー に対しては 99.982 % 誤り

表 6. バーストエラー に対する見逃し エラー と修正率 (5 ビット以下 バースト 発生率 α · Pe に対してのみ計算)

重なりバースト 発 生 数	見逃しエラーの場合の数 y	修	Œ	率	
発生数	兄巡しエラーの 樹古の数 1	Æ β1	課 β2	計β	
1	0	1.0	0	1.0	
2	$\frac{27 \text{ C } 2}{210} = 0.343$	0.008	0.348	0,356	
3	$\frac{27 \text{ C } 3}{210}$ = 2.85	0.04	0.34	0.38	

注 (1) 1,000 回の試行により算出した。

(2) すべてパーストエラーによる発生と考え、平均パースト長6, ただし、バ ースト発生率 0.2 とし,重なりバースト発生数2の諸元を採用した。

表 7. ランダムエラー に対する見逃し エラー と修正率

重なりエラー	見逃しエラーの場合の数 y	修正率					
ピット数	見過しエクーの場合の数~	Ε β ₁	誤 β2	計β			
		n == 27					
1	0	1.0	0	1.0			
2	0	0.320	0.115	0.435			
3	0 (パリティなし時総数 7)	0.058	0.340	0.398			
4	3/27 C 4 (=0.000171)	0.011	0.403	0.414			
5	0 (パリティなし時総数 45)	0.002	0.384	0.386			

表 8. 伝送方式の シミュレーション 結果

S/N	ビットエラ 一率 Pe	受信率 PR	正受信率 PRR	誤り受信率 PRE	
7 (dB)	3.16×10 ⁻²	0.8453	0.8446	6.25×10-4	不受信率 <i>PNR</i> =1- <i>PRR-PR</i> E
10	1.58×10 ⁻²	0.9347	0.9345	1.56×10-4	S/Nは無線機出力
12	1.0×10 ⁻²	0.9621	0.9620	6.26×10-5	バースト発生率 α=0.2 を採用
17	3.16×10-3	0.9894	0.9894	6.25×10 ⁻⁶	
22	1.0×10 ⁻³	0.9968	0.9968	6.26×10 ⁻⁷	

検知可能である。

(e) 同期方式

±10 ビット以内の誤同期の バックアップ。

(f) 符号構成

図 8. による。

(g) 通信所要時間 図 9. による。

(h) シミュレーション 結果 表 5.~表 8.

符号の受信過程から表 5.~表 8. に回線設 (i) 実測結果 計例を示す。

大部分の通話可能地域においてデータ伝送可能であることを確認 できた。

5. む す び

以上パトカー 動態表示 システム の概要と、 千葉県警察本部導入 システム の概要について述べた。 まだ実施例において データ 収集の自動化を 含めたものは少ないが、今後順次導入されるものと思われる。今後 も経験の積重ねにより更によりよい システム へと発展させたい。

終わりに上記システムの設計、施工に御指導いただいた。警察庁通 信局及び関東管区警察局通信部の関係者各位に深く感謝する次第で ある。 (昭和57-11-24受付)

16KビットCMOSスタティックRAM

有田 豊*・河野芳雄**・浅井外寿**・茅野晋平**・舟越也寿宏*

1. まえがき

スタティック RAM は、ダイナミック RAM に比べて タイミングが簡単であるため、マイクロコンピュータ 用の メモリ として広く利用されている。 との中で、 CMOS スタティック RAM は動作時の電流が小さく、 また スタンドバイ 時の電源電流が極めて少ないため、電池駆動あるいは電池 バックアップ による不揮発性 メモリ 装置などに応用されている。

従来,CMOS スタティック RAM は,集積度に関し NMOS スタティック RAM に比べると不利なため,価格的に有利な NMOS スタティック RAM が市場の大半を占めていた。しかし徴細化技術の進歩により,CMOS RAM の大容量化が可能になると,消費電力の点で有利な CMOS RAM が脚光を浴び始めた。メモリ IC は常に大容量,高速化への道を歩んでいる。 CMOS RAM も例外ではなく,マイクロコンピュータ の高性能化,またその応用 システム の高級化に伴い,大容量,高速 CMOS RAM が要求されるようになった。

当社でも,既に 4 KCMOS RAM を量産しているが, とのような市場要求 を満たすため, その後継機種として 16 KCMOS RAM $(M\,5\,M\,5116\,P$ $_{9\,9\,-}$ $_{7})$ の開発を行った。

2. 製品概要

 $M\,5\,M\,5116\,P\,$ シリーズ は、シリコンゲート CMOS プロセス で作られた 2,048 語 $imes\,8\,E_{\,\,\,\,\,\,\,\,\,\,\,\,\,\,\,\,}$ 構成の $16,384\,E_{\,\,\,\,\,\,\,\,\,\,\,\,\,\,\,\,\,}$ 完全 CMOS スタティック RAM である。 との シリーズ の主な特長を表 1. に示す。 図 1. に ピッ 配置図を示す。

表 1. M5M5116Pシリーズの主な特長

- ●+5V単一電源
- ●高速アクセス

120 ns, 150 ns, 200 ns

●低消費電力

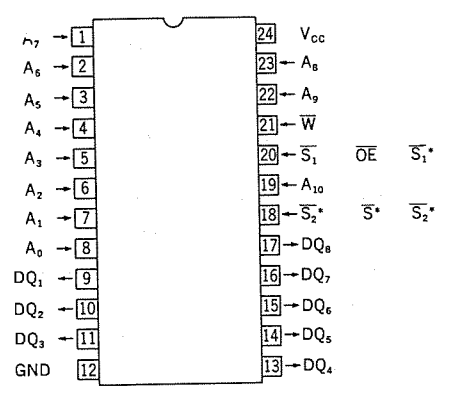
動作時 30 mA (typ.)

スタンドバイ時 20 nA (typ.)

- ●クロック不要
- ●+2Vの電源電圧でデータ保持可能
- ●入出力とも TTL 直結可能
- ●豊富なシリーズ

M5M5116P, M5M5117P, M5M5118P

●24 ピンプラスチック DIL バッケージ



注 ・パワーカット機能有り

5116 5117 5118

図 1. ピン配置図

表 2. 機 能 表

			200	10%	130 32				
$\overline{S_2}$	Sı		M 5 M 5116 P/5118			M 5 M 5117 P			
(S)	(OE)	w	モード	DQ	Icc	モード	DQ	Icc	
Н	Х	X.		髙イン	スタンド バイ	非選択	高イン ピーダ	スタンド バイ	
L	Н	Н	準選択	ピーダ	動 /スタン		シス		
L	Н	L		ンス	作/ドバイ*	ライト	Din	助作	
L	L	L	ライト	Din	動作				
L	L	H	リード	Dout	ayu TF	リード	Dout		

注 () は5117 に対応

* は 5118 に対応

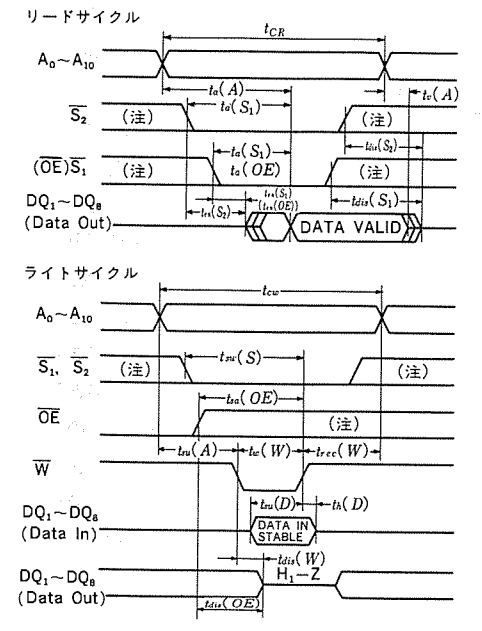
とのシリーズは、20番ピッの機能の違いにより、表2.に示すように3品種に分類される。5116と5118は二つのチップセレクト信号入力 \overline{S}_1 、 \overline{S}_2 を持っている。5118は \overline{S}_1 、 \overline{S}_2 ともパワーダウッの機能が与えられている。5116は、 \overline{S}_2 にパワーダウッの機能が与えられているが, \overline{S}_1 にはその機能が与えられていない。その代わりに、 \overline{S}_1 からのアクセス時間が, \overline{S}_2 あるいは、アドレスからのアクセス時間の約1/2と非常に速くなっている。したがって低消費電力が要求されるような応用システムには、5118 が便利であり、チップセレクトからのアクセスが高速を要するような応用 システムには 5116 が適している。一方、5117は 20 番ピッが \overline{OE} 端子となっているため、これにより入出力バス上でデータの競合を防止できる。

3. 製品仕様

図 2. に gイミング 図を示す。書込み時には rドレス 信号 A_0 ~ A_{10} で番地を指定し, チップセレクト 信号を "L" にして, チップ 選択状態にし, ライトイネーブル 信号 \overline{W} を "L" にすると,そのときの \overline{DQ} 端子の データ が書込まれる。M 5 M 6 M 6 M 6 M 6 M 6 M 6 M 6 M 6 M 6 M 6 M 6 M 6 M 6 M 7 M 6 M 7 M 7 M 7 M 7 M 8 M 7 M 8 M 9

読出し時には、 \overline{W} 信号を "H"、 チップセレクト 信号及び \overline{OE} 信号を "L"にして、 \vec{r} ータ入出力端子 DQ を出力 \vec{t} ードにし、 $A_0 \sim A_{10}$ で \vec{r} アドレス 番地を指定すると、 指定された番地の \vec{r} ータ が DQ 端子に出 カネれる。

チップセレクト信号を "H" レベル にすると、チップ は読出しも、書込みもできない非選択状態になる。このとき、出力は高インピーダンス状態になるので、他のチップの出力端子と ワイヤード OR が可能である。またこのとき、5116/5118 では \overline{S}_2 、5117 では \overline{S} を Vcc レベル にした場合、電源電流が極めて小さい スタンドバイ 状態になる。 このとき電源電流は 20 nA(typ.) と極めて少ない状態となり、電源電圧を最小 2 V に下げても記憶 データ は保持されるので、 停電時の バッテリバックアップ、あるいは非動作時の パワーダウン が可能である。 表 3.、表 4. に電気的特性の規格値を一覧表にして示す。



注 *H*, *L*いずれの状態でもよい

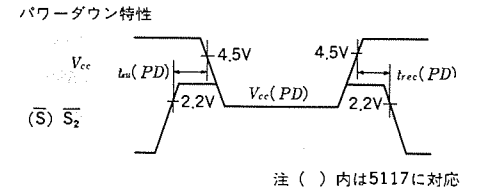


図 2. タイミング 図

4. 回路設計

4. 1 回路構成

図 3. に M 5 M 5116 P の ブロック 図を示す。 5117 及び 5118 は モード 選択回路の ロジック が 異なるほかは、 すべて 5116 と同じである。 各 ビット は 128 行×16 列の メモリセルで構成され、 全体で 128 行×128 列の メモリセルで構成され、 全体で 128 行×128 列の メモリセルマトリクスとなる。 行アドレスには A3~A9 信号が割当てられている。 また列アドレスには、 A0~A2 及び A10 信号が割当てられている。 スタンドバイ時には電源電流が流れないよう、 すべての電流経路はチップセレクト信号によって遮断されるようになっている。 また使いやすくするため、すべての回路は、クロック 信号の不要な非同期回路で構成されている。

4.2 低電力化と高速化

表 3. DC 特性の規格一覧

絶対最大定格

記 号	項	目	条件	定 格 値		
V_{CC}	電源電圧	(V)		-0.3~7		
V_I	入力電圧	(V)	GND 端子を基準とした場合	-0.3~Vcc+0.3		
V_0	出力電圧	(V)		0~Vcc		
P_{o}	最大消費電力	(mW)	<i>T</i> _a =25°C	700		
Topr	動作周囲温度	(°C)		0~70		
T_{stg}	保存温度	(°C)		-65~150		

推奨動作条件(指定のない場合は, $T_a=0\sim70^{\circ}$ C)

記 号	項	E	規	格	値
記しつラ	Д	Ħ	最小	摂 準	最 大
Vcc	電源電圧	(V)	4.5	5	5.5
GND	電源電圧	(V)		0	
V_{IL}	"L"入力電圧	(V)	-0.3	-,	8,0
V_{IH}	"田"入力電圧	(V)	2.2		Vcc+0.3

電気的特性(指定のない場合は、 $T_a=0\sim70$ °C、 $V_{cc}=5$ V±10%)

記 号	項	E	測 定 条 件	规	格	値
nc 7	34	Ħ	阅定杂件	最 小	標 準	最 大
V_{IH}	"H"入力電圧	(V)		2.2		Vcc+0.3
V_{IL}	"L"入力電圧	(V)		0.3		0.8
Voн	"H"出力電圧	(V)	I _{OH} =-1 mA	2.4		
Vol	"L"出力電圧	(V)	IoL=2.1 mA			0,4
Ιι	入力電流	(μA)	$V_i = 0 \sim V_{CC}$			±1
Іогн	オフ状態"H" レベル	出力電流(µA)	\overline{S}_1 or $\overline{S}_2 = V_{IH}^*$, $V_0 = 2.4 \text{ V} \sim V_{CC}$			1
IozL	オフ状態"L"レベル	出力電流(μA)	\overline{S}_1 or $\overline{S}_2 = V_{IH}^*$, $V_O = 0 \text{ V}$			-1
			$V_1(S_1) = V_1(S_2) = 0 \text{ V}^*$			45
Icc_1	電源電流	(mA)	出力端子開放	***************************************		45
			他入力=Vcc or 0 V		30	45
			$V_1(\overline{S_1}) = V_1(S_2) = V_{IL}^*$			50
I_{CC2}	電源電流	(mA)	出力端子開放			50
			他入力= <i>V</i> _{IH}		35	50
Icc3	スタンドバイ電源電流	(μ A)	S₂=Vcc-0.2V*, 他入力=0~Vcc			15
Icc4	スタンドバイ電源電流	(mA)	 			2
C_I	入力容量 (Tα=25°C)	(pF)	$V_1 = \text{GND}, V_1 = 25 \text{mVrms}, f = 1 \text{MHz}$			6
Co	出力容量 (Ta=25°C)	(pF)	$V_0 = \text{GND}, V_0 = 25 \text{mVrms}, f = 1 \text{MHz}$			8

- 注 (1) 電流は、IC に流れ込む向きを正 (無符号) とす。
 - (2) 標準値は Vcc=5V, Ta=25°C
 - (3) * は5117の場合下である。

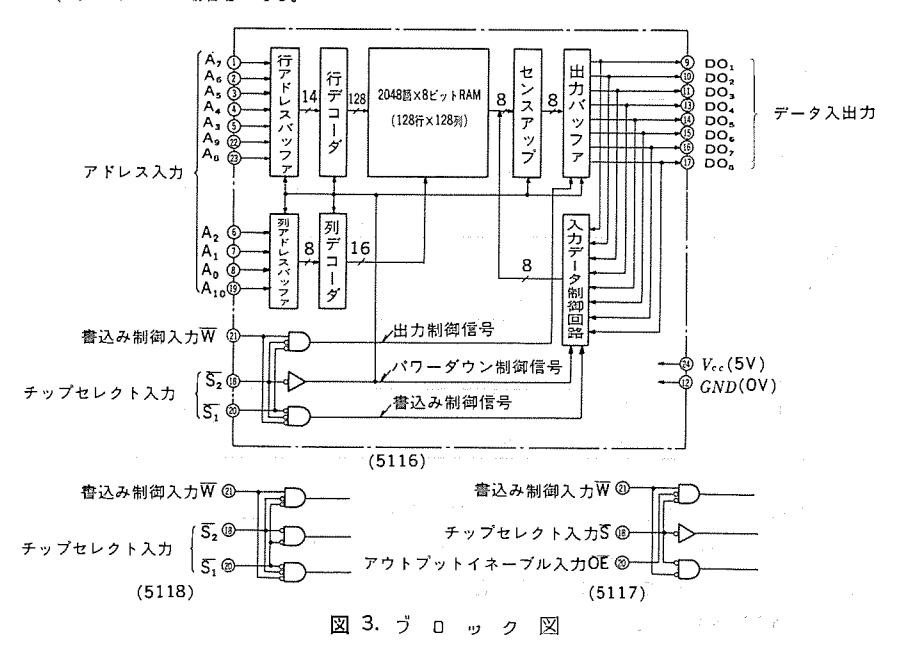


表 4. AC 特性の規格一覧

スイッチング 特性(指定のない場合は, T_a =0~70°C, V_{cc} =5 $V\pm10\%$)リードサイクル

			М	5 M 51	16 P	M	5 M 51	17 P	M	5 M 51	18 P
記 号	項目		規	格	値	規	格	値	規	格	値
			最小	標準	最大	最小	標準	最大	最小	標準	最大
tcr	リードサイクル時間	(ns)	200			200			200		
$t_{\alpha(A)}$	アドレスアクセス時間	(ns)			200			200			200
$t_{a(S1)}$	チップセレクト1アクセス時間	(ns)			100			_			200
$t_{a(S2)}$	チップセレクト2アクセス時間*	(ns)			200			200			200
tdis(S1)	チップセレクト1後出力ディスエーブル時間	(ns)			60						60
tdis(S2)	チップセレクト2後出力ディスエーブル時間*	(ns)			60			60			60
ten(S1)	チップセレクト1後出力イネーブル時間	(ns)	15			15			15		
ten(S2)	チップセレクト2後出力イネーブル時間*	(ns)	15			15			15		
$t_{v(A)}$	アドレス後データ有効期間	(ns)	20			20			20		
ta(OE)	出力イネーブルアクセス時間	(ns)			_			200			-
tais(OE)	出力イネーブル後出力ディスエーブル時間	(ns)						60			
ten(OE)	出力イネーブル後出力イネーブル時間	(ns)	_			15			_		

注 5117 の場合*印の項目は \overline{S} からのタイミングとなる。

タイミング 必要条件(指定のない場合は, T_a =0~70°C, V_{cc} = 5 $V\pm10\%$) ライトサイクル

			М	5 M 51	16 P	M	5 M 51	17 P	М.	5 M 51	18 P
記 号	項目		規	格	値	規	格	値	規	格	値
			最小	標準	最大	最小	標準	最大	最小	標準	最大
tow	ライトサイクル時間	(ns)	200			200			200		
$t_{w(W)}$	ライトパルス幅	(ns)	120			120			120		
$t_{su(A)}$	アドレスセットアップ時間	(ns)	0			0			0		
tsu(S)	チップセレクトセットアップ時間	(ns)	120			120			120		
$t_{su(D)}$	データセットアップ時間	(ns)	60			60			60		
th(D)	データホールド時間	(ns)	0			0			0		
trec(W)	ライトリカバリー時間	(ns)	10			10			10		
tsu(OE)	出力イネーブルセットアップ時間	(ns)	_			40			_		
tis(OE)	出力イネーブル後出力ディスエーブル時間	(ns)						60			_
tais(W)	ライト後出力ディスエーブル時間	(ns)			60			60			60
ten(W)	ライト後出力イネーブル時間	(ns)	15			15			15		

パワーダウン 特性

電気的特性(指定のない場合は、 $T_a=0\sim70$ °C)

a- 17	-	ы	7771		77	lil.		規	格		値	
記 号	項	B	測	定	条	件	最	小	標i	梅	最	大
Vcc(PD)	パワーダウン電源電圧	(V)					1	2				
		(7.7)	2.2 V≦	Vcc(PD)				2.2				
$V_{1(s)}$	チップセレクト入力電圧	(V)	2 V≦ V	CC(PD)≦	≦2.2 V				Vcca	PD)		
Icc(PD)	パワーダウン電源電流	(μ A)	Vcc=3	V, 他 <i>7</i>	(カ=3	V					1	0

注 \overline{S} を 2.2 $V(V_{IH}\,\mathrm{min})$ で動作させた場合, $V_{CC(PD)}$ が 4.5 V から 2.4 V の間の電源電流は I_{CC4} で規定される。

タイミング 必要条件(指定のない場合は、 $T_a=0\sim75$ °C)

a		200	定		(al-	規	格	値
記号	· 項 目	120	疋	米	71-	最 小	標準	最 大
tsu(PD)	パワーダウンセットアップ時間 (ns)					0		
trec(PD)	パワーダウンリカバリー時間 (ns)					tcr		

る。その結果,ワード線は左右どちらか一方しか選択されないので,ビット線の負荷トランジスタと選択された メモリセル を通じて流れる電流は,通常の回路と比べて 1/2 に減らすことが可能になる。

高速化の方法としては、ゲート長 3 μm の高性能 トランジスタ、アルミ

の二層配線技術など,最新の CMOS プロ セス 技術を用いるとともに, 回路的には 128 行×8 列の各 ブロック に, 一つの セン ス 増幅器を設けることにより、1ビット当 たりの浮遊容量を減らし高速化を図って いる。 tva 増幅器は, 高速化を図るう えで重要な回路である。M 5 M 5116 P シ リーズ では、 図 5. に示す高感度 センス 増 **幅器を使用している。これは、カレントミラ** - 回路と呼ばれる差動増幅回路であり、 CMOS IC では、電圧の比較回路として よく利用されている。 2.5~3.0 V の入力 信号に対し、感度と動作速度が最適とな るため、 xモリセル から読出された徴小な ビット線の電位変化を高速に検出すると とができる。

5. 製造プロセス

M 5 M 5116 P シリーズ に使用されている メモリセルは、4 KCMOS RAM (M 58981 P) と同様、6 個のトランジスタで構成された完全 CMOS 形の メモリセルである。 このセル方式は、負荷に高抵抗ポリ Si を用いた、いわゆる NMOS 形のメモリセル(1) と比較して集積度は劣る。しかしM 5 M 5116 P シリーズでは、電池 バックアップ時の性能を良くするため、スタンドバイ電流の少ない完全 CMOS 形のメモリセルを採用している。図 6. に メモリセルの回路図を示す。

16 KCMOS RAM では、この メモリセルを 4 KCMOS RAM の 4 倍搭載し、スピードも速くする必要がある。そのため、新たに $3 \mu m$ のデザインルールを基調とした高性能 CMOS プロセス の開発を行った。

表 5. に M 5 M 5116 P の プロセスパラメータ と従来の 4 KCMOS RAM の プロセスパラメータ を比較して示す。このような徴細化されたプロセスを採用することにより、メモリセルの面積は 30.5×41.0 μm² となり、4 KCMOS RAM の約 1/2 に縮小できた。またチップサイズは、4.80×6.49 mm² となり 4 KCMOS RAM の 1.6 倍のチップ面積の中に 4 倍のメモリ容量を搭載することが可能になった。

高集積, 高速化を図るためには, チ+ネ ル 長を短くする必要があり, 16 KCMOS RAM では, 表 5. に示すように従来の

 $5 \mu \text{m}$ から $3 \mu \text{m}$ (PMOS は $3.5 \mu \text{m}$) へと縮小化している。そのためには浅い拡散接合層と薄い f-1 酸化膜が必要であり、 拡散層の形成方法を従来のりん(燐)の熱拡散から、 ひ(砒)素の イオン 注入に変えることにより、接合の深さ x_i は $1.2 \mu \text{m}$ から $0.3 \mu \text{m}$ (p^+ の x_i

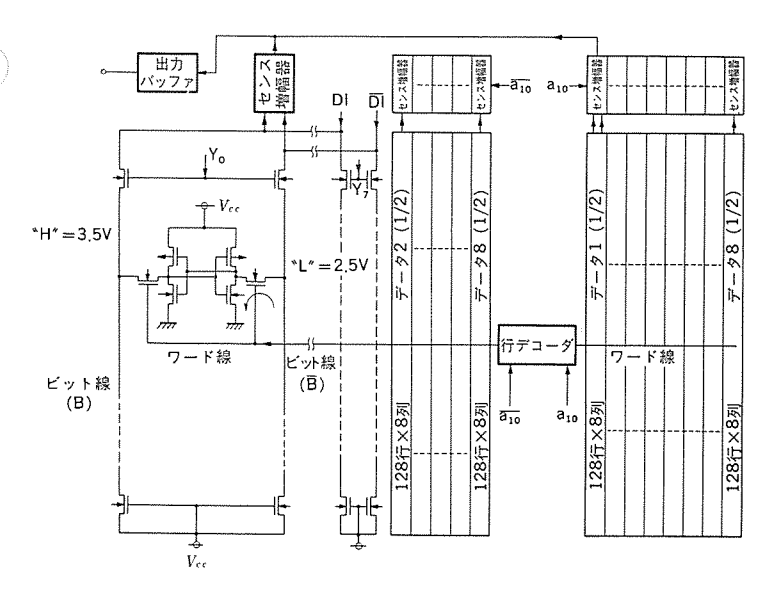


図 4. 読出し回路図

は $0.6~\mu$ m) と浅くなり,また f_{-} ト酸化膜厚は 400~Å と従来の 1/2~o厚さにしている。 その結果, トランジスタ の性能を約 4倍にすることができた。また,拡散層の接合容量を減らし高速化を図るため,高抵抗基板を使用している。

M 5 M 5116 P では集積度の向上を図るために、アルミの二層配線技術を用いている。ビット線に二層目のアルミ配線を利用することにより、ワード線方向のメモリセルサイズを20%縮小できた。これはまた、ビット線容量を減少させることができるため、アクセス時間の高速化を図るらえで効果がある。図7.にメモリセルの顕微鏡写真を示す。

表 5. プロセスパラメータ

	16 KCMOS RAM (M 5 M 5116 P)	4 KCMOS RAM (M 58981 P)
チャネル長(L) (μm)	NMOS=3.0 PMOS=3.5	NMOS=5.0 PMOS=5.0
ゲート酸化膜厚(tox) (Å)	tox=400	tox=800
ソースードレイン拡散不純物	N+:AS(イオン注入) P+:B(")	N*:P(熱拡散) P*:B(イオン注入)
ウェル(アイランド)	Nウェル	Pウェル
アルミ配線	二個配線	一層配線
メモリセル面積 (μm²)	30.5×41,0	45×59,5
チ ッ ブ 面 積 (mm²)	4.80×6.49	3.60×5.37

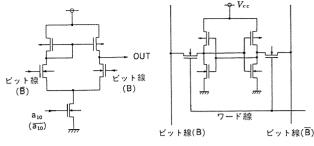


図 5. センス 増幅回路図

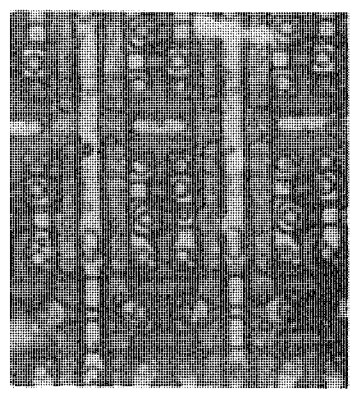
図 6. メモリセル の回路図

CMOS ICでは、同一チップ上にPMOSトランジスタとNMOSトランジスタを作るため、どちらか一方のトランジスタは、ウェルあるいはアイランドと呼ばれる基板の導電形と、反対の導電性を示す拡散層の中に作る必要がある。M5M5116Pでは、基板にP形シリコンを用い、ウェルにN形の拡散層を用いたいわゆる Nウェル方式を採用した。従来、Pウェル方式のCMOS ICのみが製造されていたが、イオン注入の技術が開発されて以来、MOSトランジスタのVTHの制御が自由に行えるようになったため、いずれの方式でも製造可能となった。それぞれに長所、短所及び回路に対する適、不適望が有るが、Nウェル方式の特長としては、NMOSとの共通性からNMOSプロセスと同一工程が利用できるという便利さがある。

図 8. に M 5116 P の断面構造を図示する。 図 9. に チップ 写真を示す。

6. 電気的特性

図 10.~図 13. に代表的な特性を示す。図 10. は チップセレクト 信号からの アクセス 時間の電源電圧依存性を示している。電源電圧が 5 Vで、 周囲温度が 25°C のときの アクセス 時間は約 100 ns である。 図 11.,図 12. に動作時、及び スタンドバイ 時の消費電流の温度依存性及び電源電圧依存性を示す。この グラフ より、 動作時の消費電流は標準条件で約 25 mA である。チップセレクト 信号を クロック 的に入力した場合、図 13. に示すように、チップセレクト 信号の サイクル 時間及びその デューティサイクル に応じて消費電流は減少する。そのため、チップセレクト 信号の デューティ を必要最小限の大きさにすることにより、その応用 システム の省電力化を図ることが可能である。 スタンドバイ 時の消費電流は、図 11.,図 12. から最悪条件で 170 nA、また標準条件では 7 nA である。これは電池 バックアップ により データ 保持する場合に十分な特性である。



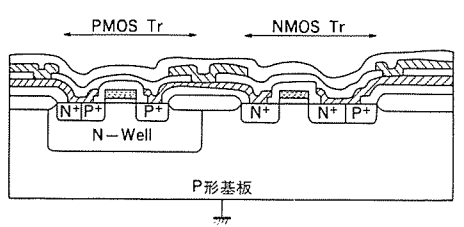


図 7. M5M5116Pの メモリセル の顕微鏡写真

図 8. 断面構造図

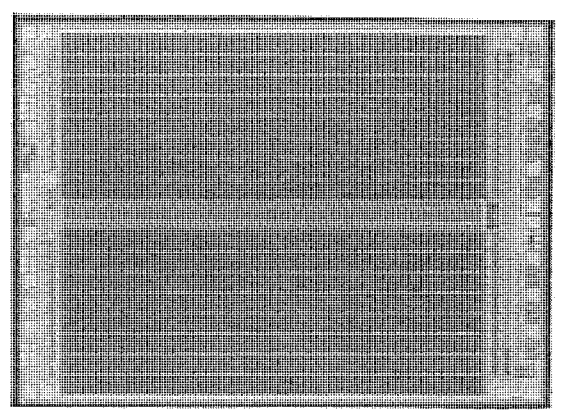


図 9. M5M5116Pのチップ写真

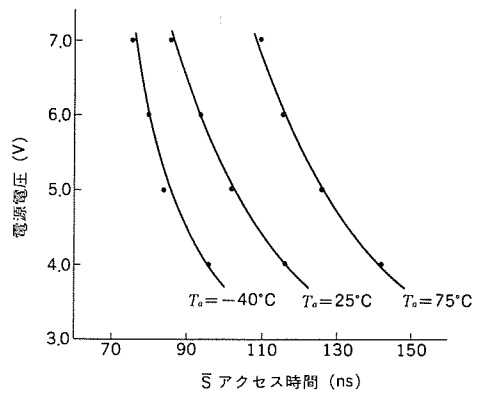


図 10. アクセス 時間の電源電圧依存性

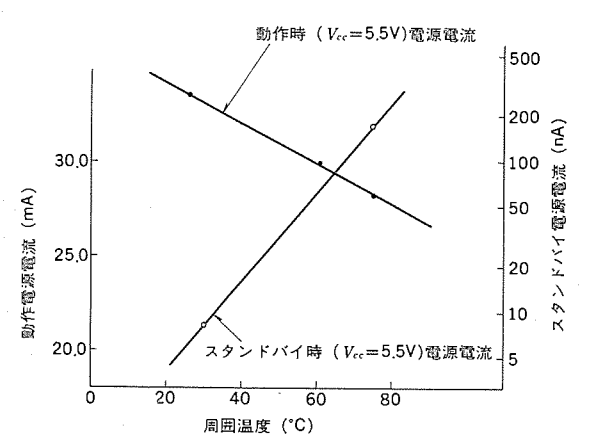


図 11. 電源電流の温度依存性

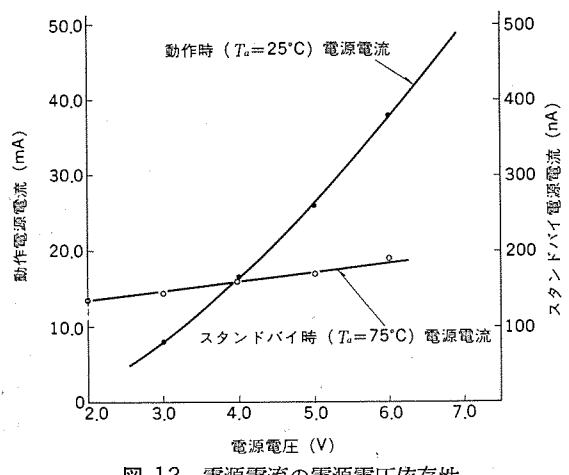


図 12. 電源電流の電源電圧依存性

CMOS RAM には ラッッチァッップ⁽³⁾ という CMOS 特有の問題がある。 これは、基板の比抵抗、 ウェル の不純物濃度、 ウェル の深さなどの プ ロセスパラメータに依存し、プロセスが徴細化すると ラッチアップ はより起こ りやすくなる。しかし M 5 M 5116 P シリーズでは、 パターンレイアウト に 細心の注意を払って設計を行った ため、 入出力端子での ラッチアップ

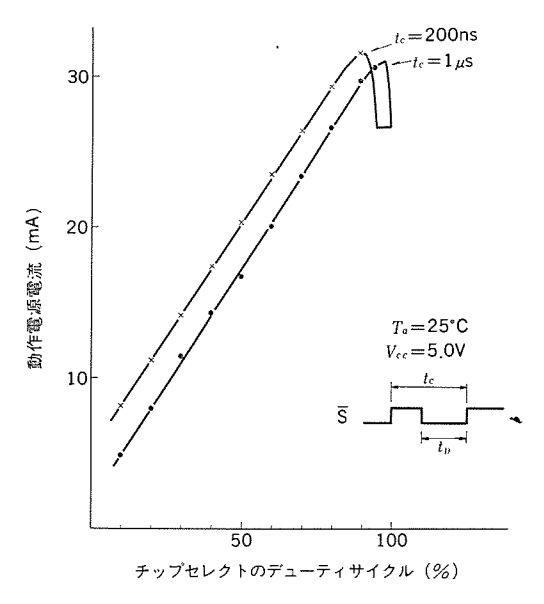


図 13. 動作電源電流 デューティサイクル 依存性

耐量は 200 pF の コンデンサチャージ で ±400 V 以上となり, 実使用上, 十分な特性にすることができた。

7. む す

CMOS RAM は、 抵消費電力という特長があるため、 電池駆動あ るいは電池バックアップによる不揮発性メモリ装置に応用されている。 CMOS RAM も他の IC メモリ 同様、 大容量、 高速化への強い市場 要求がある。 現在 4 KCMOS RAM が量産されているが、その後 継機種として、 2,048 語× 8 ビット 構成の 16,384 ビット CMOS RAM の開発を行った。当社は 16 KCMOS RAM の開発に際し、低消費 電力, 高速 アクセス, 集積密度の向上に主眼をおき, 回路設計の工夫 と 3 μm 系 CMOS プロセス 技術の確立を図り、 非同期式の完全 CM-OS 形の 16 KCMOS RAM を完成させた。

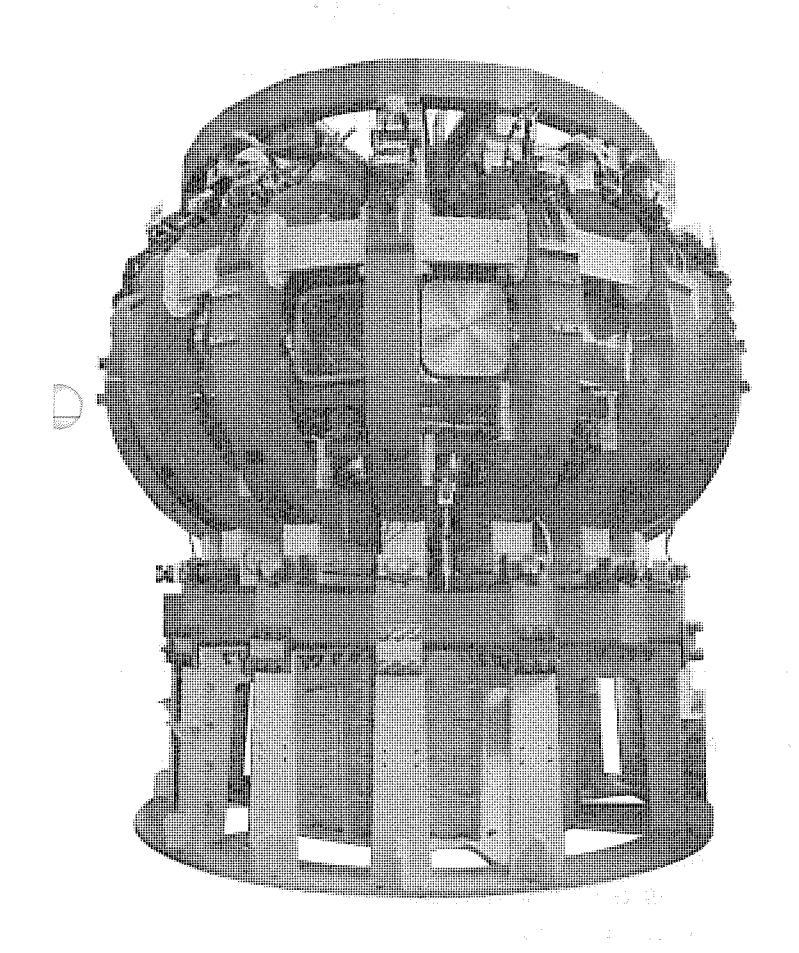
今後、パターンの微細化が進むにつれ、NMOS より電源電圧マージ υ, 消費電力の面で優れている CMOS がますます重要になっ てく ると思われる。そのためにも今後更に、製造技術、特に微細加工技 術の革新と回路設計技術の向上を図り、 大容量 メモリ の開発を推進 したい。

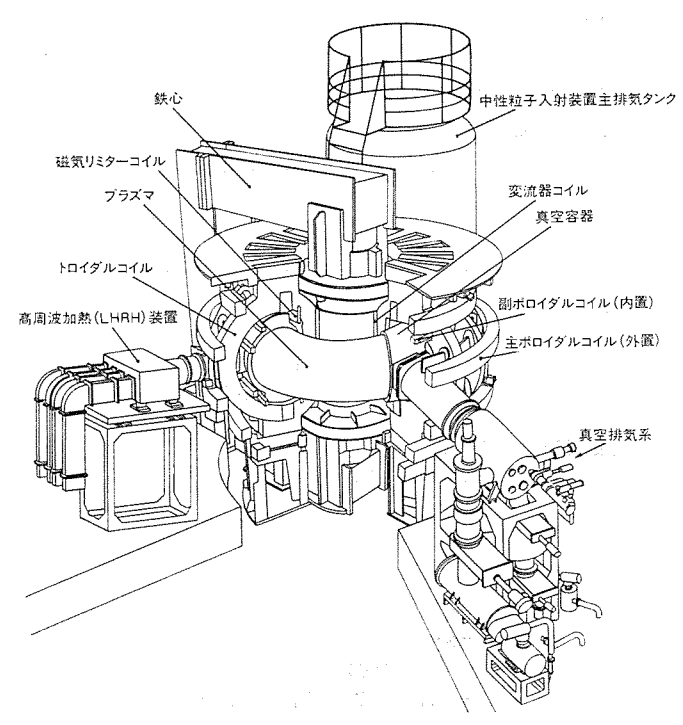
参考文献

- (1) 例えば増原ほか:16 K ビット CMOS スタチック RAM, 電子材料, P. 61 (昭 55-6)
- (2) 番山ほか: VLSI における CMOS 技術, 電子材料, P. 45 (昭 57-1)
- (3) 京増ほか: CMOS IC の ラッチアップ 現象の解析, Trans. IECE '78/2, Vol. 61-C No. 2, P. 106



核融合実験用高性能トカマク 開発試験装置〈JFT-2M〉





三菱グループ(三菱電機<株>、三菱重工業<株>、三菱原子力工業<株>)が日本原子力研究所(以下原研)殿より核融合実験装置として受注した、高性能トカマク開発実験装置《JFT-2M》を、このほど三菱電機<株>神戸製作所で装置本体の工場組立を終え昭和57年12月に出荷しました。

写真は本体主要部のトロイダルコイル、ポロイダルコイル、真 空容器、架台の工場組立写真です。

引き続き原研東海サイトにて据付・調整を行っており、昭和 58年3月に組立完了の予定です。

(1) この装置で計画されている研究課題は、

- ●プラズマの閉じ込め効率を高める(高ベータ化)のため、非円形断面(D形や楕円形)形状のプラズマの実現とその制御方式の簡素化。
- ●ICRF(イオンサイクロトロン周波数帯)によるプラズマ加熱(3~4keV)、LHRH(低域ハイブリット共鳴加熱)によるプラズマ電流 駆動の実証を行ない、核融合出力の定常化に関する技術の確立。
- ●燃料(水素)以外の不純物の低減や排出に関する対策とその確認。 となっており、核融合の研究・開発に主要な役割を果すことが期 待されています。

左図はJFT-2Mの鳥かん図、下表は装置の主要パラメータです。 本装置は、トロイダルおよびポロイダルコイル・鉄心・コイル励磁 用等の電源・制御設備を三菱電機〈株〉が、真空容器(内部品を含む)・架台を三菱重工業〈株〉が製作を担当しました。

(1)、図及び表は下記から引用しました。

日本原子力研究所:「核融合研究開発の現状」PP14-15.1982

JFT-2Mの主要パラメータ

4ji	Ħ	数 値
主 半 径	R(m)	1.25
断 前 積	2a (m)	0.60
断面高さ	2b(m)	1.00
非 円 形 度語		1.7
トロイダル磁場	Br(T)	1.5(*)
変流器磁束	(V•s)	2
第二段加熱	ICRF	4
(MW)	NBI	2
	LHRH	1
プラズマ電流	(MA)	0.5
Brフラットトップ	(s)	0.5~1
プラズマ温度	(keV)	3~4
プラズマ密度	(cm ⁻³)	1034
エネルギー閉込め時間	(s)	~0.05
ベータ値		-5%

*)4.5まで可

有償開放についてのお問合せ先 三菱電機株式会社 特許部 TEL (03) 218-2136

金属ハロゲン化物入り水銀ランプ (特許第1053753号)

発 明 者 竹 田 俊 幸·土 橋 理 博·馬 場 景 一

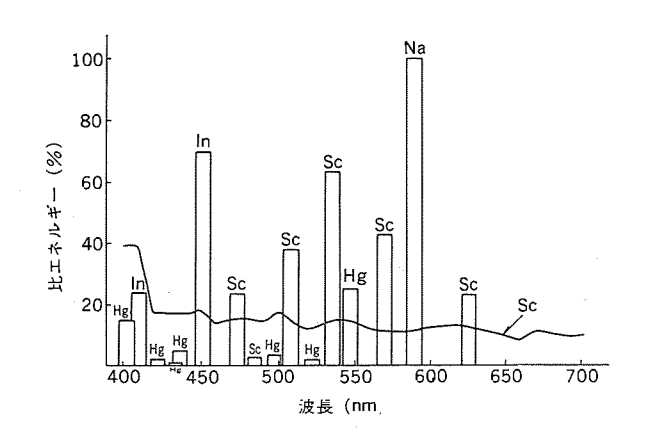
との発明は、発光効率、 演色性の向上及び光色を改善した金属 NO ゲン 化物入り水銀 ランプ に関するものである。

従来、金属 ハロゲン 化物入り 水銀 ランブは、発光管内に タリウムーナトリウムーインジウム、タリウムージスプロシウムーインジウム あるいは ナトリウムースカンジウムートリウム 等に組合せられた金属の ハロゲン 化物を添加していた。 この発明は、この従来の添加金属の組合せに代えて、発光管内添加封入物として、スカンジウム、ナトリウム、インジウム の ハロゲン 化物を用い、かつ発光管内容積 1 cc 当たり、 ハロゲン 化 スカンジウム を 0.2~4 mg、ハロゲン化ナトリウム を 0.4~6 mg、ハロゲン化インジウム を 0.03~0.65 mg 及び水銀を 0.7~6 mg 封入したことを特長とするものである。

発光管内容積 1 cc 当たり水銀 3.8 mg, Λ ロゲッ化 2 ND 7 ve 4 ve 4

したがって、この金属 ハロゲン 化物入り水銀 ランプは、従来のもの

に比べ、 演色性を犠牲にすることなく発光効率を 1.6 倍に向上させ、 しかも光源色をほぼ白色にする効果を有する。



〈次号予定〉 三菱電機技報 Vol. 57 No. 3 ファクトリーオートメーション(FA) 特集

特集論文

- ●ファクトリーオートメーション (FA) の現状と今後の動向
- ●FA, FMS 専用の新しいコンピュータシステム《FACTORY LAND シリーズ》
- ●三菱電機ロボット《MELFA》組立マテハンロボット RH・RL シリーズ
- ●三菱電機ロボット《MELFA》溶接ロボットシリーズ
- ❷炭酸ガスレーザ加工機
- ●金型加工における電気加工機
- ●新形数値制御装置《MELDAS-M 2》

●ファクトリーオートメーション (FA) 応用システム

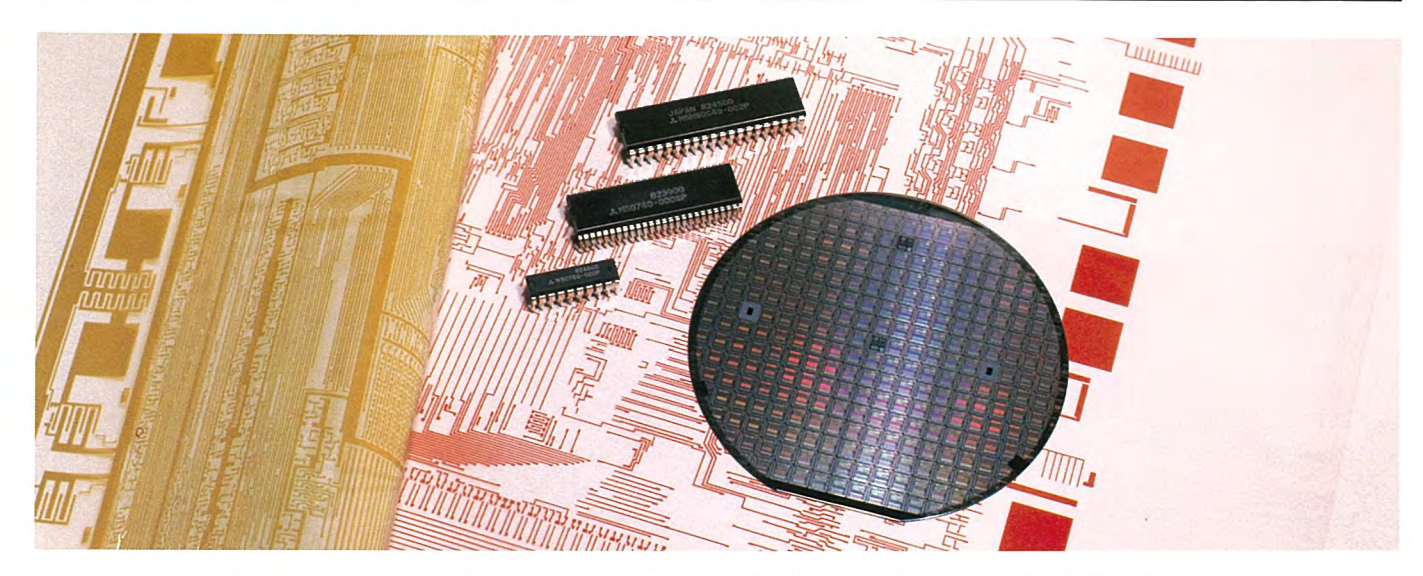
普通論文

- ●高速大容量二重重ね巻直流機の試作
- ●キュービクル形ガス絶縁変電所
- ●キュービクル形ガス絶縁変電所用ガスしゃ断器
- ●陸上掘削リグ用電機品
- ●MRT 形負荷時タップ切換器
- ●南極昭和基地設置計測処理システム
- ●衛星搭載フェーズドアレーアンテナ用小形ダイオード移相器

三菱電機技報編	集委員			三菱電機	技報:	57巻2	2号
委 員 長	志岐守哉	委 員	野村兼八郎				
副委員長	岸本駿二	"	山内 敦				昭和58年2月22日 印刷
"	三浦 宏	"	柳下昌平	(無菌	析転載	を禁っ	f) 昭和 58 年 2 月 25 日 発行
委 員	佐藤文彦	"	立川濟兵衛				
"	峯 松 雅 登	"	徳 山 長	編集	兼発征	亍人	諸 住 康 平
"	田中克介	"	柴山恭一	ÉD	刷	所	東京都新宿区市谷加賀町1丁目12番地
"	葛野信一	"	町 野 康 男				大日本印刷株式会社
"	井 上 通	"	荒野喆也	発	行	所	東京都千代田区丸の内2丁目1番2号 (〒 100)
"	阿部 修	"	瀬 辺 国 昭				菱電エンジニアリング株式会社内
"	吉田太郎	"	倉橋浩一郎				「三菱電機技報社」Tel.(03) 218 局 2 0 4 5
"	野畑昭夫	"	小原英一	発	売	元	東京都千代田区神田錦町3丁目1番地 (〒 101)
"	的場 徹	幹 事	諸住康平				株式会社 オーム社
"	尾形善弘	"	翠川 祐				Tel.(03) 233 局 0643(代), 振替口座東京 6-20018
		2 号特集担当	松島勇作	定		価	1 部 500 円送料別(年間予約は送料共 6,700 円)



C-MOSワンチップマイクロコンピュータシリーズ



「低消費電力で、しかも、使い易いワンチップマイクロコンピュータを」という声にこたえて、このたび三菱電機では、C-MOSワンチップマイクロコンピュータシリーズの大幅な拡充を図りました。

ポケットに入るような装置から、家電製品、事務用機器に至るまで、省エネルギー化の時代に適したC-MOS ワンチップマイクロコンピュータの幅広い応用に対応できるように準備しております。製品の省電力化、高機能化にお役立ていただけます。

特長

● M50760-×××P

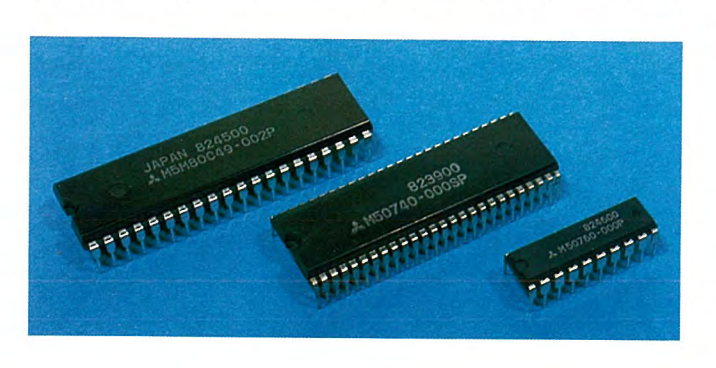
20ピンのDILパッケージに入った小形マイクロコンピュータです。 外付け抵抗による発振回路や12mAの電流を流し込むことができる 出口ポートなど、システムのコスト削減が期待できます。コント ローラとしても、ロジックICの置き換えにも利用できます。

\bullet M5M80C49- \times \times \times P

実績のある8048シリーズ、N-MOSワンチップマイクロコンピュータのC-MOS版です。このM5M80C49-XXXPでは、消費電力を更に削減するための機能(ホールト機能、スタンバイ機能)が追加されていますので、電池使用システムにも最適。

\bullet M50740- \times \times SP

多機能化・高機能化の進む応用製品に対応すべく、3KBのROMを 内蔵させました。タイマ3本を含む5本の割り込み機能に加え32



本の入出力ポートは、専用入出力拡張IC《M50790SP》によって、 更に40本増設できます。豊富なアドレッシング機能やビット処理 機能に加えて、メモリ間演算や10進演算の機能も持っており、プログラム開発の効率化に備えています。

仕様

M50760-XXXP

データ欠	L理方式	4ビット並列演算方式
内蔵メモリ	ROM	1,024語×8ビット
内版タモリ	RAM	48語×4ビット
	入出力	4ピット×2
入出力ポート	出力	5ビット
	センス入力	1ビット
基本命令其	行時間	10µS (400kHzクロック時)
消費電力		0.9mA(5VVcc時)
パッケージ		20ピンDILパッケージ

M5M80C49-XXXP

データタ	心理方式	8ビット並列演算方式
内蔵メモリ	ROM	2,048語×8ビット
内臓メモリ	RAM	128語×8ビット
入出力ポート	入出力	8ビット×3
人出力ホート	入力	2ピット(T ₀ , T ₁)
割り	込み	2レベル(外部、タイマ)
基本命令	実行時間	2.5μS (6MHzクロック時)
	動作時	50m W
消費電力	HALT時	15mW
スタンバイ時		50μW
パッケージ		40ピンDILパッケージ

M50740-XXXSP

データダ	几理方式	8ビット並列演算方式			
内蔵メモリ	ROM	3,072語×8ビット			
内戚メモリ	RAM	96語×8ビット			
入出力ポート	入出力	8ビット×4			
	拡張用	4ビット×1(M50790SP用)			
割り	込み	5レベル(外部2本、タイマ3本)			
基本命令	実行時間	2μS最小(4MHzクロック時)			
沙地震士	動作時	20mW (4MHzクロック時)			
消費電力スタンバイ時		20µW(保持電圧2V)			
パッケージ		52ピンシュリンクDILパッケージ			